



UNIVERSITAS INDONESIA



**RANCANG BANGUN LINEAR TAPERED SLOT ANTENA
DENGAN PENCATUAN MICROSTRIP LINE
UNTUK APLIKASI WRAN 802.22**

TESIS

Diajukan sebagai salah satu syarat untuk memperoleh gelar Magister Teknik

**SIGIT PRAMONO
NPM 0806424661**

**FAKULTAS TEKNIK
DEPARTEMEN TEKNIK ELEKTRO
PROGRAM PASCASARJANA BIDANG ILMU TEKNIK
DEPOK
MARET 2011**

HALAMAN PERNYATAAN ORISINALITAS

Tesis ini adalah karya saya sendiri, dan semua sumber baik yang dikutip maupun yang dirujuk telah saya nyatakan dengan benar.

Nama : Sigit Pramono
NPM : 0806424661

Tanda Tangan :
Tanggal : 09 - 01 - 2014

HALAMAN PENGESAHAN

Tesis ini diajukan oleh :
Nama : Sigit Pramono
NPM : 0806424661
Program Studi : Teknik Elektro
Judul Tesis : Rancang Bangun Linear Tapered Slot Antena
dengan Pencatuan Microstrip Line Untuk Aplikasi
WRAN 802.22

Telah berhasil dipertahankan di hadapan Dewan Penguji dan diterima sebagai bagian persyaratan yang diperlukan untuk mata kuliah Tesis pada Program Studi Teknik Elektro, Kekhususan Teknik Telekomunikasi Fakultas Teknik, Universitas Indonesia

DEWAN PENGUJI

Pembimbing : Prof. Dr. Ir. Eko Tjipto Rahardjo M.Sc (())

Penguji : Dr. Fitri Yuli Zulkifli, ST, M.Sc. (())

Penguji : Dr. Ir. Muhammad Asvial, M.Eng (())

Penguji : Ir. Gunawan Wibisono, M.Sc, Ph.D (())

Ditetapkan di : Depok
Tanggal : 31 Maret 2011

KATA PENGANTAR

Puji syukur saya panjatkan kehadirat Allah SWT, karena atas berkat dan rahmat-Nya, saya dapat menyelesaikan tesis ini. Penulisan tesis ini dilakukan dalam rangka memenuhi salah satu syarat untuk mencapai gelar Magister Teknik pada Program Studi Teknik Elektro, Kekhususan Teknik Telekomunikasi, Departemen Teknik Elektro, Fakultas Teknik Universitas Indonesia.

Saya menyadari bahwa, tanpa bantuan dan bimbingan dari berbagai pihak, dari masa perkuliahan sampai pada penyusunan tesis ini, sangatlah sulit bagi saya untuk menyelesaikan tesis ini. Oleh karena itu, saya mengucapkan terima kasih kepada:

1. Bapak Prof. Dr. Ir. Eko Tjipto Rahardjo, MSc, selaku dosen pembimbing yang telah menyediakan waktu, tenaga, dan pikiran untuk mengarahkan saya dalam penyusunan tesis ini;
2. Diana Istriku dan Raihan Buah Hatiku serta Orang tua yang menjadi semangat hidupku, yang telah memberikan bantuan dukungan material dan moral.
3. Teman-teman di AMRG, di Elektro yang telah menyemangati saya sehingga tesis ini dapat selesai..

Akhir kata, saya berharap Allah SWT berkenan membalaq segala kebaikan semua pihak yang telah membantu. Semoga tesis ini membawa manfaat bagi pengembangan ilmu.

Depok, Maret 2011

Penulis

HALAMAN PERNYATAAN PERSETUJUAN PUBLIKASI TUGAS AKHIR UNTUK KEPENTINGAN AKADEMIS

Sebagai sivitas akademik Universitas Indonesia, saya yang bertanda tangan di bawah ini :

Nama : Sigit Pramono
NPM : 0806424661
Program Studi : Teknik Elektro
Fakultas : Teknik
Jenis karya : Tesis

Demi pengembangan ilmu pengetahuan, menyetujui untuk memberikan kepada Universitas Indonesia **Hak Bebas Royalti Noneksklusif (Non-eksklusif Royalty-Free Right)** atas karya ilmiah saya yang berjudul:

RANCANG BANGUN LINEAR TAPERED SLOT ANTENA DENGAN PENCATUAN MICROSTRIP LINE UNTUK APLIKASI WRAN 802.22

Beserta perangkat yang ada (jika diperlukan). Dengan Hak Bebas Royalti Noneksklusif ini Universtas Indonesia berhak menyimpan, mengalihmedia/format-kan, mengelola dalam bentuk pangkalan data (database), merawat, dan memublikasikan tugas akhir saya selama tetap mencantumkan saya sebagai penulis/pencipta dan sebagai pemilik Hak Cipta.

Demikian pernyataan ini saya buat dengan sebenarnya.

Dibuat di : Depok
Pada Tanggal : 31 Maret 2011

Yang menyatakan



(Sigit Pramono)

ABSTRAK

Nama : Sigit Pramono
Program Studi : Teknik Elektro
Judul : Rancang Bangun Linear Tapered Slot Antena dengan
Pencatuan Microstrip Line Untuk Aplikasi WRAN 802.22

Pembimbing : Prof. Dr. Ir. Eko Tjipto Rahardjo M.Sc

Tesis ini membahas desain *Linear Tapered Slot Antena* dengan teknik pencatuan Saluran Mikrostrip (*Microstrip Feed Line*) untuk mendukung aplikasi IEEE 802.22 Wireless Regional Area Network (WRAN) pada *band* televisi UHF frekuensi 470 - 698 MHz. Antena ini terbuat dari substrat dielektrik FR4 *epoxy*.

WRAN IEEE 802.22. sebagai skema alternatif untuk akses broadband dengan memanfaatkan kanal TV VHF/UHF yang tidak digunakan, dengan tetap menjaga bahwa tidak ada interferensi yang merugikan terhadap operasional *incumbent* (siaran TV digital dan TV analog) dan perangkat berijin yang lainnya dengan daya rendah. WRAN memerlukan antena dengan *bandwidth* yang lebar (*wideband*) untuk sistem komunikasinya.

Antena mikrostrip memiliki beberapa keuntungan, akan tetapi jenis antena ini memiliki beberapa kelemahan, diantaranya *bandwidth* sempit. Salah satu teknik untuk melebarkan *bandwidth* yaitu menggunakan desain antena *Linear Tapered Slot Antena*.

Dari hasil pengukuran, nilai *impedance bandwidth* dari pengukuran antena adalah 204 MHz (492-696MHz) atau sebesar 34,63 % terhadap frekuensi kerja antena (594 MHz) pada $VSWR \leq 1,9$. Pola radiasi yang dihasilkan adalah *directional* dan polarisasinya linear. *Gain* yang dihasilkan antena mencapai maksimum pada frekuensi 662MHz sebesar 8,92 dBi.

Kata kunci : LTSA, WRAN, *Wideband*

ABSTRACT

Name : Sigit Pramono
Study Program : Teknik Elektro
Title : *Linear Tapered Slot Antenna With Microstrip Feed Line For CPE WRAN Application*
Supervisor : Prof. Dr. Ir. Eko Tjipto Rahardjo M.Sc

This thesis discusses the design of Linear tapered slot antenna with microstrip feed line technique to support the application of IEEE 802.22 Wireless Regional Area Network (WRAN) in the UHF TV frequency 470-698 MHz. This antenna is made of epoxy FR4 dielectric substrate.

IEEE 802.22 WRAN. as an alternative scheme for broadband access by using TV channel VHF / UHF is not used, while maintaining that no harmful interference to incumbent operations (broadcast digital TV and analog TV) and the other licensed devices with low power. WRAN require a wideband antenna for its communications system.

Microstrip antenna has several advantages, but this type of antenna has some disadvantages, such as narrow bandwidth. One technique to widen the bandwidth of the antenna design using Linear tapered slot antenna.

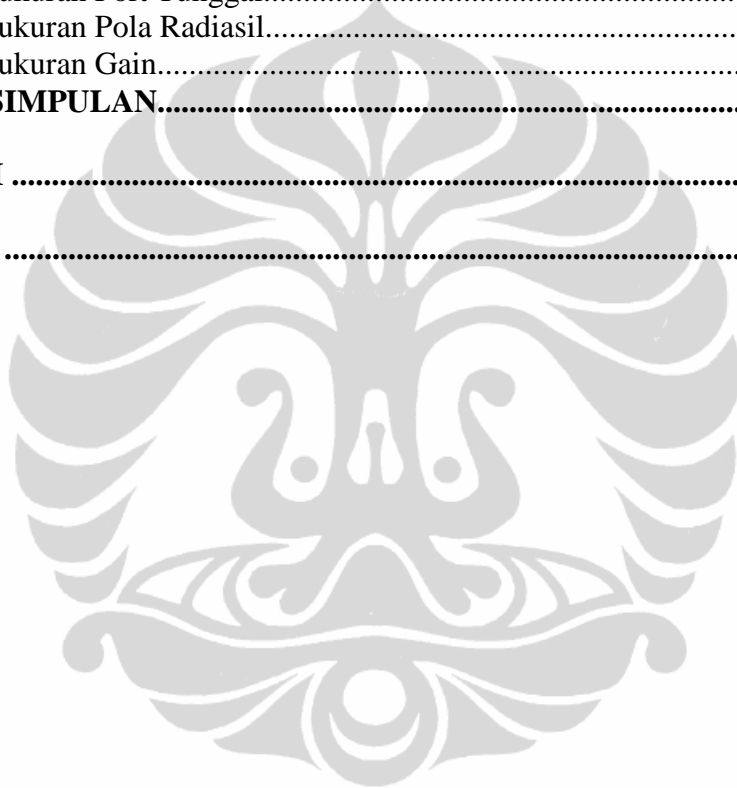
From the measurement results, the impedance bandwidth of the measurement antenna was 204 MHz (492-696MHz) or for 34.63% of the working frequency antenna (594 MHz) at $VSWR \leq 1.9$. The resulting radiation pattern is directional and linear polarization. The resulting antenna gain reaches a maximum at a frequency of 8.92 dBi 662MHz.

Keywords: LTSA, WRAN, Wideband

DAFTAR ISI

| | |
|----------------------------------------------------------------------------------------|---------------|
| HALAMAN JUDUL..... | i |
| HALAMAN PERNYATAAN ORISINALITAS..... | ii |
| HALAMAN PENGESAHAN | iii |
| KATA PENGANTAR | iv |
| PERNYATAAN PERSETUJUAN PUBLIKASI TUGAS AKHIR..... | v |
| ABSTRAK | vi |
| ABSTRACT..... | vii |
| DAFTAR ISI | viii |
| DAFTAR GAMBAR | x |
| DAFTAR TABEL..... | xi |
| BAB 1 PENDAHULUAN | 1 |
| 1.1 Latar Belakang | 1 |
| 1.2 Tujuan Penulisan | 3 |
| 1.3 Batasan Masalah | 3 |
| 1.4 Sistematika Penulisan | 4 |
| BAB 2 LINEAR TAPERED SLOT ANTENNA DENGAN PENCATUAN MICROSTRIP LINE..... | 5 |
| 2.1 Struktur Antena Mikrostrip..... | 5 |
| 2.2 Metode <i>Cavity</i> untuk Analisa Antena Mikrostrip..... | 6 |
| 2.3 Antena Mikrostrip <i>Slot</i> | 8 |
| 2.4 <i>Tapered Slot Antena</i> | 9 |
| 2.5 <i>Linier Trapered Slot Antena</i> | 12 |
| 2.6 Saluran Mikrostrip (<i>Microstrip Feedline</i>)..... | 13 |
| 2.7 Parameter Antena..... | 15 |
| 2.7.1 Impedansi Masukan..... | 15 |
| 2.7.2 <i>VSWR (Voltage Standing Wave Ratio)</i> | 16 |
| 2.7.3 <i>Return loss</i> | 16 |
| 2.7.4 <i>Bandwidth</i> | 17 |
| 2.7.5 Pola Radiasi..... | 18 |
| 2.7.6 Penguatan (<i>Gain</i>)..... | 19 |
| 2.7.7 Keterarahan (<i>Direktivitas</i>)..... | 20 |
| 2.7.8 <i>Polarisasi</i> | 20 |
| BAB 3 PERANCANGAN LTSA | 23 |
| 3.1 Pendahuluan..... | 23 |
| 3.2 Perlengkapan Yang Digunakan..... | 23 |
| 3.3 Diagram Alir Perancangan LTSA..... | 24 |
| 3.4 Menentukan Karakteristik Antena..... | 26 |
| 3.5 Menetukan Jenis Substrat Yang Dipergunakan..... | 26 |
| 3.6 Perancangan Dimensi <i>Slot</i> | 27 |
| 3.7 Perancangan Lebar Saluran Pencatu | 28 |
| 3.8 Desain Antena LTSA..... | 29 |

| | | |
|--------------------------------------------------|--------------------------------------------------------------|-----------|
| 3.9 | Karakterisasi Antena..... | 31 |
| 3.9.5 | Karakterisasi Lebar Feed..... | 31 |
| 3.9.4 | Karakterisasi Panjang Saluran Pencatuh..... | 32 |
| 3.9.3 | Karakterisasi Letak Saluran Pencatuh | 33 |
| 3.9.1 | Karakterisasi Panjang <i>Slot</i> | 34 |
| 3.9.2 | Karakterisasi Lebar <i>Slot</i> | 35 |
| 3.9.6 | Karakterisasi Lebar Sudut Buka (<i>Opening Angle</i>)..... | 36 |
| 3.10 | Hasil Perancangan LTSA..... | 37 |
| BAB 4 HASIL PENGUKURAN DAN ANALISIS HASIL | | |
| PENGUKURAN..... | | 40 |
| Pengukuran Port Tunggal..... | | 40 |
| Pengukuran Pola Radiasi..... | | 45 |
| Pengukuran Gain..... | | 48 |
| BAB 5 KESIMPULAN..... | | 51 |
| REFERENSI | | 52 |
| LAMPIRAN | | 54 |



DAFTAR GAMBAR

| | | |
|-------------|--------------------------------------------------------------------------------|----|
| Gambar 1.1 | Antena pada CPE..... | 1 |
| Gambar 2.1 | Bentuk Umum Antena Mikrostrip..... | 5 |
| Gambar 2.2 | Charge distribution dan current density pada patch mikrostrip. | 7 |
| Gambar 2.3 | Beberapa model <i>Tapered Slot Antena</i> | 10 |
| Gambar 2.4 | Model dasar LTSA | 12 |
| Gambar 2.6 | Geometri Saluran Mikrostrip..... | 14 |
| Gambar 2.7 | Rentang Frekuensi yang Menjadi <i>Bandwidth</i> | 17 |
| Gambar 2.8 | Pola Radiasi <i>Directional</i> | 19 |
| Gambar 2.9 | Polarisasi Linier | 21 |
| Gambar 2.10 | Polarisasi Melingkar | 22 |
| Gambar 2.11 | Polarisasi Elips | 22 |
| Gambar 3.1 | Diagram Alir Perancangan <i>Slot Antena</i> | 25 |
| Gambar 3.2 | Tampilan Program PCAAD Untuk Mencari Lebar Catu..... | 28 |
| Gambar 3.4 | Desain Antena LTSA | 29 |
| Gambar 3.5a | Grafik <i>Return Loss</i> pada Simulasi Awal | 30 |
| Gambar 3.5b | Grafik <i>Return Loss</i> pada Simulasi Awal | 30 |
| Gambar 3.6 | Grafik <i>Return Loss</i> pada Iterasi Lebar <i>Feed</i> | 31 |
| Gambar 3.7 | Grafik <i>Return Loss</i> pada Iterasi Panjang <i>Feed</i> | 32 |
| Gambar 3.8 | Grafik <i>Return Loss</i> pada Iterasi Letak <i>Feed</i> | 33 |
| Gambar 3.9 | Grafik <i>Return Loss</i> pada Iterasi Panjang <i>Slot</i> | 34 |
| Gambar 3.10 | Grafik <i>Return Loss</i> pada Iterasi Lebar <i>Slot</i> | 35 |
| Gambar 3.11 | Grafik <i>Return Loss</i> pada Iterasi <i>Opening Angle</i> | 36 |
| Gambar 3.12 | Grafik <i>Return Loss</i> pada Hasil Perancangan LTSA..... | 37 |
| Gambar 3.13 | Grafik VSWR pada Hasil Perancangan LTSA..... | 38 |
| Gambar 3.14 | Pola Radiasi Hasil Perancangan LTSA..... | 39 |
| Gambar 4.1 | Antena Hasil Fabrikasi..... | 40 |
| Gambar 4.2 | Grafik <i>Return Loss</i> Hasil Pengukuran Antena..... | 41 |
| Gambar 4.3 | Grafik VSWR Hasil Pengukuran Antena..... | 41 |
| Gambar 4.4 | Grafik Input impedansi masukan Hasil Pengukuran Antena..... | 42 |
| Gambar 4.5 | Grafik Perbandingan Return loss hasil simulasi dg hasil Pengukuran Antena..... | 43 |
| Gambar 4.6 | Grafik Perbandingan VSWR hasil simulasi dengan hasil Pengukuran Antena..... | 44 |
| Gambar 4.7 | Grafik Plot medan E dan Medan H | 45 |
| Gambar 4.7 | Grafik Pengukuran Karakteristik <i>Cross-Polarization</i> Antena.... | 47 |
| Gambar 4.8a | Grafik Perbandingan Medan Yang Diterima Pada Bidang E Dan Bidang H | 48 |
| Gambar 4.8a | Grafik Perbandingan Medan Yang Diterima Pada Bidang E Dan Bidang H | 48 |
| Gambar 4.9 | Metode Pengukuran gain antena | 49 |

DAFTAR TABEL

| | | |
|-----------|-------------------------------------------------------------------|----|
| Tabel 1.1 | Pembagian Sub Grup Kanal TV UHF..... | 2 |
| Tabel 2.1 | Perbandingan Antara Mikrostrip <i>Patch</i> dan <i>Slot</i> | 7 |
| Tabel 3.1 | Spesifikasi Substrat FR4_ <i>epoxy</i> | 27 |
| Tabel 3.2 | Dimensi Antena Hasil Rancangan Berdasarkan Teori..... | 29 |
| Tabel 3.3 | Dimensi Antena Hasil Akhir Simulasi LTSA..... | 37 |
| Tabel 3.4 | Hasil Simulasi Perancangan LTSA..... | 38 |
| Tabel 4.1 | Hasil Pengukuran | 44 |
| Tabel 4.2 | Perbandingan Hasil Pengukuran dan Simulasi..... | 45 |
| Tabel 4.3 | Perolehan <i>Gain</i> Antena dari Data Pengukuran | 50 |



BAB 1

PENDAHULUAN

1.1 Latar Belakang

Sebagai terobosan untuk mempercepat pemerataan akses internet sekarang ini banyak dikembangkan dengan jaringan tanpa kabel (*wireless*). Banyak standar yang sudah tersedia misal GPRS, 3G, Wifi, Wimax dan yang sejenisnya. Namun disisi lain frekuensi merupakan *resources* yang terbatas. Sehingga diperlukan terobosan yang cerdas dalam menangani penggunaan *resources* frekuensi dengan tetap memperhatikan regulasi tentang frekuensi baik regulasi internasional maupun regulasi nasional.

Sesuai dengan *Notice of Proposed Rule Making* (NPRM) yang dikeluarkan May 2004 [1], dan terakhir November 2008[2], FCC mengindikasikan bahwa saluran 5-13 TV VHF dan kanal 14-51 TV UHF bisa digunakan untuk sistem akses *fixed-broadband*. Sistem komunikasi radio cerdas mulai November 2004 yang sedang dikembangkan oleh *Working Group IEEE 802* yaitu sistem yang berbasis *Cognitive Radio*. Sedangkan standar yang dikembangkan yaitu standar *IEEE 802.22 Wireless Regional Area Network*. WRAN memanfaatkan kanal yang kosong (*white space*) pada pita siaran televisi VHF dan UHF dengan tetap menjaga bahwa tidak ada interferensi yang merugikan terhadap operasi *incumbent* yaitu siaran TV digital dan TV analog maupun perangkat berijin yang lainnya dengan daya rendah [3].

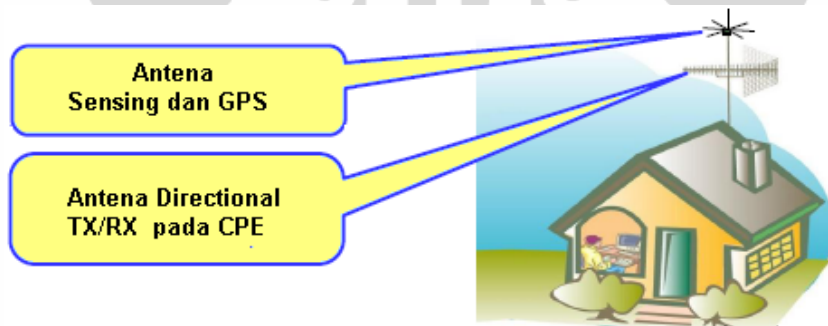
Standar WRAN IEEE 802.22 menyediakan akses *wireless broadband* untuk daerah *rural* dengan radius 17-30 km, radius maksimum 100 km dari BS dan mampu melayani 255 *fixed CPE*. Minimal *peak throughput* yang dilewatkan ke CPE pada arah *downstream* (DS) atau dari BS ke CPE sebesar 1,5 Mbps dan arah *upstream* (US) atau dari CPE ke BS sebesar 384 kbps[3].

WRAN beroperasi pada pita VHF dan UHF, dengan frekuensi kerja [4] VHF *low* 54-60 MHz dan 76-88Mhz , VHF *high* 174-216, UHF 470-608 MHz dan 614-698 MHz. Sedangkan untuk UHF dibagi dalam 5 sub grup kanal seperti pada tabel 1.1. [5].

Tabel 1.1 Pembagian Sub Grup Kanal TV UHF [5]

| Sub Grup | Kanal TV | Frekuensi | BW |
|----------|----------|---------------|--------|
| 1 | 14–20 | 470 – 512 Mhz | 42 Mhz |
| 2 | 21–28 | 512 – 560 Mhz | 48 Mhz |
| 3 | 29–36 | 560 – 608 Mhz | 48 Mhz |
| 4 | 38–44 | 614 – 656 Mhz | 42 Mhz |
| 5 | 45–51 | 656 – 698 Mhz | 42 Mhz |

CPE WRAN memerlukan tiga jenis antena[4] yaitu antena Sensing, antena GPS dan antena TX/RX. Antena sensing merupakan antena *omni directional* dengan polarisasi horizontal dan vertikal yang dipergunakan untuk menangkap sinyal TV dan mikrofon secara terus menerus. Antena GPS dipergunakan untuk menangkap sinyal posisi dari satelit untuk data *geo location* dari CPE. Antena TX/RX untuk komunikasi data menggunakan antena *directional* dan diletakkan sekitar 10 m diatas permukaan tanah, sebagai ilustrasi seperti pada gambar 1.1. berdasarkan hal tersebut, CPE WRAN memerlukan antena TX/RX *bandwidth* yang lebar dengan jenis *directional*.



Gambar 1.1 Antena pada CPE [4]

Antena mikrostrip memiliki beberapa keuntungan, yaitu : bentuk kompak, dimensi kecil, mudah untuk difabrikasi, mudah dikoneksikan dan dapat diintegrasikan dengan *devices* elektronik lain (IC, rangkaian aktif, rangkaian pasif, dan lain-lain) atau *Microwave Integrated Circuits (MICs)*, dan radiasi samping (*fringing effect*) yang rendah. Akan tetapi jenis antena ini memiliki beberapa kelemahan, diantaranya : *gain* rendah, efisiensi rendah, timbul gelombang permukaan, dan *bandwidth* rendah [6].

Salah satu teknik untuk melebarkan *bandwidth* yaitu dengan menggunakan desain antena *tapered*. Antena *tapered* pertama kali diteliti oleh Prasad dan

Mahatma, dan Gibson Prasad dan Mahatma meneliti *Linear* TSA sedangkan Gibson *Exponentially* TSA. [8]. Penelitian – penelitian tentang antena TSA banyak diaplikasikan pada *milimeter wave*. Penelitian [7] bekerja pada frekuensi 27 GHz sampai 35 Ghz dengan panjang slot $\approx 7,6 \lambda$ lebar slot $\approx 5\lambda$. Kemudian penelitian [8] bekerja pada frekuensi 10 Ghz dengan panjang slot $\approx 5\lambda$ lebar slot $\approx 1,5\lambda$. Penelitian [9] bekerja pada *single band* di frekuensi 10 GHz , 35 GHz, dan 95GHz panjang slot $\approx \lambda$ lebar slot $\approx 2\lambda$. Sedangkan Antena TSA untuk frekuensi dalam *ordo* Mhz jarang sekali. Oleh karena itu penelitian ini akan membahas antena LTSA dengan panjang dan lebar slot dengan pedekatan $0,5 \lambda$ yang bekerja pada 470 Mhz sampai 698 Mhz.

Pada Tesis ini, akan mendesain sebuah antena mikrostrip jenis *Linear Tapered Slot Antena* dengan teknik pencatuan Saluran Mikrostrip (*Microstrip Feed Line*) untuk mendukung aplikasi IEEE 802.22 *Wireless Regional Area Network* (WRAN) *band* UHF yang bekerja pada frekuensi 470 - 698 MHz.

1.2 Tujuan Penulisan

Tujuan penulisan Tesis ini adalah untuk merancang sebuah antena mikrostrip jenis *Linear Tapered Slot Antena* dengan teknik pencatuan secara tidak langsung yaitu menggunakan Saluran Mikrostrip (*Microstrip Feed Line*) untuk mendukung aplikasi IEEE 802.22 *Wireless Regional Area Network* (WRAN) *band* UHF yang bekerja pada frekuensi 470 - 698 MHz.

1.3 Batasan Masalah

Pada Tesis ini permasalahan akan dibatasi pada rancang bangun antena mikrostrip jenis *Linear Tapered Slot Antena* dengan teknik pencatuan secara tidak langsung yaitu menggunakan Saluran Mikrostrip (*Microstrip Feed Line*) yang diharapkan dapat bekerja pada WRAN *band* UHF yaitu frekuensi 470 - 698 MHz. Parameter yang diteliti dibatasi pada perolehan *impedance* masukan sebesar 50Ω , mempunyai $VSWR \leq 1,9$ atau mempunyai return loss $\leq -10,16$ dB, XPD (*Cross Polarization Discrimination*) 20 dB.. Antena terbuat dengan substrat dielektrik yang digunakan adalah FR4 (*evoxy*) yang memiliki konstanta dielektrik (ϵ_r) = 4,4 dan ketebalan substrat (h) = 1,6 mm.

1.4 Sistematika Penulisan

Sistematika penulisan pada buku Tesis ini adalah

Bab 1 Pendahuluan

Pada bagian ini berisi tentang Latar belakang, tujuan penulisan, batasan masalah, dan sistematika penulisan.

Bab 2 *Linear Tapered Slot Antenna dengan Pencatuan Microstrip Line*

Bagian ini membahas teori dasar yang akan dipergunakan pada penelitian ini, yaitu mengenai antena mikrostip, LTSA, teknik pencatuan, dan parameter-parameter umum antena.

Bab 3 Perancangan *Linear Tapered Slot Antenna dengan Pencatuan Microstrip Line*

Pada bagian ini membahas mengenai perlengkapan yang dibutuhkan dalam perancangan ini, substrat yang dipergunakan, diagram alir proses pembuatan antena yang akan dirancang, penentuan dimensi antena , karakterisasi antena dan hasil simulasi yang didapatkan dengan menggunakan *software Ansoft HFSS 11*.

Bab 4 Pengukuran dan Analisis Pengukuran

Pada bagian ini membahas pengukuran dan analisa port tunggal (S_{11}) yang meliputi pengukuran *return loss*, VSWR, dan impedansi masukan, port ganda yang meliputi pengukuran pola radiasi, serta pengukuran *gain* dengan metoda 3 antena dan salah satu antena telah diketahui penguatannya

Bab 5 Penutup

Bab ini berisi kesimpulan dari hasil penelitian yang telah dilakukan

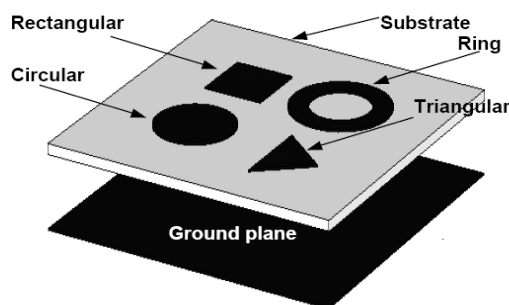
BAB 2

LINIER TAPERED SLOT ANTENA DENGAN PENCATUAN MICROSTRIP LINE

2.1 Struktur Antena Mikrostrip

Antena merupakan komponen yang penting dalam sistem komunikasi *wireless*. Struktur antena di desain untuk meradiasikan dan menerima gelombang elektromagnetik secara efektif. Berdasarkan definisi standar dari IEEE, antena merupakan alat yang digunakan untuk meradiasi dan menerima gelombang radio (elektromagnetik). Dengan kata lain antena merupakan struktur transisi antara ruang bebas (*free space*) dan sebuah alat pengarah yang mengkonversi gelombang elektromagnetik menjadi arus listrik maupun sebaliknya [10].

Antena mikrostrip merupakan salah satu jenis antena yang mempunyai kelebihan dalam hal bentuk yang sederhana, ringan dan dapat dibuat sesuai dengan kebutuhan. Penggunaan antena mikrostrip sangat cocok digunakan untuk aplikasi-aplikasi yang membutuhkan antena yang *compact* seperti yang telah diaplikasikan pada pesawat terbang, pesawat ruang angkasa, satelit, dan peluru kendali. Secara umum antena mikrostrip terdiri dari 3 elemen, yaitu : element peradiasi (*radiator*), susbstrat, dan element pentahanan (*ground*) seperti pada gambar 2.1 [10].



Gambar 2.1 Bentuk Umum Antena Mikrostrip Beserta Variasi Elemen Peradiasinya

Antena mikrostrip ini memiliki beberapa keuntungan dibandingkan dengan antena lainnya yaitu [6] :

1. *Low profile*, mempunyai ukuran yang kecil dan ringan.
2. Mudah difabrikasi.
3. Dapat berdiri dengan kuat ketika diletakkan pada benda yang *rigid*.
4. Polarisasi linier dan sirkular mudah didapat dengan *feeding* yang sederhana.

5. Dapat digunakan untuk aplikasi *dual polarisasi* , *dual band frekuensi*, maupun *triple band frekuensi*.
6. *Feed line* dan *matching network* dapat difabrikasi langsung dengan struktur antena.

Akan tetapi selain kelebihan-kelebihan yang telah disebutkan diatas, antena mikrostrip juga memiliki beberapa kekurangan-kekurangan , diantaranya [6] :

1. Mempunyai efisiensi yang rendah.
2. Mempunyai gain yang rendah.
3. Mempunyai kemurnian polarisasi yang rendah.
4. *Bandwidth* sempit.
5. Dapat terjadi radiasi yang tidak diinginkan pada *feed line* -nya.
6. Timbulnya *surface wave* (gelombang permukaan).

2.2 Metode *Cavity* untuk Analisa Antena Mikrostrip

Ada beberapa macam metode yang dapat digunakan untuk menganalisa antena mikrostrip. Beberapa diantaranya yaitu Model Saluran Transmisi, Model *Cavity*, Model Momen dan Persamaan Integral, serta Model Persamaan Diferensial[6]. Masing-masing metode tersebut memiliki kelebihan dan kekurangan.

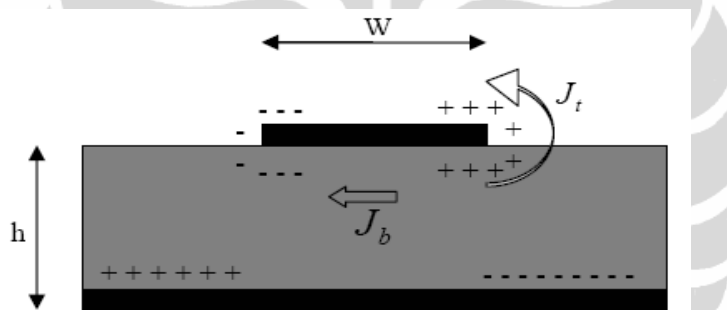
Pada Model Saluran Transmisi, gambaran secara fisik terlihat bagus dan tidak membutuhkan perhitungan yang rumit, hanya saja hasil perhitungannya tidak akurat sebagai bentuk representasi dari antena mikrostrip. Selain itu metode ini hanya cocok digunakan untuk jenis *patch* berbentuk segi empat (*rectangular*)[6]. Sedangkan pada Model *Cavity*, perhitungannya lebih rumit dibandingkan dengan Model Saluran Transmisi[6], akan tetapi hasil yang didapatkan lebih akurat dan gambaran secara fisik terlihat lebih baik.

Lain halnya dengan Model Momen dan Persamaan Integral, yang memiliki gambaran fisik yang tidak terlalu baik serta perhitungan yang rumit, akan tetapi hasilnya menunjukkan tingkat keakuratan yang cukup tinggi[6]. Metode yang lebih dikenal pada Model Persamaan Diferensial yaitu FDTD dan FEM. Jenis metode ini menuntut kepada perhitungan yang rumit, akan tetapi lebih baik daripada metode yang lain karena hasilnya sudah dalam bentuk representasi lingkungan luar yang sebenarnya[6].

Analisa yang digunakan pada seminar ini menggunakan metode *Cavity*. Metode ini merepresentasikan ruang antara *patch* dengan bidang pentahanan sebagai

cavity yang dibatasi oleh *electric conductors* (pada bidang atas dan bawah) dan dinding magnetik (pada sisi-sisinya)[6].

Ketika *patch* mikrostrip diberi energi gelombang elektromagnetik, akan timbul distribusi muatan pada bagian permukaan atas dan bawah *patch*, serta bagian permukaan atas bidang pentanahan. Distribusi muatannya dikendalikan oleh dua mekanisme, yaitu *attractive* dan *repulsive*[6]. Mekanisme *attractive* mengendalikan distribusi muatan pada bagian diantara *patch* dengan bidang pentanahan, atau dengan kata lain mengatur konsentrasi distribusi muatan di bagian bawah *patch*. Sedangkan Mekanisme *repulsive* mengendalikan distribusi muatan dibagian bawah *patch*, yang memberikan aksi untuk menekan sebagian muatan dari bagian bawah *patch* menuju ke sekeliling pinggiran *patch* dan terakhir sampai pada bagian atas *patch* peradiasi. Proses berpindah-pindahnya muatan ini menimbulkan kerapatan arus (*current densities*) dibagian atas (J_t) dan bawah (J_b) *patch*, seperti pada Gambar 2.2.



Gambar 2.2 *Charge distribution* dan *current density* pada *patch* mikrostrip

Seiring dengan semakin kecilnya nilai *height-to-weight ratio*(h/W), maka mekanisme *attractive* menjadi yang dominan, sehingga mengakibatkan jumlah arus yang mengalir dari bawah *patch* lalu ke pinggir dan berakhir pada bagian atas *patch* semakin berkurang[6]. Jika arus tersebut semakin berkurang dan bernilai nol, maka tidak akan timbul medan magnet tangensial pada sisi-sisi *patch*, sehingga tidak akan ada gelombang elektromagnetik yang diradiasikan, atau dengan kata lain sisi-sisi *patch* menjadi dinding magnetik sempurna. Kejadian ini tidak diharapkan, karenanya sekecil apapun *height-to-weight ratio*, dengan metode *Cavity* diharapkan masih ada arus yang mengalir ke permukaan atas *patch*. Ketika timbul arus ini, maka pada bagian sisi *patch* akan timbul medan tambahan yang dapat dianalisa sebagai perluasan *patch* peradiasi[6].

Metode *Cavity* timbul dengan kenyataan yang ada bahwa ketebalan dari substrat jauh lebih kecil jika dibandingkan dengan panjang gelombang ($h \ll \lambda$). Dari asumsi tersebut, maka dapat ditinjau sebagai berikut [11]:

1. Medan elektrik \mathbf{E} hanya memiliki komponen \hat{z} dan medan magnetik hanya memiliki komponen melintang dalam daerah yang dibatasi antara *patch* peradiasi dengan bidang pentanahan
2. Medan pada ruang *cavity* tidak berubah terhadap \hat{z}
3. Karena arus elektrik dalam mikrostrip tidak boleh memiliki komponen normal terhadap tepi, berdasarkan persamaan Maxwell maka komponen tangensial dari \mathbf{H} sepanjang tepi dapat diabaikan.

Dengan adanya tinjauan seperti diatas, maka Persamaan *Maxwell*[12] untuk daerah diantara *patch* peradiasi dengan bidang pentanahan yaitu:

$$\nabla \times \bar{\mathbf{E}} = -j\omega\mu_0 \bar{\mathbf{H}} \quad (2.1)$$

$$\nabla \times \bar{\mathbf{H}} = -j\omega\epsilon \bar{\mathbf{E}} + \bar{\mathbf{J}} \quad (2.2)$$

$$\nabla \cdot \bar{\mathbf{E}} = \zeta/\epsilon \quad (2.3)$$

$$\nabla \cdot \bar{\mathbf{H}} = 0 \quad (2.4)$$

Dimana ϵ adalah permitivitas substrat, sedangkan μ_0 adalah permeabilitas substrat yang besarnya diasumsikan sama dengan permeabilitas udara. Rapat arus J tergantung dari sistem pencatuan yang biasanya berupa *coaxial* atau saluran mikrostrip (*microstrip line*).

2.3 Antena Mikrosrip *Slot*

Antena mikrostrip *slot* merupakan pengembangan dari konsep antena *patch* yang dieksitasi oleh saluran *stripline* dengan melapaskan bagian *patch* dan saluran catu akan meradiasikan langsung ke bidang pentanahan melalui *slot*. Perbandingan antara antena mikrostrip *slot* dan antena mikrostrip *patch* seperti pada tabel 2.1.

Tabel 2.1 Perbandingan Antara Mikrostrip *Patch* dan *Slot* [6]

| No | Karakteristik | Antena <i>patch</i> | Antena <i>Slot</i> |
|----|--------------------------|---------------------|------------------------|
| 1 | Analisa dan design | Mudah | Mudah |
| 2 | Fabrikasi | Sangat Mudah | Sangat Mudah |
| 3 | Toleransi pada fabrikasi | Sensitif | Tidak terlalu sensitif |
| 4 | Bentuk | Tipis | Tipis |
| 5 | Fleksibel dalam bentuk | Banyak bentuk | Terbatas |

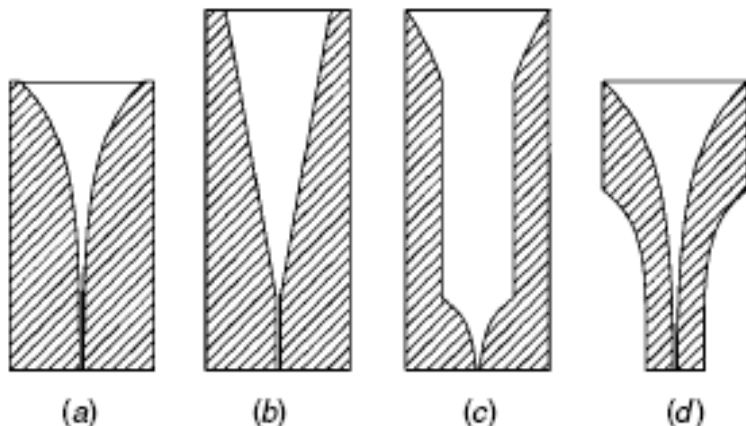
| | | | |
|----|----------------------------------|------------------------|-----------------------------------------|
| 6 | Pola radiasi | <i>Unidirectional</i> | <i>Unidirectional dan bidirectional</i> |
| 7 | Polarisasi | Melingkar dan linier | Melingkar dan linier |
| 8 | Bandwidth | Sempit | Lebar |
| 9 | Dual Frekuensi | Dapat | Dapat |
| 10 | Radiasi Spurious | Sedang | Kecil |
| 11 | Isolasi antara radiating element | Sedang | Baik |
| 12 | Penentuan Frekuensi kerja | Sangat mudah dilakukan | Bisa walau sulit |
| 13 | <i>Cross Polarisasi</i> | Rendah | Sangat Rendah |
| 14 | <i>End Fire Antena</i> | Tidak memungkinkan | Mungkin |

Kelebihan utama yang dimiliki antena mikrostrip *slot* adalah *bandwidth* yang dihasilkan lebih lebar. Antena mikrostrip *slot* juga memungkinkan kinerja antena pada polarisasi melingkar. Kekurangan dari jenis antena ini yaitu kemungkinan polarisasi terjadi pada dua arah (*bidirectional*). Akan tetapi kekurangan ini bisa ditanggulangi dengan penggunaan *metal reflector* yang ditaruh di salah satu sisi *slot*. Selain itu, penelitian pada antena *slot* masih lebih sedikit dibandingkan dengan antena jenis patch, sehingga literatur yang mendukung penelitian antena *slot* cukup sulit. Penentuan dari ukuran *slot* hingga saat ini juga sulit untuk dipresiksi, tetapi persyaratan yang dapat digunakan adalah panjang *slot* sekurangnya harus lebih besar dari pada lebar saluran catu yang digunakan [13].

2.4 Tapered Slot Antena

Model *Tapered Slot Antena* (TSA) pertama kali ditemukan dan diteliti oleh Gibson pada tahun 1970 [7]. Bentuk tipikal dari antena TSA terdiri atas sebuah *slot* berbentuk *tapered* yang *di-etching* pada bagian metal substrat dielektrik. Antena TSA merupakan radiator *end-fire*, yang tidak seperti antena lainnya yang hanya meradiasikan ke bagian substrat yang dicetak [14].

Antena TSA memiliki beberapa model dengan variasi pada model *slot* yang berbentuk *tapered* [13]. Diantaranya adala *Linear* TSA, *Exponentially* TSA, dan *Constant Width* TSA Beberapa model dari antena TSA tersebut ditunjukkan pada Gambar 2.3 di bawah ini.



Gambar 2.3 Beberapa model *Tapered Slot Antenna* : (a) *exponentially tapered slot antenna*, (b) *linear tapered slot antenna*; (c) *constant-width slot antenna*; (d) *dual exponentially tapered slot antenna* [14]

Antena *Exponentially Tapered Slot* (ETSA)[14] yang biasa juga disebut antena Vivaldi dengan bentuk *slot tapered* yang berubah secara eksponensial terhadap panjang antena , meradiasikan *beamwidth* yang hampir sama besar untuk bidang E dan H, perubahan hanya sedikit terjadi untuk peningkatan frekuensi. *Matching* impedansi antena ini bagus dan antena meradiasi ketika ketebalan *slot* mencapai $\geq \lambda/2$. Frekuensi kerja terendah ETSA panjangnya sebesar $0,72\lambda$ untuk antena yang menggunakan substrat alumina. Antena meradiasikan pola dengan *beamwidth* 180° pada bidang H dan 70° pada bidang E untuk *aperture* $\lambda/2$. Untuk lebar *aperture* λ , antena memancarkan *beamwidth* 60° pada bidang E dan 70° pada bidang H. Kedua *beamwidth* pada dasarnya sama untuk 1.5λ dan *aperture* yang lebih besar.

Antena *Linear Tapered Slot* (LTSA) dengan bentuk *slot tapered* yang berubah secara linier terhadap panjang antena , meradiasikan pola radiasi dengan *gain* yang lebih tinggi daripada *Exponentially TSA* karena antena tersebut bergantung pada panjang antena untuk membuat *beamwidth* yang lebih sempit [7].

Antena *Continuous Width Slot* (CWSA) dengan bentuk *slot tapered* yang berubah pada sebagian awal panjang antena dan kemudian memiliki lebar yang konstan (tdak berubah). CWSA hampir menyerupai antena dielektrik *rod*, dan mempunyai *beamwidth* yang paling sempit dan *gain* yang paling besar jika dibandingkan dengan tipe antena TSA lainnya.

Beberapa keuntungan antena TSA dibandingkan dengan antena konvensional lainnya adalah [7] :

- 1 *Beamwidth* yang sempit (sekitar 15^0 untuk -3dB dan 30^0 untuk -10dB) dan menghasilkan *gain* yang lebih besar (hingga 16 dB) untuk elemen yang lebih panjang.
- 2 Mudah dalam mengintegrasikan elemen antena dengan saluran pencatu
- 3 *Bandwidth* yang lebih lebar dari antena *broadband* lainnya (kecuali jenis log-periodik dan spiral) dalam beberapa kasus lebih dari dua oktaf.

Antena TSA termasuk dalam kelas antena *travelling-wave* (TWA) dari gelombang permukaan (surface wave). TWA didefinisikan sebagai antena dengan medan dan arusnya menghasilkan pola radiasi antena yang dapat direpresentasikan dengan satu atau lebih gelombang berjalan, biasanya dengan arah yang sama. Pada antena *travelling-wave*, panjang struktur antena sangat mempengaruhi gain dan *bandwidth* yang diperoleh antena. Ada dua tipe utama antena *travelling-wave*, yaitu antena *surface-wave* dan antena *leaky-wave* [6].

Antena *leaky-wave* menggunakan gelombang berjalan yang merambat sepanjang struktur antena dengan kecepatan fasa $v_{ph} > c$, dimana c adalah kecepatan rambat cahaya di ruang hampa udara[8]. *Leaky wave* secara kontinu melepaskan energi untuk radiasi. Umumnya medan akan berkurang sepanjang struktur antena pada arah yang sama dengan propagasi gelombang dan bertambah pada arah yang menjauh dari struktur antena

Antena *surface-wave* juga menggunakan gelombang berjalan yang merambat sepanjang antena, namun dengan kecepatan fasa $v_{ph} \leq c$, dan dapat menghasilkan radiasi *end-fire*[8]. Satu hal yang membedakan *surface wave* dengan *leaky wave* adalah pada *surface wave* tidak ada radiasi energi secara kontinu sepanjang struktur antena, namun radiasi hanya akan terjadi ketika adanya disontinuitas atau ketidakseragaman (*non-uniform*) pada struktur antena. Radiasi yang terjadi adalah perubahan energi dari medan *surface wave* ke bentuk energi lainnya.

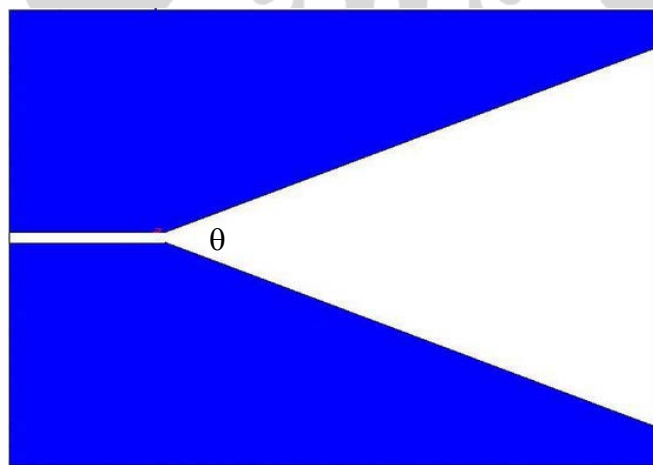
Ada tiga properti dasar yang dimiliki oleh antena TSA yang harus dipelajari, yaitu *beamwidth*, *directivity*, dan *gain* [6]. *Directivity* antena TSA meningkat dan *beamwidth* menurun dengan peningkatan panjang antena (L). Untuk antena *travelling-wave* dengan kecepatan fasa yang konstan sepanjang struktur antena (L), terdapat rasio

kecepatan fasa optimum yaitu $p = \frac{c}{v_{ph}}$ yang menghasilkan *directivity* maksimum dan *gain* yang lebih tinggi. Kasus ini disebut dengan *Zucker's high gain*.

Pada tipe antena TSA dengan tipe *slot* yang tidak kontinu, seperti pada *linear TSA* dan antena Vivaldi, kecepatan fasa tidak konstan sehubungan dengan bentuk *slot* yang *tapered*. Variasi kecepatan fasa terhadap jarak sepanjang antena menyebabkan pengurangan *directivity* dan juga mengurangi *level sidelobe*. Kasus ini disebut dengan *Zucker's low sidelobe*.

2.5 Linier Tapered Slot Antena

Model antena yang akan diteliti pada penelitian ini adalah *Linear Tapered Slot Antena* (LTSA). Selain dapat menghasilkan *bandwidth* yang lebar, antena LTSA juga mempunyai *gain* yang lebih besar bila dibandingkan dengan model antena TSA lainnya [7]. Model dasar antena LTSA sangat sederhana seperti ditunjukkan pada Gambar 2.4 berikut ini.



Gambar 2.4 Model dasar LTSA

Antena LTSA merupakan salah satu yang menggunakan *surface wave* dimana $p > 1$. Pada daerah *slotline*, *gap* yang kecil akan menyalurkan daya ke saluran transmisi, dan ketika saluran transmisi melebar maka akan meradiasi. Untuk *slowing wave*, digunakan *slotline* dengan *gap* yang sempit untuk menyalurkan gelombang. Karena antena LTSA dibuat pada substrat dielektrik, maka gelombang dilambatkan pada *slotline* dan ketika *slot* dibuka akan meningkatkan radiasi.

Keunggulan antena LTSA adalah kemampuannya untuk menghasilkan *beam* yang simetris (pada bidang E dan H) meskipun bentuknya planar. Untuk mendapatkan karakteristik antena LTSA yang optimum, parameter antena LTSA seperti bentuk *slot*, *opening angle*, panjang antena, ketebalan antena, ketebalan substrat dielektrik, dan konstanta dielektrik harus dipilih dengan tepat [9]. *Opening Angle* (θ) pada LTSA ini biasanya berkisar dari 5° sampai 12° .

Substrat dielektrik yang digunakan berguna untuk melambatkan gelombang pada *slot* dan meningkatkan gain antena. Ketebalan efektif substrat yang akan digunakan dapat dihitung dengan menggunakan persamaan [7][8] :

$$\frac{t_{\text{eff}}}{\lambda} = \left(\sqrt{\epsilon_r} - 1 \right) \frac{t}{\lambda} \quad (2.5)$$

Dengan : t_{eff} = ketebalan efektif substrat

λ = panjang gelombang

ϵ_r = Permitivitas substrat

t = Ketebalan substrat

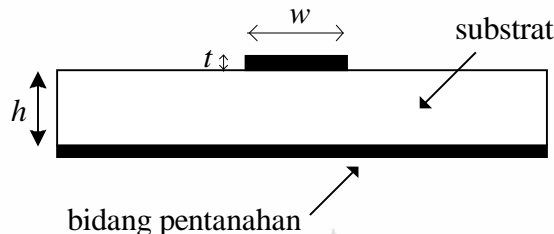
Nilai optimim untuk t_{eff}/λ berkisar antara 0.005 dan 0.03. Substrat yang terlalu tipis tidak cukup melambatkan propagasi gelombang permukaan, dan substrat yang terlalu tebal juga akan terlalu melambatkan propagasi gelombang permukaan.

Polarisasi yang dihasilkan antena LTSA adalah linear dan sepanjang lebar antena. Polarisasi dapat didefinisikan sebagai bentuk dan tempat kedudukan dari ujung vektor medan listrik E (pada bidang yang tegak lurus dengan arah propagasi) pada suatu titik dalam ruang sebagai fungsi waktu. Gelombang elektromagnetik terdiri dari medan listrik dan medan magnet yang saling tegak lurus dan keduanya tegak lurus dengan arah propagasi gelombang.

2.6 Saluran Mikrostrip (*Microstrip Feed Line*)

Pemilihan saluran pencatu dengan saluran mikrostrip adalah karena kemudahan dalam hal fabrikasi dan penentuan *matching* dari saluran mikrostrip dapat dengan mudah dilakukan. Untuk me-*matching*-kan antena, hal yang perlu dilakukan cukup dengan mengubah-ubah panjang dari elemen pencatu atau dengan memberikan stub dan mengubah-ubah posisinya.

Geometri saluran pencatu mikrostrip ditunjukkan pada Gambar 2.5. Pada *microstrip feed slot* antena, terdapat saluran catu yang akan meradiasikan gelombang elektromagnetik ke bidang pentanahan yang telah diberi *slot*.



Gambar 2.5 Geometri Saluran Mikrostrip

2.6.1 Perhitungan Lebar Saluran Mikrostrip (*Microstrip Line*)

Lebar saluran mikrostrip (W) tergantung dari impedansi karakteristik (Z_0) yang diinginkan. Adapun rumus untuk menghitung lebar saluran mikrostrip diberikan oleh Persamaan 2.11 di bawah ini[16].

$$W = \frac{2h}{\pi} \left\{ B - 1 - \ln(2B - 1) + \frac{\varepsilon_r - 1}{2\varepsilon_r} \left[\ln(B - 1) + 0,39 - \frac{0,61}{\varepsilon_r} \right] \right\} \quad (2.6)$$

Dengan ε_r adalah konstanta dielektrik relatif dan :

$$A = \frac{Z_0}{60} \left\{ \frac{\varepsilon_r + 1}{2} \right\}^{1/2} + \frac{\varepsilon_r - 1}{\varepsilon_r + 1} \left\{ 0,23 + \frac{0,11}{\varepsilon_r} \right\} \quad (2.7)$$

$$B = \frac{60\pi^2}{Z_0 \sqrt{\varepsilon_r}} \quad (2.8)$$

2.6.2 Karakteristik Saluran Mikrostrip (*Microstrip Line*) untuk $W/h < 1$

Konstanta dielektrik efektif (ε_{eff})

$$\varepsilon_{eff} = \frac{\varepsilon_r + 1}{2} + \frac{\varepsilon_r - 1}{2} \left[\frac{1}{\sqrt{1+12h/W}} + 0,04 \left(1 - \frac{W}{h} \right)^2 \right] \quad (2.9)$$

Dan karakteristik impedansi

$$Z_0 = \frac{60}{\sqrt{\varepsilon_{eff}}} \ln \left(\frac{8h}{W} + \frac{W}{4h} \right) \quad (2.10)$$

2.6.3 Karakteristik Saluran Mikrostrip (*Microstrip Line*) untuk $W/h > 1$

Konstanta dielektrik efektif (ϵ_{eff})

$$\epsilon_{eff} = \frac{\epsilon_r + 1}{2} + \frac{\epsilon_r - 1}{2} \left[\frac{1}{\sqrt{1+12h/W}} \right] \quad (2.11)$$

dan karakteristik impedansi

$$Z_0 = \frac{120\pi / \sqrt{\epsilon_{eff}}}{W/h + 1,393 + 2/3 \ln(W/h + 1,44)} \quad (2.12)$$

Dengan memasukkan ketebalan substrat dan lebar saluran catu antena yang dirancang maka akan dapat diketahui impedansi masukan pada saluran transmisi. Kedua parameter ini merupakan faktor utama dalam penentuan *matching* dari saluran transmisi ke saluran catu antena.

2.7 Parameter Antena

Antena mempunyai banyak parameter. Pada bagian ini hanya akan dibahas mengenai impedansi masukan, VSWR, *return loss*, *bandwidth*, pola radiasi, penguatan, keterarahan dan polarisasi.

2.7.1 Impedansi masukan

Impedansi masukan didefinisikan sebagai impedansi sebuah antena pada terminal masukan, sebagai perbandingan antara besarnya tegangan terhadap arusnya. Impedansi dari sebuah antena dirumuskan:

$$Z_A = R_A + jX_A \quad (2.13)$$

dengan Z_A adalah impedansi antena, R_A adalah resistansi antena dan X_A reaktansi antena. Bagian resistansi masukan terbagi lagi menjadi dua, yaitu resistansi radiasi (R_r) dan *loss resistance* (R_L).

$$R_A = R_r + R_L \quad (2.14)$$

Resistansi radiasi adalah resistansi yang digunakan dalam meradiasikan gelombang elektromagnetik sedangkan *loss resistance* adalah resistansi yang menyebabkan berkurangnya *power* gelombang teradiasi akibat adanya panas. Desain antena yang baik memiliki nilai resistansi radiasi yang tinggi dan sebaliknya memiliki *loss resistance* yang rendah. Sedangkan kondisi *matching* terjadi ketika besar

impedansi *input* antena sama dengan besar impedansi karakteristik saluran transmisi. Dalam tesis ini digunakan impedansi input sebesar 50Ω .

2.7.2 VSWR

VSWR adalah perbandingan antara amplitudo gelombang berdiri (*standing wave*) maksimum ($|V|_{\max}$) dengan minimum ($|V|_{\min}$). Pada saluran transmisi ada dua komponen gelombang tegangan, yaitu tegangan yang dikirimkan (V_0^+) dan tegangan yang direfleksikan (V_0^-) [10]. Perbandingan antara tegangan yang direfleksikan dengan tegangan yang dikirimkan disebut sebagai koefisien refleksi tegangan (Γ)[16]:

$$\Gamma = \frac{V_0^-}{V_0^+} = \frac{Z_1 - Z_2}{Z_1 + Z_2} \quad (2.15)$$

Di mana Z_1 adalah impedansi beban (*load*) dan Z_2 adalah impedansi saluran *lossless*.

Koefisien refleksi tegangan (Γ) memiliki nilai kompleks, yang merepresentasikan besarnya magnitudo dan fasa dari refleksi. Untuk beberapa kasus yang sederhana, ketika bagian imajiner dari Γ adalah nol, maka:

- $\Gamma = -1$: refleksi negatif maksimum, ketika saluran terhubung singkat,
- $\Gamma = 0$: tidak ada refleksi, ketika saluran dalam keadaan *matched* sempurna,
- $\Gamma = +1$: refleksi positif maksimum, ketika saluran dalam rangkaian terbuka.

Rumus untuk mencari nilai VSWR adalah[6]:

$$S = \frac{\left| \tilde{V}_{\max} \right|}{\left| \tilde{V}_{\min} \right|} = \frac{1 + |\Gamma|}{1 - |\Gamma|} \quad (2.16)$$

Kondisi yang paling baik adalah ketika VSWR bernilai 1 ($S=1$) yang berarti tidak ada refleksi ketika saluran dalam keadaan *matching* sempurna. Nilai VSWR yang umum digunakan pada suatu antena adalah lebih kecil atau sama dengan 2.

2.7.3 Return Loss

Parameter dari antena yang menunjukkan koefisien pantul dalam bentuk logaritmik, menunjukkan daya yang hilang karena antena dan saluran transmisi tidak matching. Persamaan dari *Return loss* adalah :

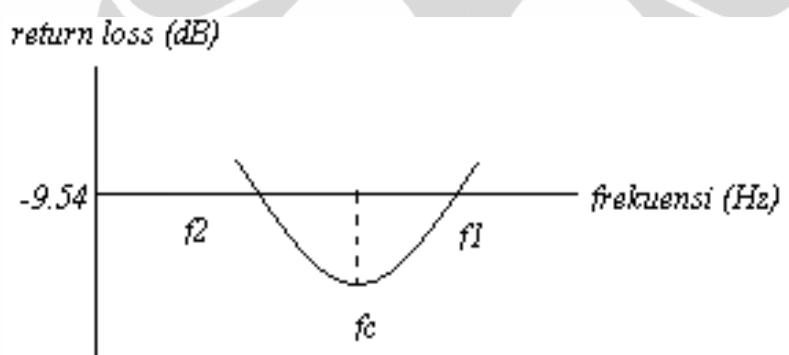
$$\text{Return Loss} = 20 \log|\Gamma|$$

$$\Gamma = \frac{vswr - 1}{vswr + 1} \quad (2.18)$$

Dengan menghubungkan kedua persamaan di atas dapat kita lihat bahwa nilai *return loss* sangat bergantung dengan nilai VSWR. Dimana bila diinginkan $VSWR < 2,0$ maka nilai *return loss* akan sebesar -9,54 db, sehingga antena itu akan dikatakan baik bila memiliki nilai *Return loss* kurang dari -9,54 dB.

2.7.4 Bandwidth

Bandwidth dari sebuah antena didefinisikan sebagai jarak dari frekuensi-frekuensi dimana performa (karakteristik-karakteristik) dari antena sesuai dengan standar yang ditetapkan. *Bandwidth* suatu antena juga dapat didefinisikan sebagai rentang frekuensi di mana kinerja antena yang berhubungan dengan beberapa karakteristik (seperti impedansi masukan, pola, *beamwidth*, polarisasi, *gain*, efisiensi, VSWR, *return loss*) memenuhi spesifikasi standar. Pada Gambar 2.6 dapat dilihat *bandwidth* berdasarkan *return loss*, yaitu rentang frekuensi saat nilai *return loss* $\leq -9,54$ dB atau $VSWR \leq 2,0$ dB.



Gambar 2.6 Rentang Frekuensi yang Menjadi *Bandwidth*[6]

Bandwidth dinyatakan sebagai perbandingan antara frekuensi atas dan frekuensi bawah dalam level yang dapat diterima.

$$BW = \frac{f_h - f_l}{f_c} \times 100\% \quad (2.19)$$

Dengan f_h = frekuensi tertinggi dalam *band* (MHz)

f_l = frekuensi terendah dalam *band* (MHz)

f_c = frekuensi tengah dalam *band* (MHz),

$$f_c = \frac{f_h + f_l}{2} \quad (2.20)$$

Ada beberapa jenis *bandwidth* di antaranya:

- 1 *Impedance bandwidth*, yaitu rentang frekuensi di mana elemen peradiasi antena berada pada keadaan *matching* dengan saluran pencatu. Hal ini terjadi karena impedansi dari elemen antena bervariasi nilainya tergantung dari nilai frekuensi. Pada Tesis ini, antena yang dibuat diharapkan memiliki *Impedance bandwidth* minimal 228 MHz di range frekuensi 470-682 MHz dengan nilai return loss $\leq -10,16$ dB atau VSWR $\leq 1,9$.
- 2 *Pattern bandwidth*, yaitu rentang frekuensi di mana *beamwidth*, *sidelobe*, atau *gain*, yang bervariasi menurut frekuensi memenuhi nilai tertentu. Nilai tersebut harus ditentukan pada awal perancangan antena agar nilai *bandwidth* dapat dicari

2.7.5 *Pola Radiasi*

Pola radiasi antena didefinisikan sebagai fungsi matematik atau sebuah representasi grafik dari radiasi antena sebagai sebuah fungsi dari koordinat ruang[10].

- Pola Isotropik

Antena isotropik didefinisikan sebagai sebuah antena tanpa rugi-rugi secara hipotesis yang mempunyai radiasi sama besar ke setiap arah.

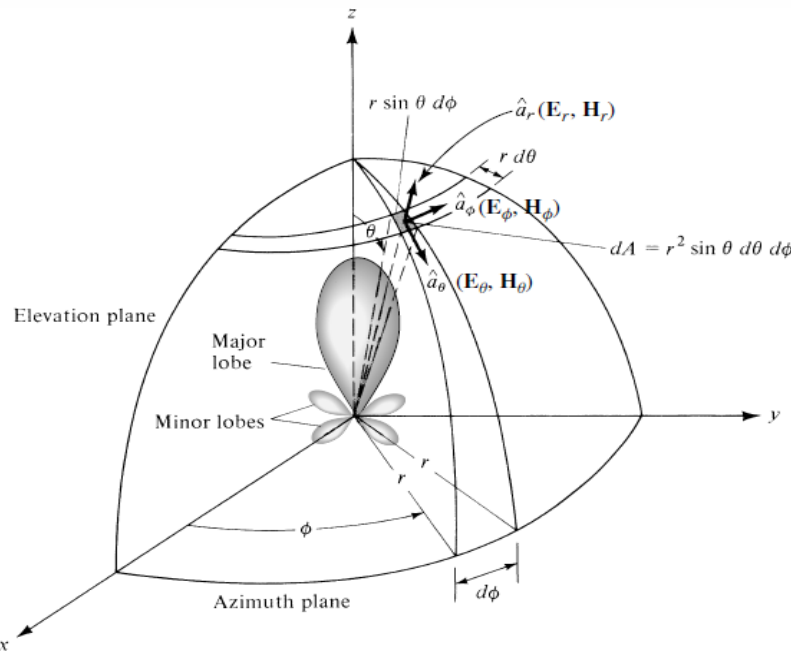
- Pola *Directional*

Antena yang mempunyai pola radiasi atau pola menerima gelombang elektromagnetik yang lebih efektif pada arah-arah tertentu saja. Salah satu contoh antena *directional* adalah antena dengan pola *omnidirectional*

- Pola radiasi *lobe (cuping)*

Bagian-bagian dari pola radiasi ditunjukkan sebagai cuping-cuping yang bisa diklasifikasikan menjadi *main* (utama), *side* (samping) dan *back* (belakang).

- ✓ *Main lobe* ialah *lobe* radiasi yang memiliki arah radiasi maksimum
- ✓ *Side lobe* ialah *lobe* selain *main lobe*
- ✓ *Back lobe* ialah *lobe* yang arahnya berlawanan 180° dengan *main lobe*. *Side lobe* dan *back lobe* merupakan minor *lobe* yang keberadaannya tidak diharapkan.



Gambar 2.7 Pola Radiasi Directional [9].

2.7.6 Penguatan (Gain)

Ada dua jenis parameter penguatan (*Gain*) yaitu :

1. *Absolute gain* pada sebuah antena didefinisikan sebagai perbandingan antara intensitas pada arah tertentu dengan intensitas radiasi yang diperoleh jika daya yang diterima oleh antena teradiasi secara isotropik. Intensitas radiasi yang berhubungan dengan daya yang diradiasikan secara isotropik sama dengan daya yang diterima oleh antena (P_{in}) dibagi dengan 4π . *Absolute gain* ini dapat dihitung dengan rumus [10]:

$$gain = 4\pi \frac{U(\theta, \phi)}{P_{in}} \quad (2.21)$$

2. *Relative gain* didefinisikan sebagai perbandingan antara perolehan daya pada sebuah arah dengan perolehan daya pada antena referensi pada arah yang direferensikan juga. Daya masukan harus sama di antara kedua antena itu. Akan tetapi, antena referensi merupakan sumber isotropik yang *lossless* ($P_{in}(lossless)$). Secara rumus dapat dihubungkan sebagai berikut[10]:

$$G = \frac{4\pi U(\theta, \phi)}{P_{in}(lossless)} \quad (2.22)$$

2.7.7 Keterarahan (Directivity)

Keterarahan dari sebuah antena didefinisikan sebagai perbandingan (ratio) intensitas radiasi sebuah antena pada arah tertentu dengan intensitas radiasi rata-rata pada semua arah. Intensitas radiasi rata-rata sama dengan jumlah daya yang diradiasikan oleh antena dibagi dengan 4π . Dengan demikian, keterarahan dapat dihitung dengan menggunakan rumus seperti pada Persamaan 2.23 berikut ini:

$$D = \frac{U}{U_0} = \frac{4\pi U}{P_{rad}} \quad (2.23)$$

Jika arah tidak ditentukan, keterahan terjadi pada intensitas radiasi maksimum yang didapat dengan rumus seperti pada Persamaan 2.24:

$$D_{max} = D_0 = \frac{U_{max}}{U_0} = \frac{4\pi U_{max}}{P_{rad}} \quad (2.24)$$

Di mana :

D = keterarahan

D_0 = keterarahan maksimum

U = intensitas radiasi

U_{max} = intensitas radiasi maksimum

U_0 = intensitas radiasi pada sumber isotropik

P_{rad} = daya total radiasi

Directivity biasanya dinyatakan dalam dB, yaitu $10 \log D_0$ dB. Dimana D_0 merupakan *Maximum Directivity* dari sebuah antena. *Directivity* sebuah antena isotropis adalah 1, karena daya yang diradiasikan ke segala arah sama. Untuk antena yang lain, *directivity* akan selalu lebih dari satu, dan ini adalah *figure of merit relatif* yang memberikan sebuah indikasi karakteristik pengarahan antena dibandingkan dengan karakteristik pengarahan antena isotropis.

2.7.8 Polarisasi

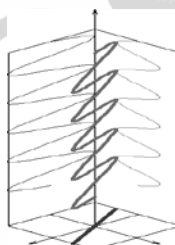
Polarisasi antena adalah polarisasi dari gelombang yang ditransmisikan oleh antena. Jika arah tidak ditentukan maka polarisasi merupakan polarisasi pada arah *gain* maksimum[10]. Pada prakteknya, polarisasi dari energi yang teradiasi bervariasi dengan arah dari tengah antena, sehingga bagian lain dari pola radiasi mempunyai polarisasi yang berbeda.

Polarisasi dari gelombang yang teradiasi didefinisikan sebagai suatu keadaan gelombang elektromagnet yang menggambarkan arah dan magnitudo vektor medan elektrik yang bervariasi menurut waktu. Selain itu, polarisasi juga dapat didefinisikan sebagai gelombang yang diradiasikan dan diterima oleh antena pada suatu arah tertentu.

Polarisasi dapat diklasifikasikan sebagai *linear* (linier), *circular* (melingkar), atau *elliptical* (elips). Polarisasi linier (Gambar 2.8) terjadi jika suatu gelombang yang berubah menurut waktu pada suatu titik di ruang memiliki vektor medan elektrik (atau magnet) pada titik tersebut selalu berorientasi pada garis lurus yang sama pada setiap waktu[9].

Hal ini dapat terjadi jika vektor (elektrik maupun magnet) memenuhi:

- Hanya ada satu komponen, atau
- Dua komponen yang saling tegak lurus secara linier yang berada pada perbedaan fasa waktu atau 180^0 atau kelipatannya



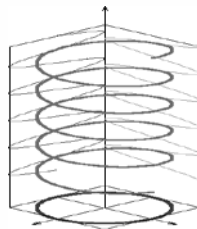
Gambar 2.8 Polarisasi Linier

Polarisasi melingkar (Gambar 2.9) terjadi jika suatu gelombang yang berubah menurut waktu pada suatu titik memiliki vektor medan elektrik (atau magnet) pada titik tersebut berada pada jalur lingkaran sebagai fungsi waktu[10].

Kondisi yang harus dipenuhi untuk mencapai jenis polarisasi ini adalah :

- Medan harus mempunyai 2 komponen yang saling tegak lurus linier
- Kedua komponen tersebut harus mempunyai magnitudo yang sama
- Kedua komponen tersebut harus memiliki perbedaan fasa waktu pada kelipatan ganjil 90^0 .

Polarisasi melingkar dibagi menjadi dua, yaitu *Left Hand Circular Polarization (LHCP)* dan *Right Hand Circular Polarization (RHCP)*. *LHCP* terjadi ketika $\delta = +\pi/2$, sebaliknya *RHCP* terjadi ketika $\delta = -\pi/2$

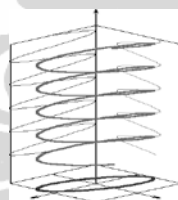


Gambar 2.9 Polarisasi Melingkar

Polarisasi elips (Gambar 2.10) terjadi ketika gelombang yang berubah menurut waktu memiliki vektor medan (elektrik atau magnet) berada pada jalur kedudukan elips pada ruang [10].

Kondisi yang harus dipenuhi untuk mendapatkan polarisasi ini adalah :

- a. Medan harus mempunyai dua komponen linier ortogonal
- b. Kedua komponen tersebut harus berada pada magnitudo yang sama atau berbeda
- c. Jika kedua komponen tersebut tidak berada pada magnitudo yang sama, perbedaan fasa waktu antara kedua komponen tersebut harus tidak bernilai 0° atau kelipatan 180° (karena akan menjadi linier). Jika kedua komponen berada pada magnitudo yang sama maka perbedaan fasa di antara kedua komponen tersebut harus tidak merupakan kelipatan ganjil dari 90° (karena akan menjadi lingkaran).



Gambar 2.10 Polarisasi Elips

BAB 3

PERANCANGAN *LINEAR TAPERED SLOT ANTENA* DENGAN PENCATUAN *MICROSTRIP LINE*

3.1. Pendahuluan

Pada tesis ini akan dirancang antena mikrostrip *slot* dengan *slot* berbentuk *linear tapered* dan teknik pencatuan secara tidak langsung yaitu menggunakan saluran mikrostrip (*Microstrip Feed Line*). Keuntungan rancangan ini adalah desain yang sederhana dan mudah proses fabrikasinya serta dapat menghasilkan *bandwidth* yang lebar sehingga mampu memenuhi spesifikasi yang dibutuhkan.

Ada beberapa tahapan dalam perancangan antena ini, diantaranya adalah penentuan karakteristik antena, penentuan spesifikasi substrat yang akan digunakan, penentuan dimensi *slot* antena, penentuan dimensi saluran pencatu. Hasil rancangan tersebut kemudian disimulasikan dengan menggunakan perangkat lunak *HFSS* versi 11. Untuk mendapatkan spesifikasi yang dibutuhkan dilakukan karakterisasi-karakterisasi baik pada *slot* antena maupun pada saluran pencatu.

3.2. Perlengkapan Yang Digunakan

Perangkat yang digunakan dalam perancangan ini terdiri dari perangkat keras (*hardware*) dan perangkat lunak (*software*). Perangkat keras digunakan untuk fabrikasi dan pengukuran antena. Perangkat lunak digunakan untuk melakukan simulasi dan mengetahui karakteristik antena yang dirancang.

Perangkat keras yang dipergunakan dalam perancangan antena mikrostrip antara lain:

1. *Network Analyzer* HP 8753E (30 kHz - 6GHz)

Alat ini digunakan untuk pengukuran *port* tunggal (mengukur frekuensi resonansi, VSWR, *return loss*, impedansi masukan, dan *bandwidth*) dan *port* ganda (mengukur pola radiasi dan *gain*).

3. *Konektor SMA* 50 ohm.
4. Kabel *Coaxial* 50 ohm.

Perangkat lunak (*software*) yang digunakan yaitu dalam perancangan antena mikrostrip antara lain :

1. *Software Ansoft HFSS versi 11*

Perangkat lunak ini dipergunakan untuk merancang dan mensimulasikan LTSA yang akan dibuat. Setelah disimulasi akan diperoleh beberapa karakteristik antena seperti frekuensi kerja, *bandwidth*, impedansi input, *return loss*, VSWR, dan pola radiasi.

2. *Software PCAAD 5.0*

Perangkat lunak ini digunakan untuk menentukan saluran pencatu *microstrip line* sehingga dihasilkan kondisi *matching*.

3. *Software Microsoft Visio 2003*

Perangkat lunak ini digunakan untuk mencetak rancangan antena LTSA yang akan dibuat sehingga dapat dibuat sesuai dengan ukuran sebenarnya.

4. *Microsoft Excel 2007*

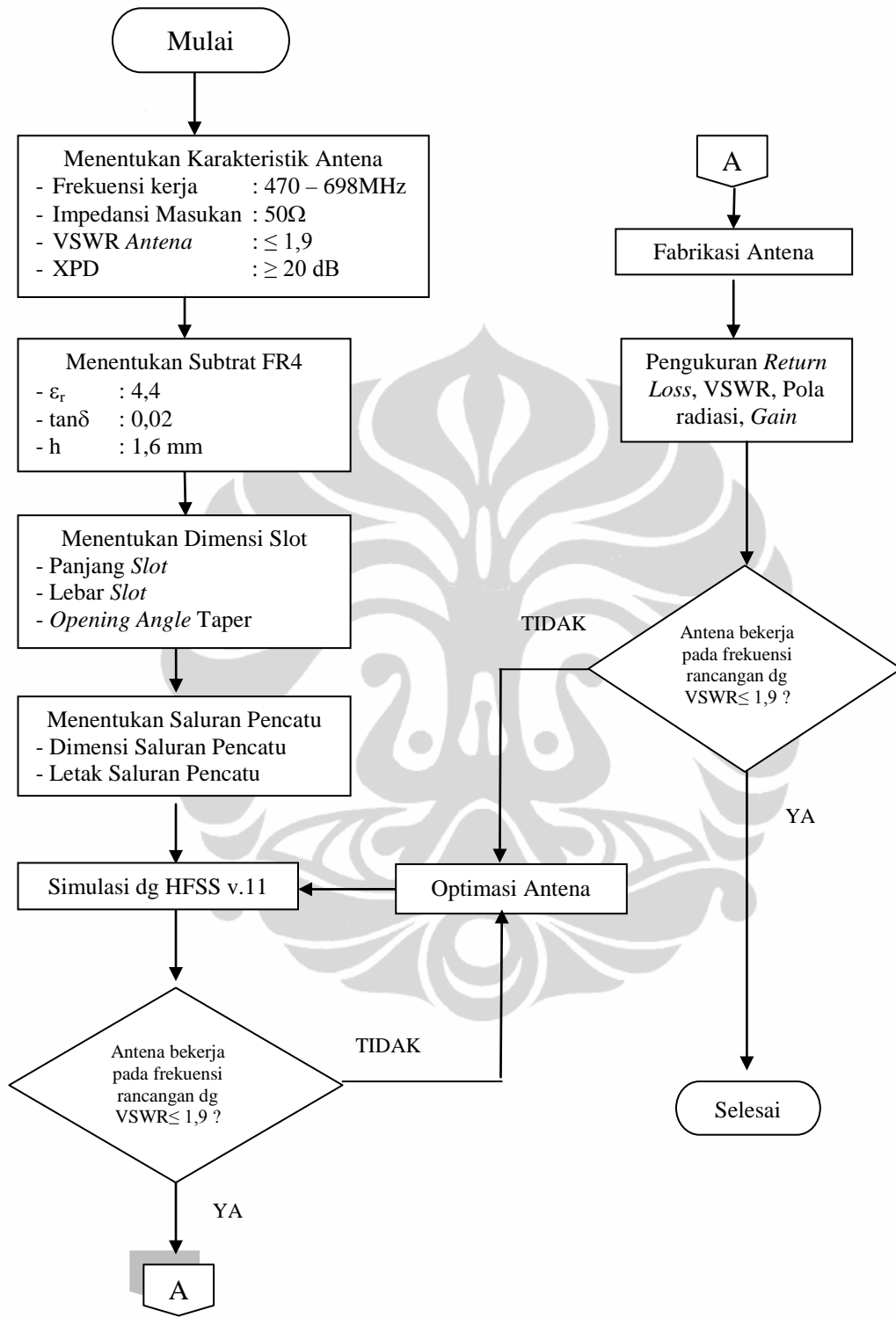
Perangkat lunak ini digunakan untuk mengolah data dengan persamaan matematis.

3.3. Diagram Alir Perancangan LTSA

Dalam merancang antena diperlukan tahapan-tahapan untuk membantu dalam proses perancangan antena. Langkah pertama dimulai dari penentuan karakteristik antena, kemudian penentuan bahan substrat yang akan digunakan. Substrat ini berhubungan dengan konstanta dielektrik relatif (ϵ_r), dielektrik *loss tangent* ($\tan \delta$) dan ketebalan (h). Penentuan dimensi saluran pencatu menggunakan PCCAD atau menggunakan rumus pada subbab 2.6 agar saluran pencatu yang dirancang impedansi masukannya mendekati 5Ω . Kemudian perancangan dimensi *slot* antena menggunakan rumus pada subbab 2.6.

Setelah diperoleh dimensi pencatu dan *slot* langkah selanjunya yaitu menentukan letak dari saluran pencatu, kemudian dilakukan simulasi menggunakan HFSS Ansoft 11 untuk mengetahui karakteristik antena. Apabila frekuensi yang diperoleh belum memenuhi karakteristik dilakukan optimasi pada dimensi *slot*. Selanjutnya apabila *bandwidth* yang diperoleh belum memenuhi karakteristik dilakukan optimasi pada dimensi pencatu dan letak pencatu. Gambar

3.1 merupakan gambar diagram alir dari perancangan antena pada tesis ini.



Gambar 3.1 Diagram Alir Perancangan LTSA

3.4. Menentukan Karakteristik Antena

Tahapan perancangan antena pertama kali adalah menentukan karakteristik antena yang diinginkan, karakteristik antena yang dimaksud yaitu frekuensi kerja, impedansi, *bandwidth*, dan VSWR.

1. Frekuensi kerja : 470 - 698 Mhz
2. Impedansi terminal : 50Ω Konektor SMA
3. *Bandwidth* : 228 MHz
4. VSWR : $\leq 1,9$

Pada rancangan antena ini, diharapkan antena mampu bekerja pada frekuensi 470-698 Mhz. Hal ini berarti, frekuensi resonansinya adalah 470-698 Mhz dengan frekuensi tengah 584 Mhz.

3.5. Menetukan Jenis Substrat Yang Dipergunakan

Substrat merupakan bahan dielektrik yang memiliki nilai konstanta dielektrik relatif (ϵ_r), dielektrik *loss tangent* ($\tan \delta$) dan ketebalan (h) tertentu. Ketiga nilai tersebut mempengaruhi frekuensi kerja *bandwidth*, dan juga efisiensi antena yang akan dibuat.

Semakin kecil konstanta dielektrik, maka ukuran elemen peradiasi dan saluran pencatu mikrostrip yang dibutuhkan akan semakin luas, karena ukuran elemen peradiasi dan saluran mikrostrip berbanding terbalik dengan konstanta dielektrik. Ketebalan substrat jauh lebih besar dari pada ketebalan konduktor metal peradiasi.

Semakin tebal substrat maka *bandwidth* akan semakin meningkat, tetapi berpengaruh terhadap timbulnya gelombang permukaan (*surface wave*)[6][9]. Begitu juga sebaliknya, semakin kecil tebal substrat maka efek gelombang permukaan semakin kecil sehingga diharapkan dapat meningkatkan kinerja antena seperti *gain*, efisiensi, dan *bandwidth*.

Dalam pemilihan jenis substrat sangat dibutuhkan pengetahuan tentang spesifikasi umum dari susbtrat tersebut, kualitasnya, ketersediannya dan yang tidak kalah penting adalah harga atau biaya yang harus dikeluarkan untuk mendapatkannya. Semua parameter tersebut akan mempengaruhi nilai jual ketika

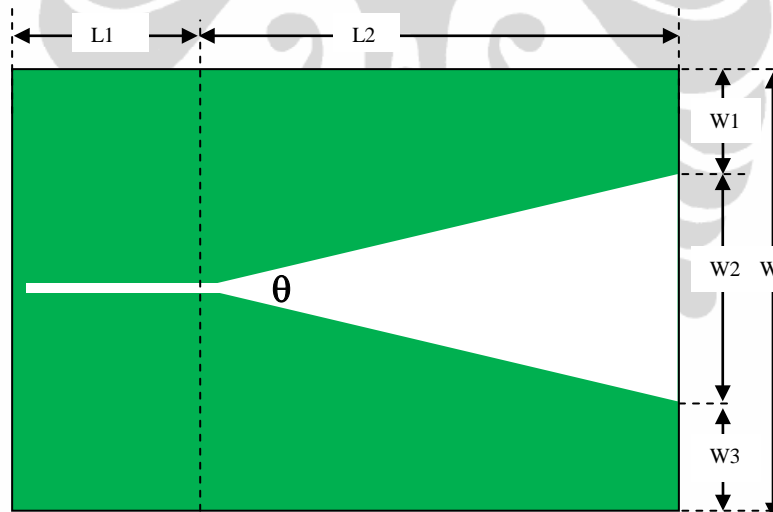
akan difabrikasi secara massal untuk dipasarkan. Pada tesis ini digunakan substrat FR4 *epoxy* dengan ketebalan 1,6 mm dengan spesifikasi pada Tabel 3.1.

Tabel 3.1 Spesifikasi Substrat FR4 (*epoxy*)

| | |
|--------------------------------------------------|--------|
| Konstanta Dielektrik Relatif (ϵ_r) | 4,4 |
| Dielektrik <i>Loss Tangent</i> ($\tan \delta$) | 0,02 |
| Ketebalan Substrat (h) | 1,6 mm |

3.6. Perancangan Dimensi Slot

Setelah didapatkan spesifikasi substrat yang digunakan , dilakukan perancangan slot peradiasi antena mikrostrip. Antena yang dirancang disini bekerja pada frekuensi 470-698 Mhz. Penentuan dimensi slot meliputi panjang slot, lebar slot dan *opening angle* dari *taper*. Bentuk slot dalam perancangan ini seperti pada gambar 3.2.



Gambar 3.2 Desain Antena LTSA

Panjang dan lebar slot ditentukan $\approx \frac{1}{2} \lambda$. Sedangkan λ diambil dari frekuensi terendah yang hendak dicapai. Panjang gelombang pada frekuensi 470 Mhz dapat dihitung sebagai berikut

$$\lambda = \frac{300 \times 10^6}{470 \times 10^6} = 0,638m = 638mm$$

$$\text{Panjang slot (L2)} = \frac{1}{2} \times 638\text{mm} = 319\text{mm}$$

$$\text{Lebar slot (W)} = \frac{1}{2} \times 638\text{mm} = 319\text{mm}$$

Opening Angle menurut [9] efektif di sudut $11,2^\circ$, sehingga dengan panjang slot 319mm lebar *opening angle* (W_2) bisa dihitung sebagai berikut :

$$W_2 = \tan \theta \times L$$

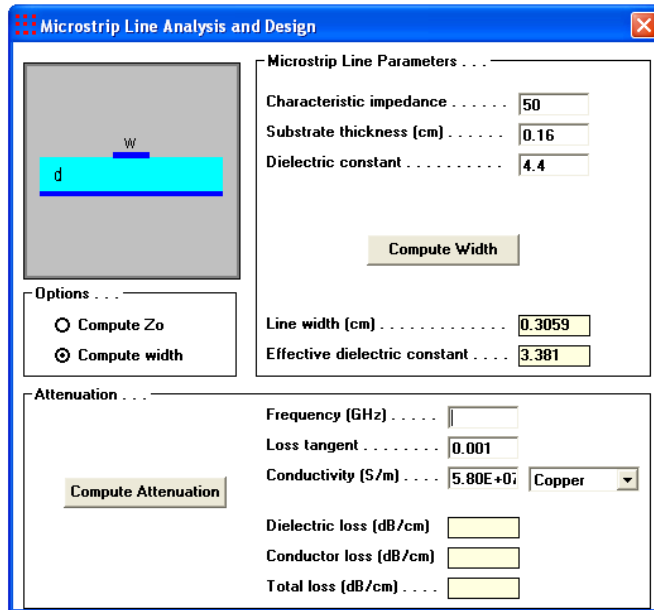
$$W_2 = \tan 11,2^\circ \times 319\text{mm} = 63\text{mm}$$

Setelah W_2 diketahui maka lebar W_1 dan W_3 dapat dihitung sebagai berikut

$$W_1 = W_3 = (319 - 63)/2 = 128\text{mm}$$

3.7. Perancangan Lebar Saluran Pencatu

Teori mengenai saluran pencatu mikrostrip telah dijelaskan pada subbab 2.6. Pencatuan yang digunakan pada antena yang dirancang pada tesis ini menggunakan teknik pencatuan secara tidak langsung (*microstrip feed line*). Dalam perancangan pencatu antena mikrostrip perlu impedansi masukan (Z_{in}) 50 Ω . Nilai tersebut bisa didapatkan dengan mengatur lebar dari saluran pencatu. Untuk mendapatkan besar lebar dari saluran pencatu yang menghasilkan nilai impedansi 50 ohm dapat dicari dengan menggunakan perangkat lunak PCAAD 5.0. Tampilan dari program PCAAD dapat dilihat pada Gambar 3.3



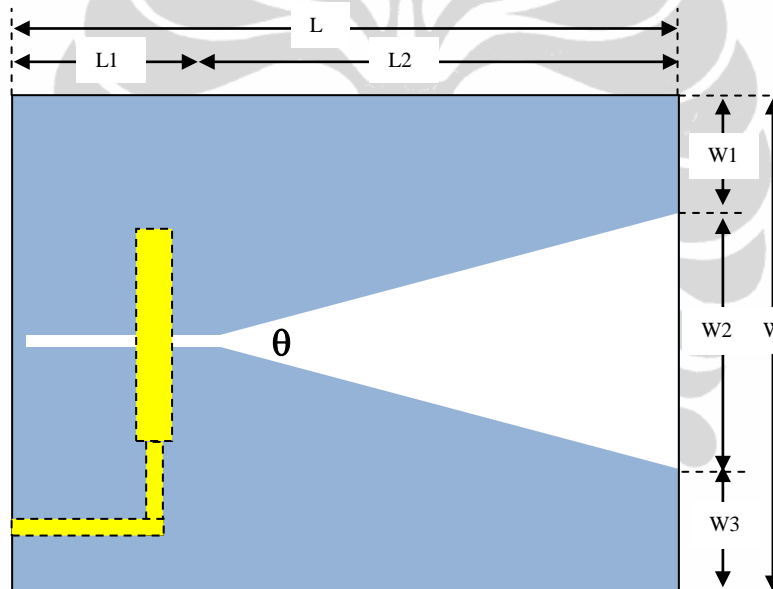
Gambar 3.3 Tampilan Program PCAAD Untuk Mencari Lebar Catu

Dengan memasukkan karakteristik impedansi masukan sebesar 50Ω , ketebalan substat 0.16 cm dan konstanta dielektrik 4.4, maka program ini akan

secara otomatis menampilkan lebar dari saluran pencatu yang dibutuhkan sebesar 3,059 mm. Sedangkan untuk panjang saluran pencatu pada desain awal ini akan digunakan bentuk pencatuan *microstrip line*.

3.8 Desain Antena LTSA

Seperti yang terlihat pada Gambar 3.4, antena mikrostrip *slot* yang didesain pada tesis ini merupakan antena mikrostrip yang dibuat dengan menggunakan satu buah substrat FR4-Epoxy yang bisa di-*etching* pada kedua sisinya. Pencatu dan *slot* berada di dua sisi yang berbeda sehingga pada desain antena ini proses pencatuan dilakukan secara tidak langsung. *Slot* dapat digambarkan sebagai sebuah lapisan *ground* pada suatu struktur antena mikrostrip *patch*.

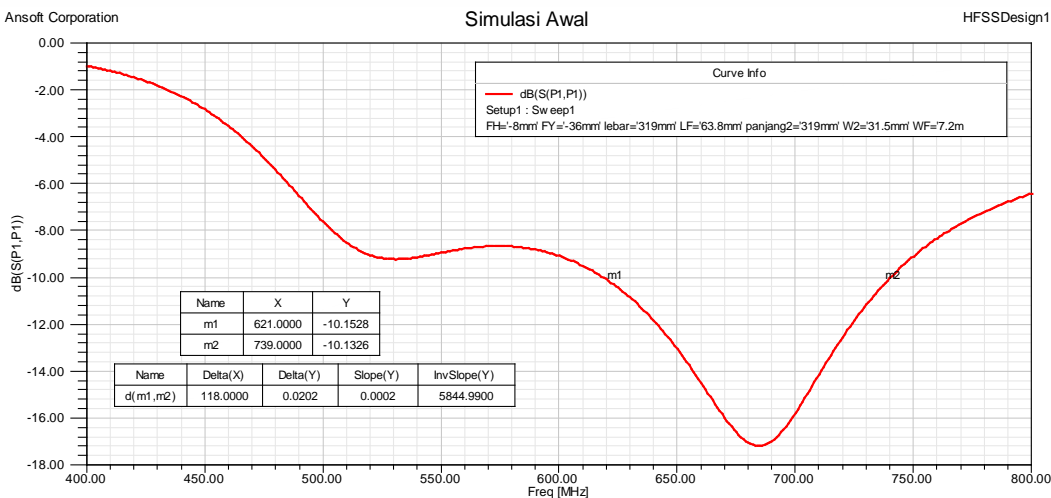


Gambar 3.4 Desain Antena LTSA

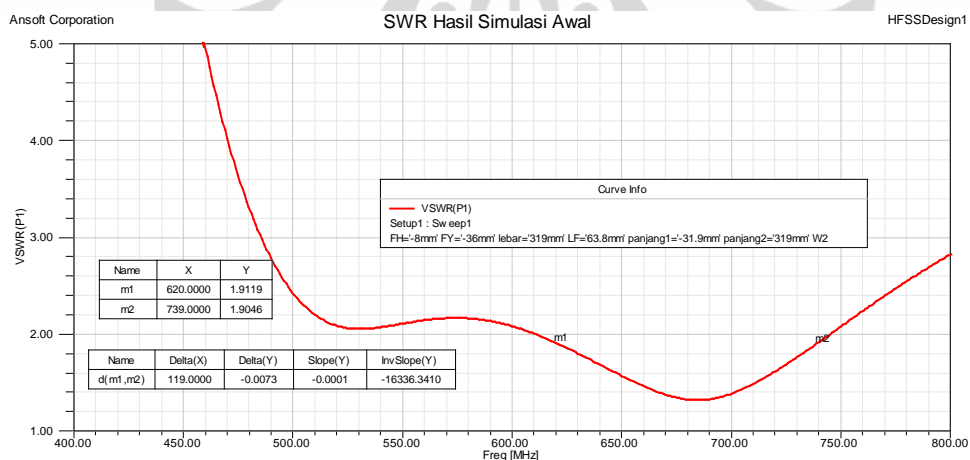
Tabel 3.2 Dimensi Antena Hasil Rancangan Berdasarkan Teori

| Parameter | Ukuran (mm) |
|-------------------------------|-------------|
| Panjang 1 Slot (L1) | 31,9 mm |
| Panjang 2 Slot (L2) | 319 mm |
| Lebar Opening angle Slot (W2) | 63 mm |
| W1=W3 | 128 mm |
| Letak Feed dg sumbu X (FH) | -8 mm |
| Lebar Pencatu (WF) | 4 mm |
| Panjang Pencatu (LF) | 63,8 mm |
| Lebar Pencatu2 (WF2) | 3 mm |
| Panjang Pencatu2 (LF2) | 36 mm |
| Letak Feed dg sumbu Y (FV) | -36 mm |

Pada tahap ini, hasil rancangan disimulasikan dengan perangkat lunak *HFSS v 11* Gambar 3.5(a) dan 35(b) menunjukkan grafik *return loss* dan garfiik SWR hasil simulasasi awal yang merupakan hasil rancangan berdasarkan perhitungan teori yang telah dijabarkan pada keterangan di Gambar 3.4.



Gambar 3.5(a) Grafik *Return Loss* pada Simulasi Awal



Gambar 3.5(b) Grafik SWR pada Simulasi Awal

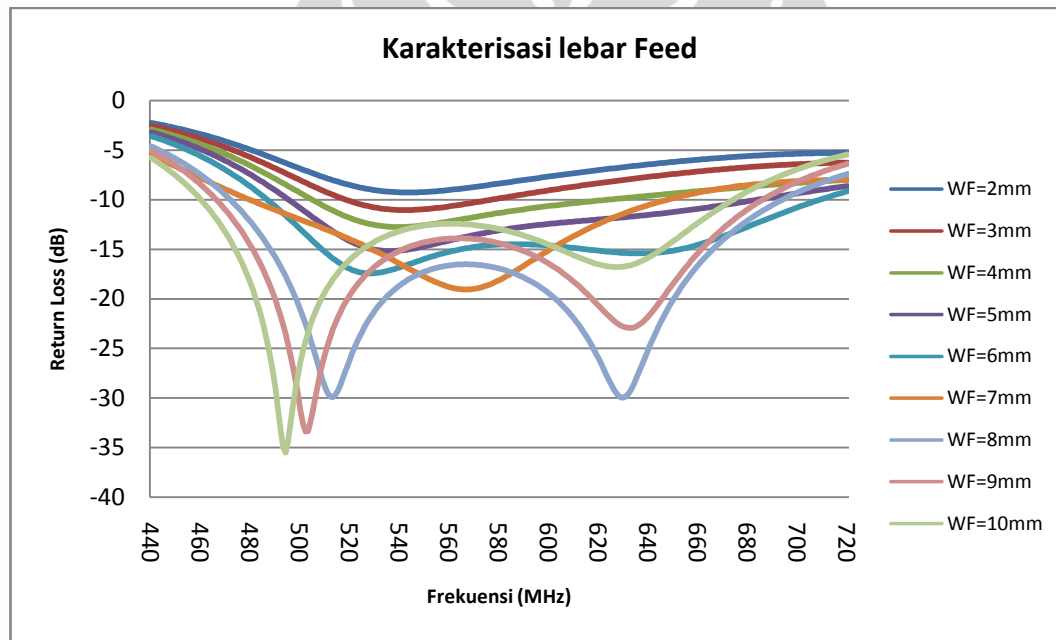
Dari Gambar 3.5 dapat dilihat bahwa frekuensi kerja yang diinginkan bergeser ke frekuensi 621 MHz hingga 739 MHz dengan nilai *return Loss* yang diperoleh sebesar -10,13dB. Hasil ini jauh dari frekuensi yang diharapkan yaitu 584MHz. Adapun dari hasil simulasasi desain awal antena ini. Hal tersebut dapat disebabkan oleh ketidaksesuaian antara perhitungan dimensi *slot* yang digunakan dengan teknik pencatuan *Microstrip Feed Line*. Oleh karena itu, untuk

mendapatkan rancangan yang optimal perlu dilakukan pengkarakterisasi antena. Karakterisasi ini meliputi karakterisasi lebar *feed*, lebar *feed*, lebar sudut buka, letak *feed* terhadap posisi horizontal, panjang *slot*, dan lebar *slot*

3.9 Karakterisasi Antena

3.9.1 Karakterisasi Lebar Feed

Pada karakterisasi kali ini, dilakukan iterasi dimensi lebar *feed* (WF) 2mm sampai 10mm dengan interval 1mm. Gambar 3.6 menunjukkan hasil simulasi dari perubahan dimensi leba *feed* (WF). Parameter panjang *slot* 2 , panjang1 *slot*, lebar *slot*, lebar *opening angle*, letak dan panjang saluran pencatu dibuat tetap

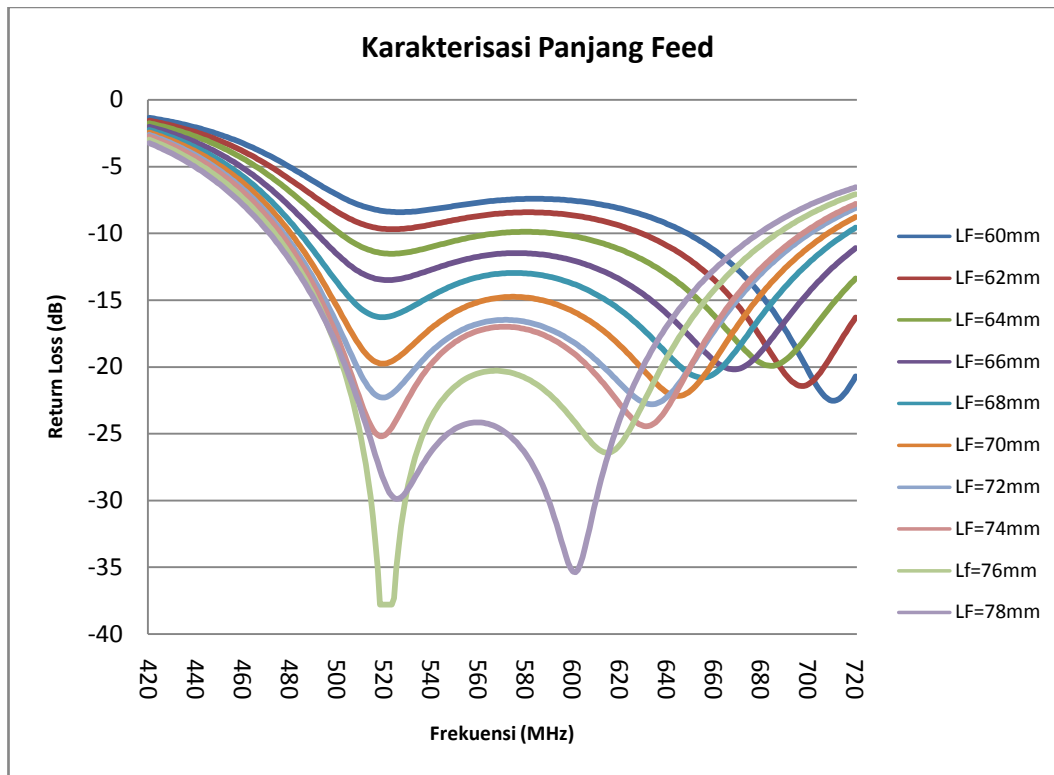


Gambar 3.6 Grafik *Return Loss* pada karakterisasi Lebar Feed

Berdasarkan hasil simulasi iterasi lebar feed, nilai *return loss* dibawah -10 dB dengan $bandwidth \geq 170$ MHz didapatkan pada $WF = 6\text{mm}$, 7mm , 8mm , 9mm dan 10mm , sedangkan frekuensi resonansi berada di sekitar 480-650 MHz. Hasil simulasi ini dapat disimpulkan bahwa karakterisasi pada feed (WF) mempengaruhi *matching impedance* dan juga frekuensi resonansi antena.

3.9.2 Karakterisasi Panjang Feed

Pada karakterisasi kali ini, dilakukan iterasi dimensi panjang *feed* (LF) dengan variasi 60 mm sampai 78mm dengan interval 2mm. Gambar 3.7 menunjukkan hasil simulasi dari perubahan dimensi panjang *feed* (LF). Parameter panjang *slot 2*, *panjang1 slot*, lebar *opening angle*, letak dan lebar *feed* dibuat tetap.

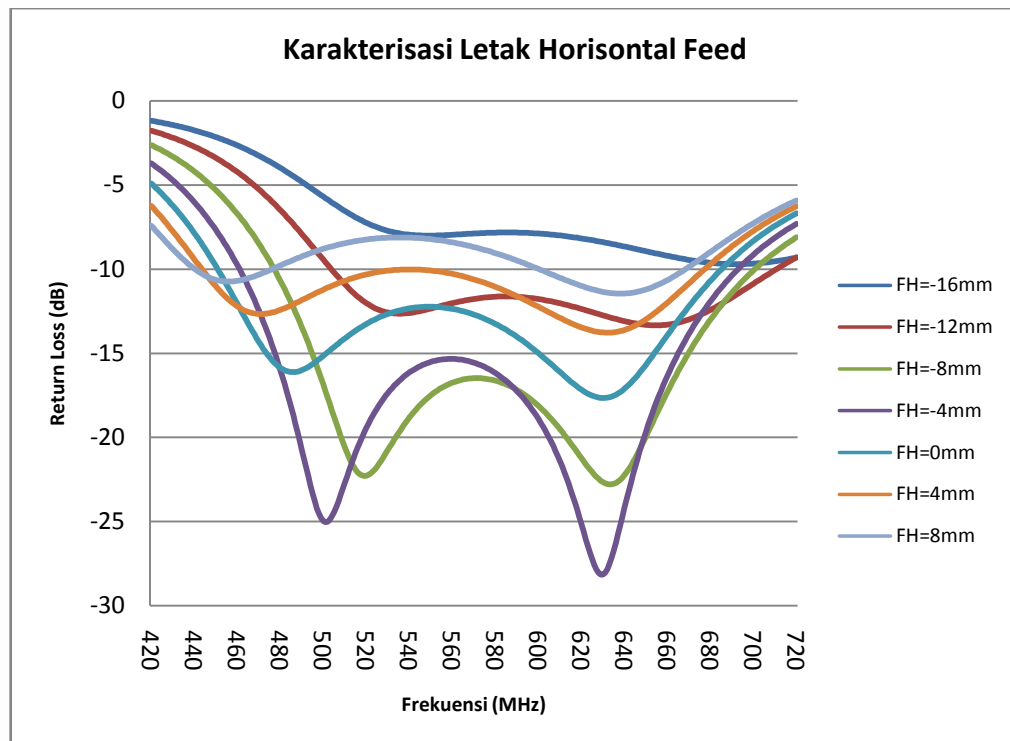


Gambar 3.7 Grafik *Return Loss* pada karakterisasi Panjang Feed

Berdasarkan hasil simulasi, nilai *return loss* dibawah -10 dB dengan *bandwidth* ≥ 195 MHz didapatkan pada LF = 68mm, 70mm, 72mm, 74mm, 76mm dan 78mm, sedangkan frekuensi resonansi berada di sekitar 475-670 MHz . Hasil simulasi ini dapat disimpulkan bahwa karakterisasi pada panjang *feed* (LF) mempengaruhi *matching impedance* antena.

3.9.3 Karakterisasi Letak Horisontal Feed

Pada karakterisasi kali ini, dilakukan iterasi letak *feed* secara horizontal (FH) terhadap sumbu Y dengan variasi -12mm sampai 8 mm dengan interval 4mm, Gambar 3.8 menunjukkan hasil simulasi dari perubahan letak *feed* secara horisontal (FH), Parameter panjang *slot 2*, panjang1 *slot* , lebar *slot*, lebar *opening angle*, panjang dan lebar feed dibuat tetap

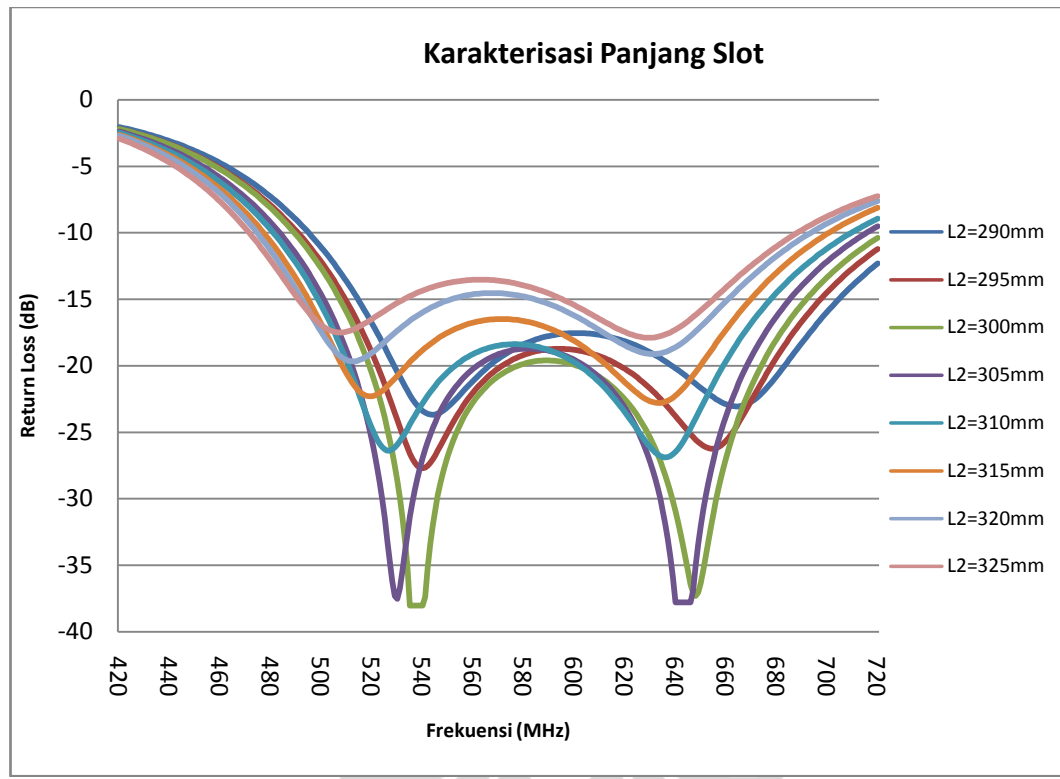


Gambar 3.8 Grafik *Return Loss* pada Iterasi Letak Feed

Berdasarkan hasil simulasi iterasi letak saluran pencatu nilai *return loss* dibawah -10 dB dengan *bandwidth* ≥ 200 MHz didapatkan pada FH= -12mm, -8mm, -4mm, dan 0mm memiliki frekuensi resonansi berada disekitar 480-680MHz. Hasil simulasi ini dapat disimpulkan bahwa karakterisasi pada letak horizontal *feed* (FH) mempengaruhi *matching impedance* antenna.

3.9.4 Karakterisasi Panjang Slot

Pada karakterisasi kali ini, dilakukan iterasi dimensi panjang *slot 2* (*L2*) 290mm sampai 325 mm dengan interval 5mm. Gambar 3.9 menunjukkan hasil simulasi dari perubahan dimensi panjang *slot 2*, sedangkan parameter lainnya seperti panjang *slot 1*, lebar *slot*, lebar *opening angle*, letak dan lebar serta panjang feed dibuat tetap.

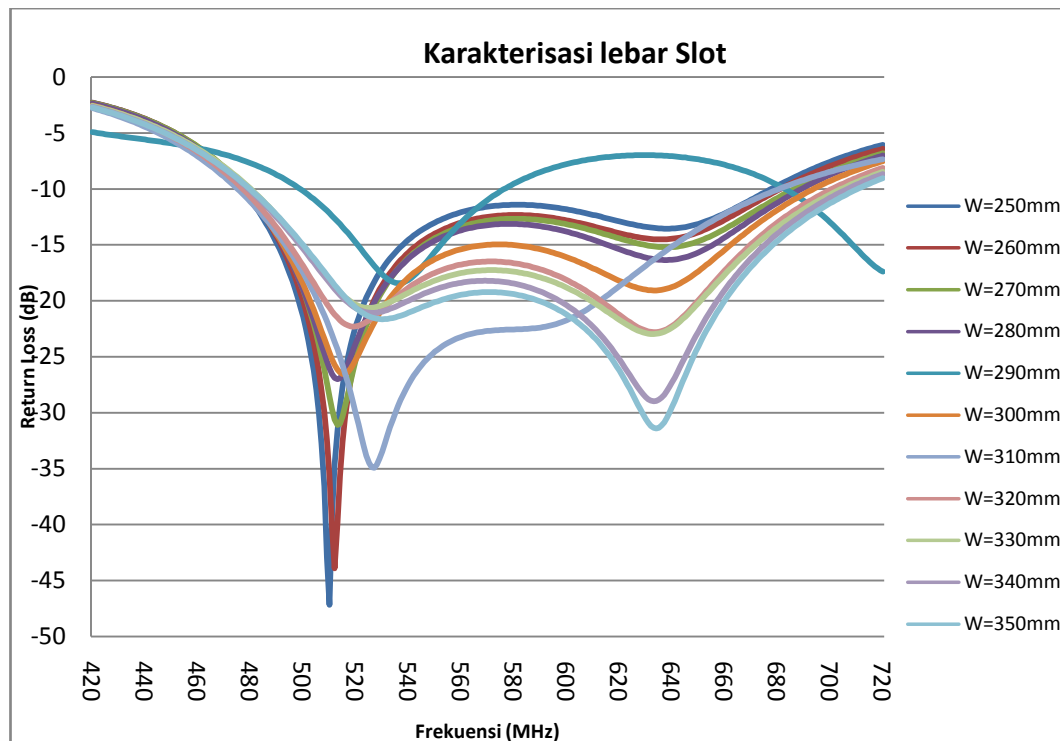


Gambar 3.9 Grafik *Return Loss* pada Iterasi Panjang *Slot*

Berdasarkan hasil simulasi iterasi panjang *slot* (*L2*), nilai *return loss* dibawah -10 dB dengan $bandwidth \geq 200\text{Mhz}$ didapatkan pada *L2* 290mm hingga 352mm, sedangkan frekuensi resonansi berbanding terbalik dengan panjang *slot*. Semakin panjang *slot* makin frekuensi semakin menurun. Hasil simulasi ini dapat disimpulkan bahwa karakterisasi pada panjang *slot 2* (*L2*) mempengaruhi frekuensi resonansi antenna.

3.9.5 Karakterisasi Lebar Slot

Pada karakterisasi kali ini, dilakukan iterasi dimensi lebar *slot* 250mm hingga 350mm dengan interval 10mm. Gambar 3.10 menunjukkan hasil simulasi dari perubahan dimensi lebar *Slot*. Parameter panjang *slot 2*, panjang *slot 1*, lebar *opening angle*, letak dan lebar serta panjang *feed* dibuat tetap.

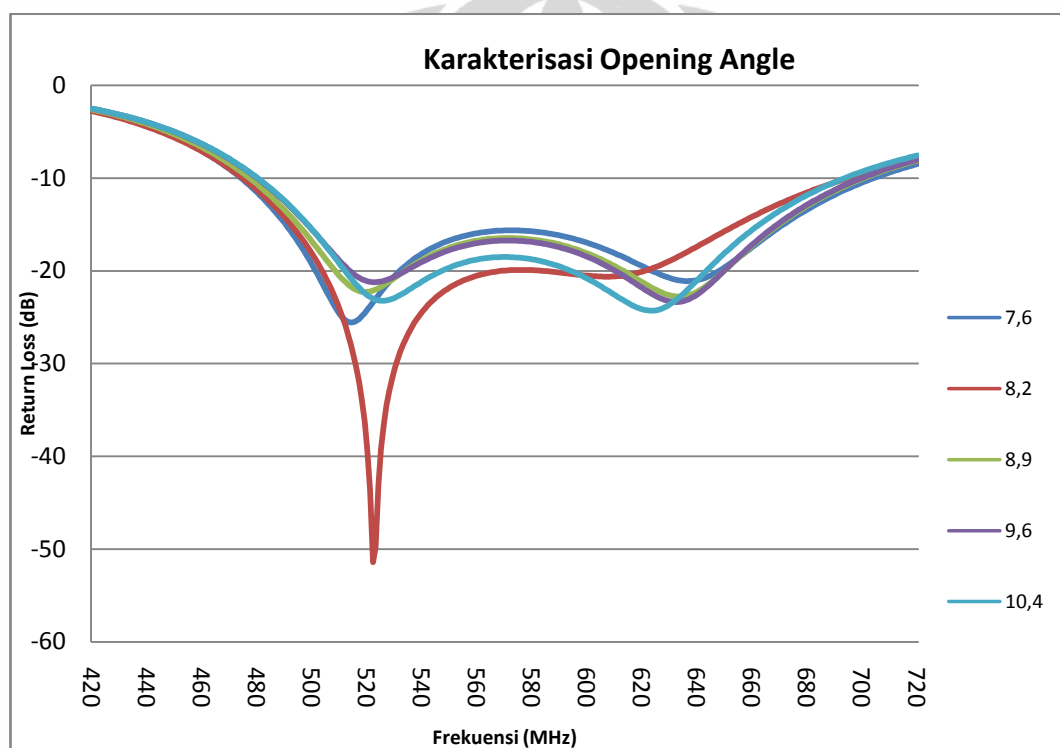


Gambar 3.10 Grafik *Return Loss* pada Iterasi Lebar *Slot*

Berdasarkan hasil simulasi Iterasi lebar *Slot*, nilai *return loss* dibawah -10 dB dengan $bandwidth \geq 200\text{Mhz}$ didapatkan pada $W = 300\text{mm}$, 310mm , 320mm , 330mm , 340mm dan 350mm , sedangkan frekuensi resonansi rata-rata berada di $480\text{-}680$ MHz. Hasil simulasi ini dapat disimpulkan bahwa karakterisasi pada lebar *slot* (W) mempengaruhi *matching impedance* antenna dan frekuensi resonansi.

3.9.6. Karakterisasi Sudut Buka (*Opening Angle*)

Pada karakterisasi kali ini, dilakukan iterasi sudut buka (*opening angle*). Iterasi ini dengan cara merubah lebar sudut buka *slot* (W2) 42mm hingga 58mm, dengan interval 4mm. Parameter panjang *slot* 2 sebesar 320 mm, dengan menggunakan rumus *sinuscosinus* maka diperoleh sudut 7,6°, 8,2°, 8,9°, 9,6° , 10,4°. Gambar 3.11 menunjukkan hasil simulasi dari perubahan sudut buka (*opening angle*) *slot*., sedangkan parameter lainnya seperti panjang1 *slot* , lebar *slot*, letak dan panjang serta lebar saluran pencatu dibuat tetap



Gambar 3.11 Grafik *Return Loss* pada Iterasi *Opening Angle*

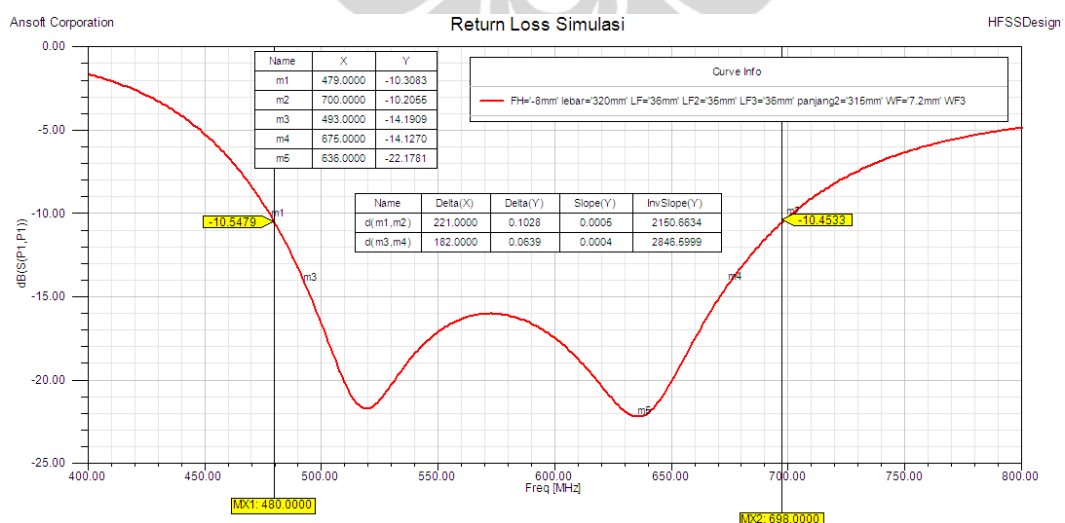
Berdasarkan hasil simulasi iterasi sudut buka (*opening angle*) *slot* dapat disimpulkan bahwa karakterisasi ini mempengaruhi *matching impedance* antena. Sedangkan frekuensi resonansi relatif tidak berubah.

3.10 Hasil Perancangan LTSA

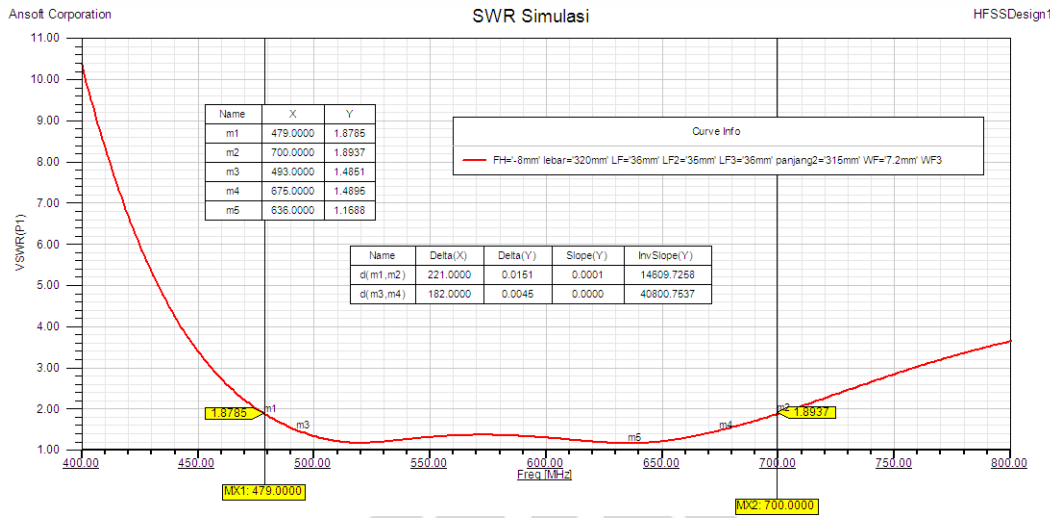
Pertama-tama dimensi panjang *slot* dikarakterisasi untuk mendapatkan range frekuensi resonan yang diinginkan kemudian pada dimensi panjang *slot* yang optimal tersebut dikarakterisasi lebar *slot*, panjang pencatu, lebar pencatu , dan letak pencatu,serta besarnya *opening angle slot*. Ukuran dari tiap parameter pada rancangan akhir LTSA ini diberikan pada Tabel 3.3 sedangkan data hasil simulasi karakterisasi dapat dilihat pada gambar 3.12.

Tabel 3.3 Dimensi Antena Hasil Akhir Simulasi LTSA

| Parameter | Ukuran (mm) |
|------------------------------|-------------|
| Panjang1 Slot (L1) | 33 mm |
| Panjang 2 Slot (L2) | 315 mm |
| Lebar Opening agle Slot (W2) | 50 mm |
| W1=W3 | 135 mm |
| Letak Feed dg sumbu X (FH) | -8 mm |
| Lebar Pencatu (WF) | 7.2 mm |
| Panjang Pencatu (LF) | 71 mm |
| Lebar Pencatu2 (WF) | 3 mm |
| Panjang Pencatu2 (LF) | 36 mm |
| Letak Feed dg sumbu Y (FV) | -36 mm |



Gambar 3.12 Grafik Return Loss Hasil Perancangan LTSA



Gambar 3.13 Grafik VSWR Hasil Perancangan LTSA

Berdasarkan gambar 3.12 dan gambar 3.13 perolehan frekuensi dengan return loss $\leq -10,16$ dB pada frekuensi 480 hingga 698 MHz sedangkan *impedance bandwidth* pada $VSWR \leq 1,9$ hasil simulasi adalah 479 hingga 698 MHz . Adapun *bandwidth* yang dicapai pada nilai $VSWR \leq 1,9$ adalah:

$$\text{bandwidth} = \frac{f_2 - f_1}{f_c} \times 100 \%$$

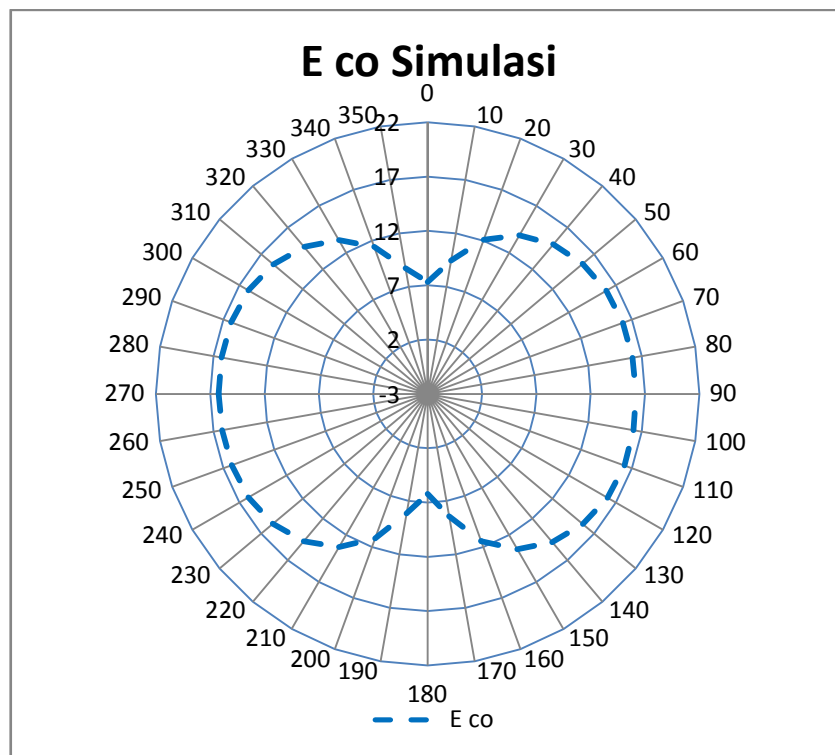
$$\text{bandwidth} = \frac{698 - 479}{588,5} \times 100 \%$$

$$\text{bandwidth} = 37,21\% (219 \text{ MHz})$$

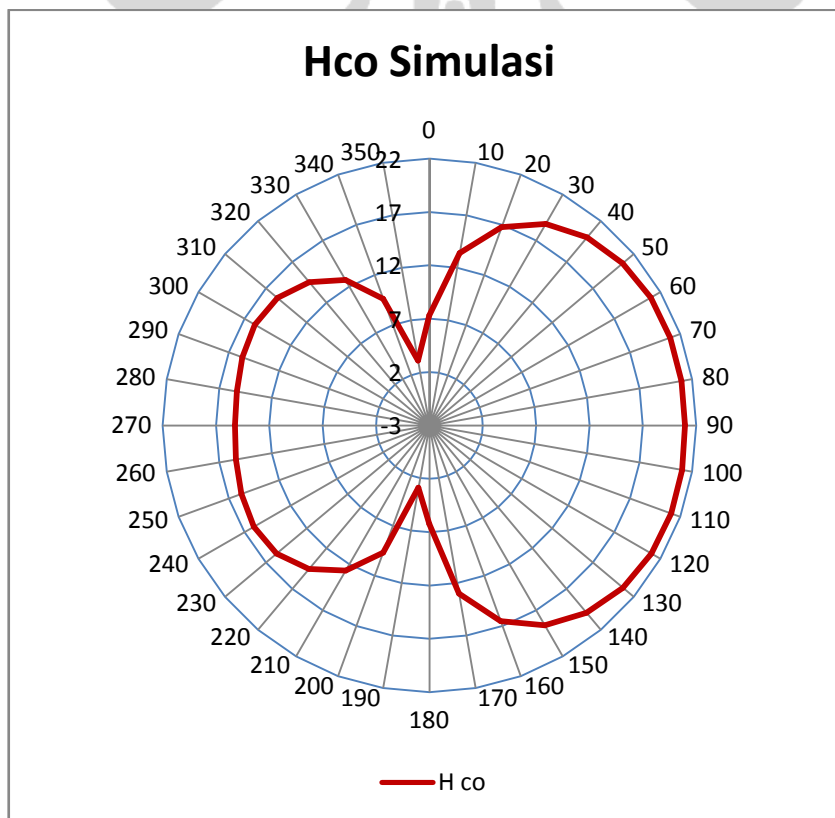
Kemudian rangkuman hasil simulasi ini seperti pada table 3.4, sedangkan hasil Eco dan Hco simulasi seperti pada gambar 2.14 dan 2.15

Tabel 3.4 Hasil Simulasi Perancangan LTSA

| Parameter | | Hasil Simulasi |
|---------------------|---------------------|-------------------------------------|
| VSWR $\leq 1,9$ | Range Frekuensi | 479-698 MHz |
| | Impedance Bandwidth | 37,21 % (219MHz) |
| 480 MHz | Return loss | -10,54 dB |
| | VSWR | 1,84 |
| 698 MHz | Return loss | -10,45 dB |
| | VSWR | 1,85 |
| Return loss minimum | | - 22,178 dB (pada frek 636 MHz) |
| VSWR minimum | | 1,169 frek 636 MHz |

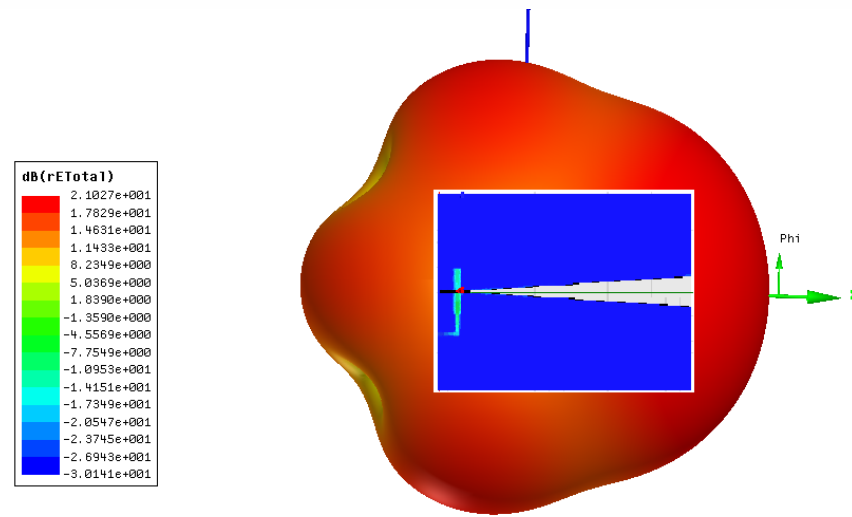


Gambar 2.14 Grafik Plot Hasil Simulasi Medan-E Antena LTSA



Gambar 3.15 Grafik Plot Hasil Simulasi Medan-H Antena LTSA

Gambar 3.16 memperlihatkan pola radiasi antena dalam tiga dimensi



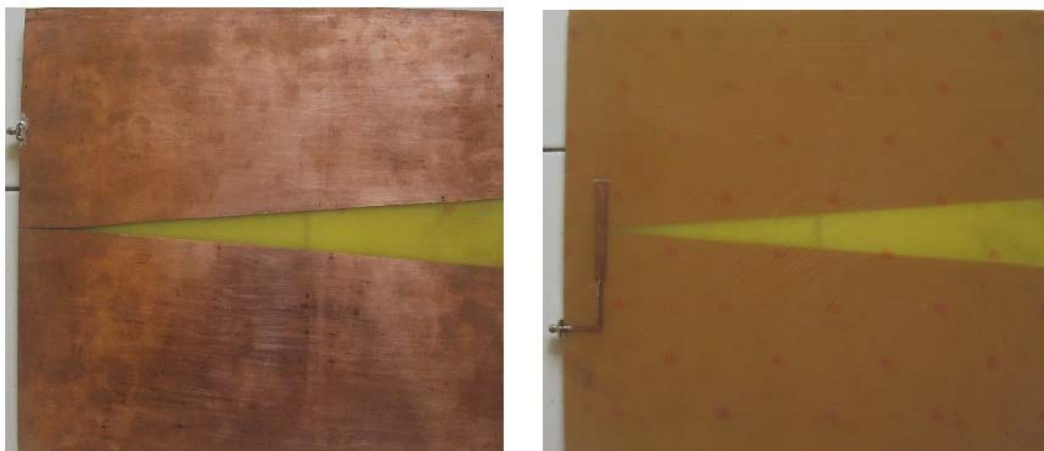
Gambar 3.16 Pola Radiasi Hasil Perancangan LTSA



BAB 4

HASIL PENGUKURAN DAN ANALISIS HASIL PENGUKURAN

Setelah desain antena selesai dibuat dan disimulasikan dengan menggunakan perangkat lunak *HFSS v.11*, antena kemudian difabrikasi. Hasil fabrikasi antena terlihat seperti pada Gambar 4.1. Setelah itu, antena hasil fabrikasi diukur pada ruang *anechoic chamber* (ruang anti gema). Ada 5 parameter antena yang diukur pada penelitian ini, yaitu *return loss*, VSWR, impedansi masukan, pola radiasi, dan *gain*. Kelima parameter tersebut dibagi ke dalam 3 kelompok pengukuran, yaitu pengukuran *port* tunggal (untuk mengukur *return loss*, VSWR, dan impedansi masukan), pengukuran *port* ganda (untuk mengukur pola radiasi), dan pengukuran *gain* dengan metoda 3 antena dan salah satu antena telah diketahui penguatannya.

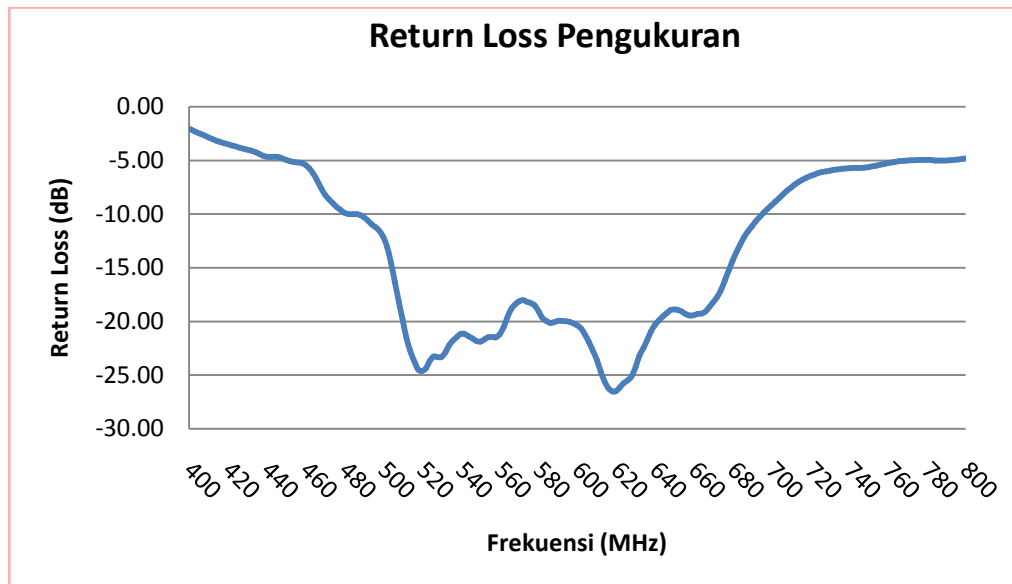


Gambar 4.1 Antena Hasil Fabrikasi

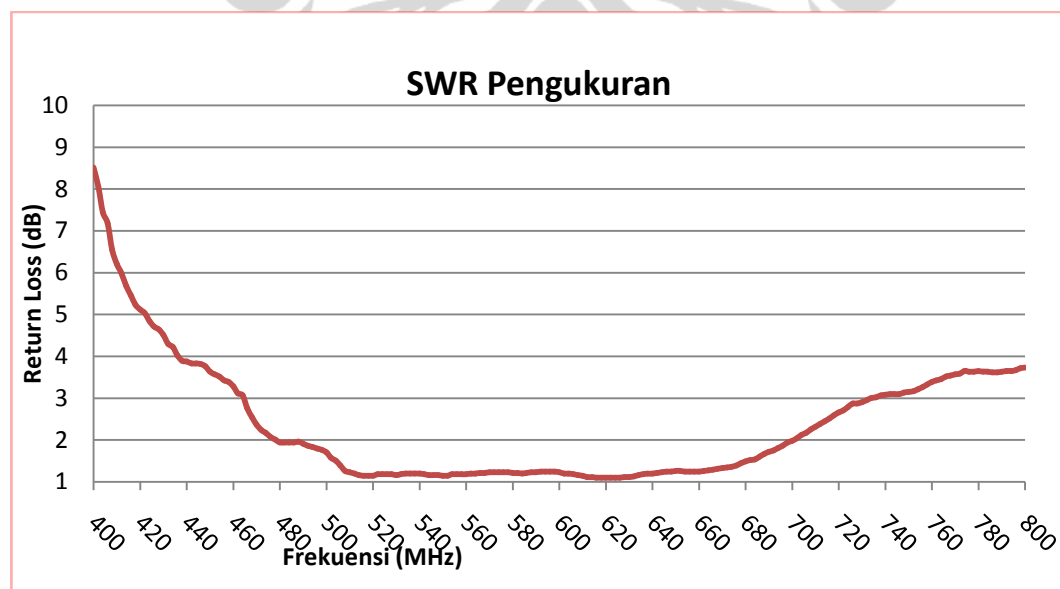
4.1 Pengukuran *Port* Tunggal

Pengukuran port tunggal hanya menggunakan antena yang diukur, tanpa melibatkan antena yang lain. Antena yang telah difabrikasi dapat diukur dengan menggunakan *Network Analyzer*. Antena dapat diukur dengan menggunakan format S_{11} atau S_{22} . Format S_{11} digunakan jika antena dipasang pada *port* 1, sedangkan format S_{22} digunakan jika antena dipasang pada *port* 2. Parameter-parameter yang dapat diketahui dari hasil pengukuran port tunggal antara lain VSWR, *return loss*, dan impedansi masukan.

Hasil pengukuran *port* tunggal berupa grafik *return loss*, VSWR, dan *Smith Chart* impedansi masukan dapat dilihat pada Gambar 4.2, 4.3, dan 4.4 secara berurutan.

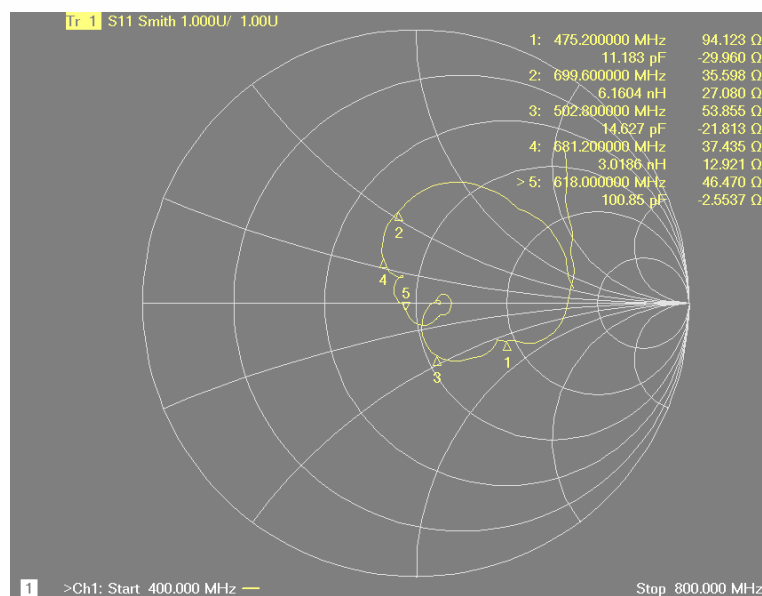


Gambar 4.2 Grafik *Return loss* Hasil Pengukuran Antena



Gambar 4.3 Grafik VSWR Hasil Pengukuran Antena

Gambar 4.2 dan Gambar 4.3 memperlihatkan *impedance bandwidth*. Dari gambar tersebut dapat terlihat bahwa pada nilai *Return loss* $\leq -10,16$ dB diperoleh pada frekuensi dari 492 MHz sampai 696 MHz. Nilai *return loss* terendah yang diperoleh adalah -27,67 dB pada frekuensi 618 MHz. Adapun nilai *VSWR* $\leq 1,9$ yang diperoleh pada frekuensi 490 MHz sampai 696 MHz dengan nilai *VSWR* terendah mencapai 1,085 pada frekuensi 618 MHz.



Gambar 4.4 Grafik Impedansi Masukan Hasil Pengukuran Antena Elemen Tunggal

Gambar 4.4 menunjukkan impedansi masukan antena pada rentang frekuensi 475 MHz – 699 MHz. Pada frekuensi 477, 699, 502, 681 dan 618 MHz, impedansi masukan yang terbaca pada *Smith Chart* berturut-turut adalah sebesar 94,12-29,96j Ω ; 35+27,80j Ω ; 53,85-21,813j Ω ; 37,43+12,92 j Ω ; 46,470-2,533j. Impedansi masukan terbaik berada pada frekuensi 618 MHz dengan nilai impedansi masukan 46,470-2,533j. Karena adanya fluktuasi tingkat *matching* antena yang terbaca pada *Network Analyzer* sehingga nilai *return loss*, *SWR* maupun impedansi masukan pada saat pengukuran tidak selalu sama.

Adapun *bandwidth* yang dicapai pada nilai *VSWR* $\leq 1,9$ adalah:

$$\text{bandwidth} = \frac{f_2 - f_1}{f_c} \times 100 \%$$

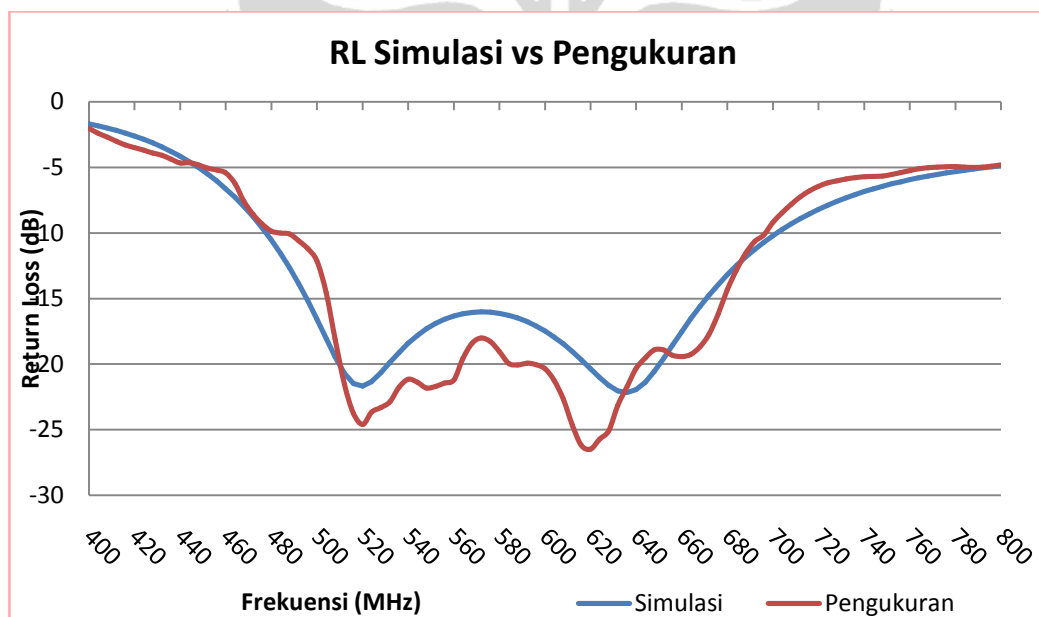
$$\text{bandwidth} = \frac{696 - 492}{594} \times 100 \%$$

$$\text{bandwidth} = 34,34\% (204 \text{ MHz})$$

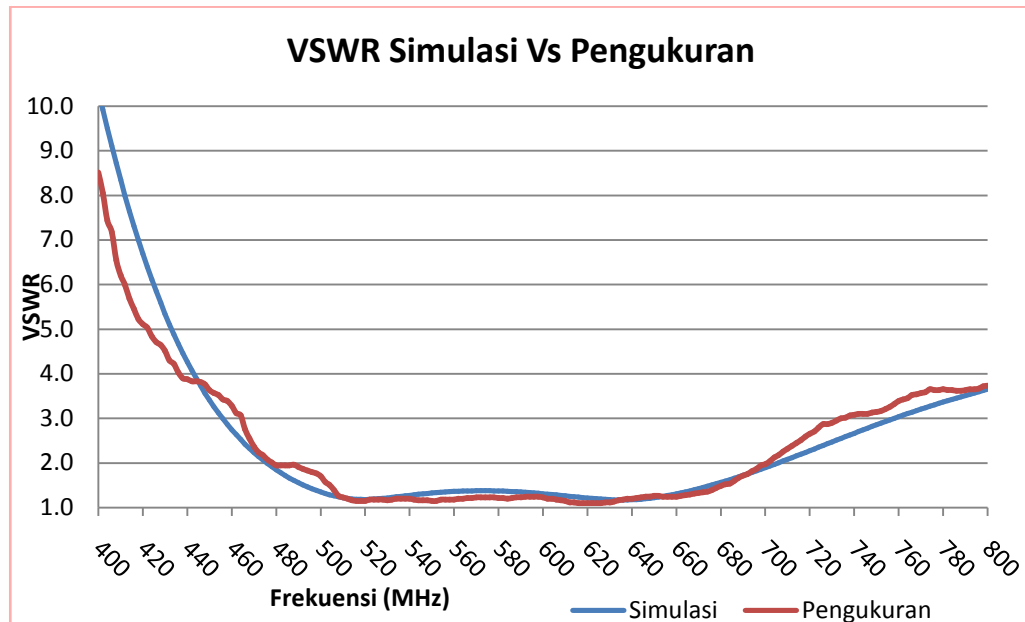
Hasil pengukuran *port* tunggal ini dituliskan kembali pada Tabel 4.1

Tabel 4.1 Hasil Pengukuran *Port* Tunggal

| Parameter | | Hasil Pengukuran |
|---------------------|---------------------|-------------------------|
| VSWR ≤ 1,9 | Range Frekuensi | 492-696 MHz |
| | Impedance Bandwidth | 34,63 % (204MHz) |
| 492 MHz | Return loss | -10,59 dB |
| | VSWR | 1,86 |
| 696 MHz | Return loss | -10,16 dB |
| | VSWR | 1,86 |
| Return loss minimum | | - 27,67 dB pada 618 MHz |
| VSWR minimum | | 1,085 pada 618 MHz |



Gambar 4.5 Perbandingan *Return loss* Hasil Simulasi Dengan Hasil Pengukuran Antena



Gambar 4.6 Perbandingan VSWR Hasil Simulasi Dengan Hasil Pengukuran Antena

Dari hasil pengukuran *port* tunggal antena terdapat 2 parameter yang dianalisis, yaitu parameter *return loss* dan VSWR. Gambar 4.5 dan 4.6 secara berurutan digambarkan grafik perbandingan *return loss* dan VSWR antara hasil simulasi dengan hasil pengukuran. Telah dipaparkan sebelumnya bahwa *Impedance bandwidth* pada $\text{VSWR} \leq 1,9$ hasil simulasi adalah 479 – 698 MHz (219MHz). Sedangkan *impedance bandwidth* pada $\text{VSWR} \leq 1,9$ hasil pengukuran adalah 492 - 696 MHz (204 MHz). Pada tabel 4.2 Perbandingan antara hasil simulasi dan hasil pengukuran.

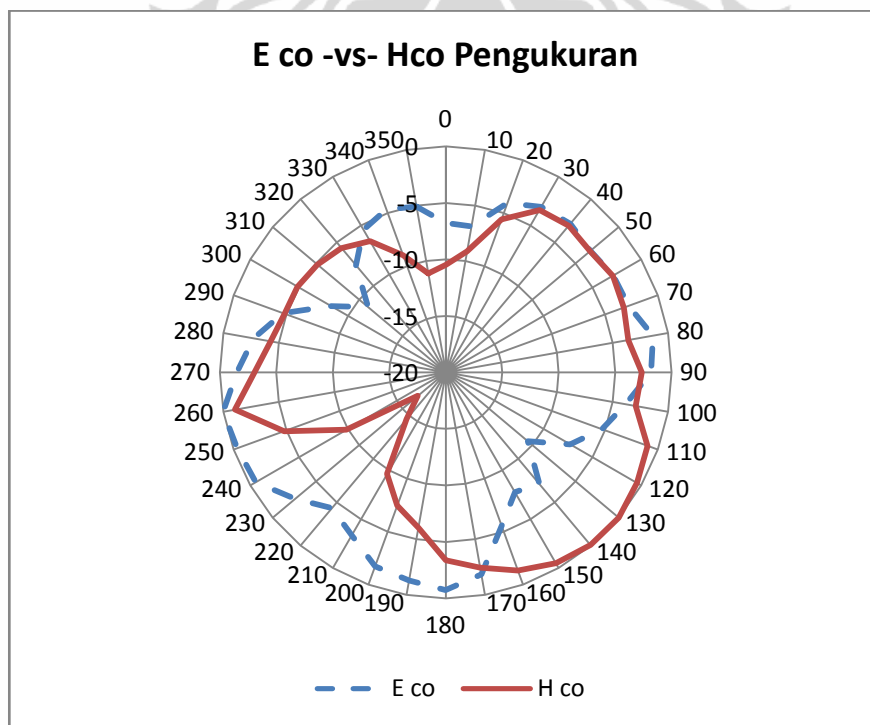
Tabel 4.2 Perbandingan Hasil Pengukuran dan Simulasi *Port* Tunggal

| Parameter | | Hasil Pengukuran | Hasil Simulasi |
|----------------------------|----------------------------|------------------------------------|-------------------------------------|
| $\text{VSWR} \leq 1,9$ | Range Frekuensi | 492-696 MHz | 479-698 MHz |
| | <i>Impedance Bandwidth</i> | 34,63 % (204MHz) | 37,21 % (219MHz) |
| 480 MHz | <i>Return loss</i> | -9,85 dB | -10,54 dB |
| | VSWR | 1,94 | 1,84 |
| 698 MHz | <i>Return loss</i> | -9,85 dB | -10,45 dB |
| | VSWR | 1,94 | 1,85 |
| <i>Return loss</i> minimum | | - 27,67 dB (pada frek 618 MHz) | - 22,178 dB (pada frek 636 MHz) |
| VSWR minimum | | 1,085 | 1,169 frek 636 MHz |

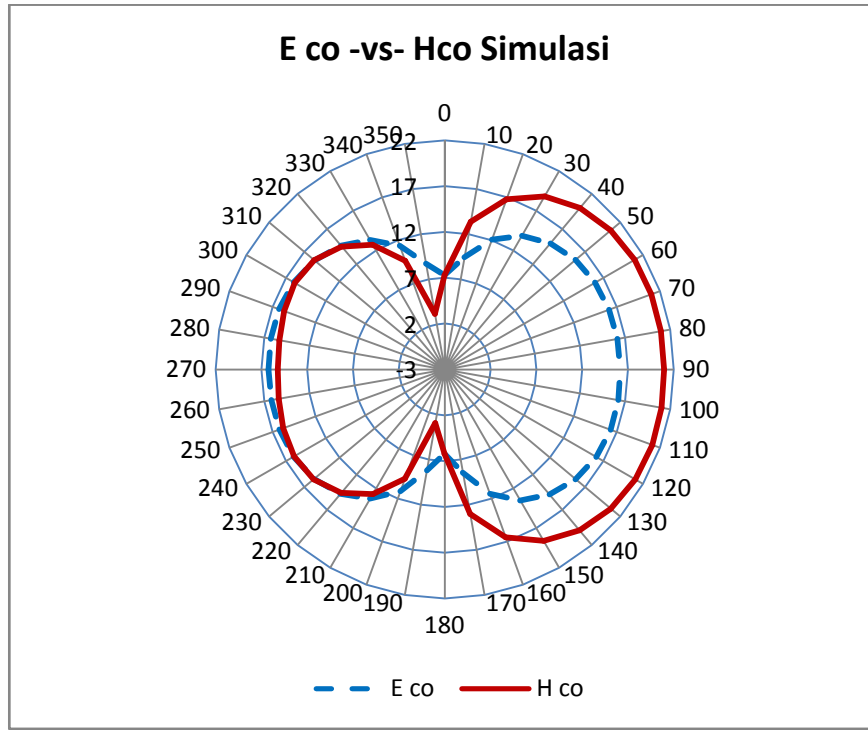
4.2 Pengukuran Pola Radiasi

Pengukuran pola radiasi menggunakan *port 1* dan *port 2* pada *Network Analyzer*. *Port 2* dihubungkan ke antena pemancar menggunakan kabel penyambung sedangkan *port 1* dihubungkan dengan antena penerima juga menggunakan kabel penyambung. Kabel penyambung yang digunakan di sini juga harus memiliki impedansi karakteristik 50 ohm, sehingga tidak terjadi refleksi tegangan pada kabel penyambung ini. Antena pemancar dan penerima dipisahkan pada jarak 200 cm,

Setelah menentukan jarak antar antena dan antena telah dihubungkan ke port *Network Analyzer* (format S12) menggunakan kabel koaksial, kemudian antena penerima diputar dari posisi sudut $0^\circ - 360^\circ$ dengan interval 10° . Pola radiasi diukur pada dua bidang yang saling tegak lurus yaitu bidang E dan bidang H untuk mendapatkan gambaran bentuk radiasi dalam ruang. Data hasil pengukuran pola radiasi antena mikrostrip *Linear Tapered Slot* dapat dilihat pada **Lampiran B.2 dan B.3**. Data yang telah dirata-ratakan tersebut kemudian dinormalisasikan terhadap nilai rata-rata yang maksimum. Hasil normalisasi selanjutnya di-plot ke dalam grafik *radar*. Pengolahan data ini dilakukan dengan menggunakan perangkat lunak *Microsoft Excel* 2007. Gambar 4.5 dan 4.6 memperlihatkan karakteristik pola radiasi antena *Linear Tapered Slot*.



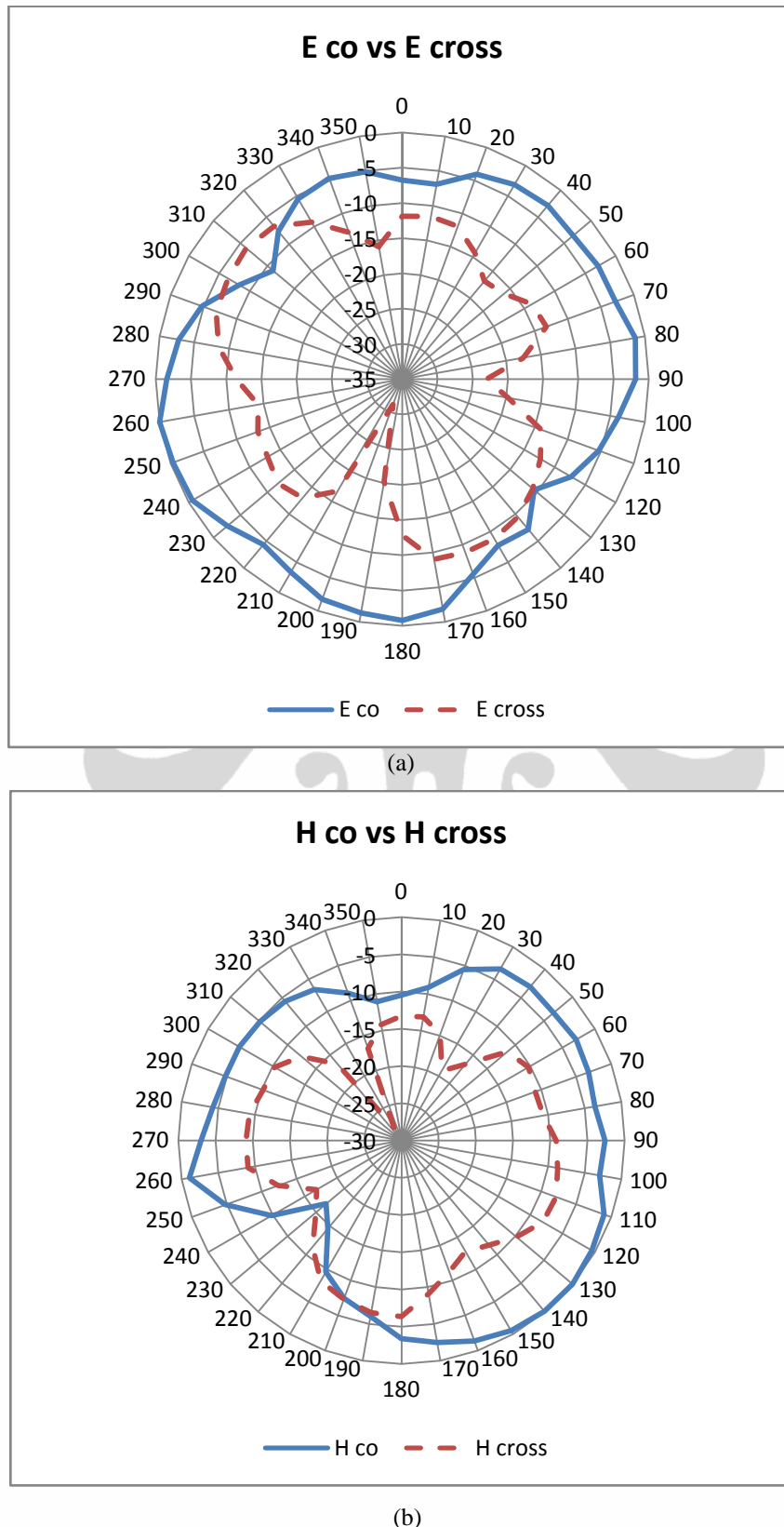
(a)



Gambar 4.7 Grafik Plot Medan-E Dan Medan-H Antena Pada Frekuensi 584 MHz
 (a) Hasil Pengukuran (b) Hasil Simulasi

Gambar 4.5 menunjukkan plot medan-E dan medan-H antena pada frekuensi 584 MHz. Gambar 4.5 (a) adalah plot medan-E dan medan-H hasil pengukuran, sedangkan Gambar 4.5 (b) adalah plot medan-E dan medan-H dari simulasi. Pola radiasi maksimum (*main lobe*) untuk medan-E tercapai pada sudut 260° sedangkan untuk medan-H pada sudut 130° yang ditandai dengan normalisasi sebesar 0. Hasil pengukuran dapat dilihat pada **Lampiran B.2** dan **B.3**.

Gambar 4.6 menunjukkan hasil pengukuran karakteristik *cross-polarization* antena pada frekuensi 584 MHz. Gambar 4.6 (a) adalah plot E-Co terhadap E-Cross, sedangkan Gambar 4.6 (b) adalah plot dari H-Co terhadap H-Cross. Dari kedua plot ini, akan ditentukan besarnya XPD (*Cross Polarization Discrimination*). XPD merupakan perbandingan antara radiasi maksimum *co-polar* dengan minimum *cross-polar*. Ketika antena menerima sinyal yang dikirimkan oleh antena lain pada medan yang saling tegak lurus, kekuatan sinyal efektif dikurangi oleh beberapa dB.



Gambar 4.8 Hasil Pengukuran Karakteristik Cross-Polarization Antena Pada Frekuensi 584 MHz
(a) E-co vs E-Cross (b) H-Co vs H-Cross

Untuk bidang E pada antena ini, medan E-Co memiliki magnitude maksimum sebesar -25,68 dB sedangkan pada *E-Crossnya* memiliki magnitude minimum sebesar -56,87 dB seperti terlihat pada **Lampiran B.2**. Berdasarkan data ini, maka diperoleh nilai XPD sebesar 31,18, dB. Untuk bidang H, medan H-Co memiliki magnitude maksimum sebesar -30,37 dB sedangkan pada *H-Cross* memiliki magnitude minimum sebesar -58,32 dB seperti terlihat pada **Lampiran B.3**. Berdasarkan data ini, maka diperoleh nilai XPD sebesar 27,19 dB.

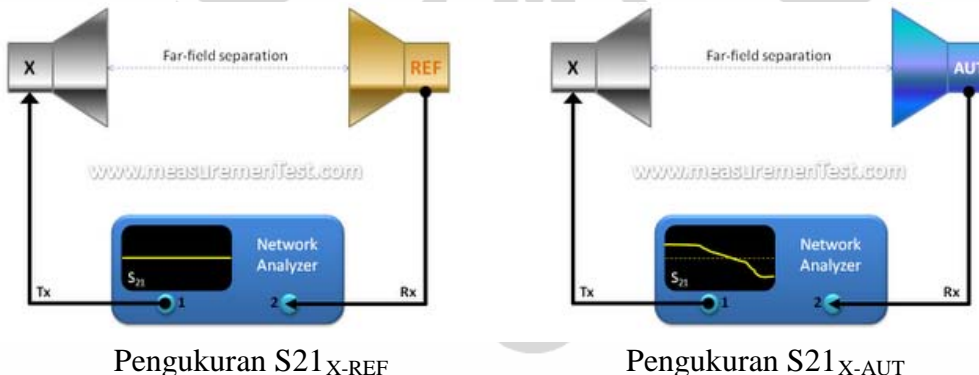
4.3 Pengukuran Gain

Pengukuran *gain* menggunakan *network analyzer* untuk menghasilkan gelombang dengan frekuensi 494 – 698 MHz serta untuk pengukuran S21 antena. Pengukuran *gain* menggunakan 3 antena yaitu :

Antena AUT = AUT (*Antenna Under Test*) yang akan dicari gainnya

Antena REF = Antenna referensi Dipole $\frac{1}{2} \lambda$ Gain 2,15 dB

Antena X = Antena bebas yang memiliki pola radiasi sama dengan AUT



Gambar 4.9 Metode Pengukuran gain antena

Besarnya penguatan dapat dirumuskan sebagai berikut:

$$G_{AUT} = G_{REF} + (S21_{X-AUT}) - (S21_{X-REF})$$

G_{REF} = Gain antena referensi

$S21_{X-AUT}$ = selisih S21 antena X dikurangi antena dengan S21 antena yang akan diukur penguatannya

$S21_{X-REF}$ = Selisih S21 antena X dikurangi antena dengan S21 antena yang akan diukur penguatannya

Hasil pengukuran dapat dilihat pada Tabel 4.3.

Tabel 4.3 Perolehan *Gain* Antena dari Data Pengukuran

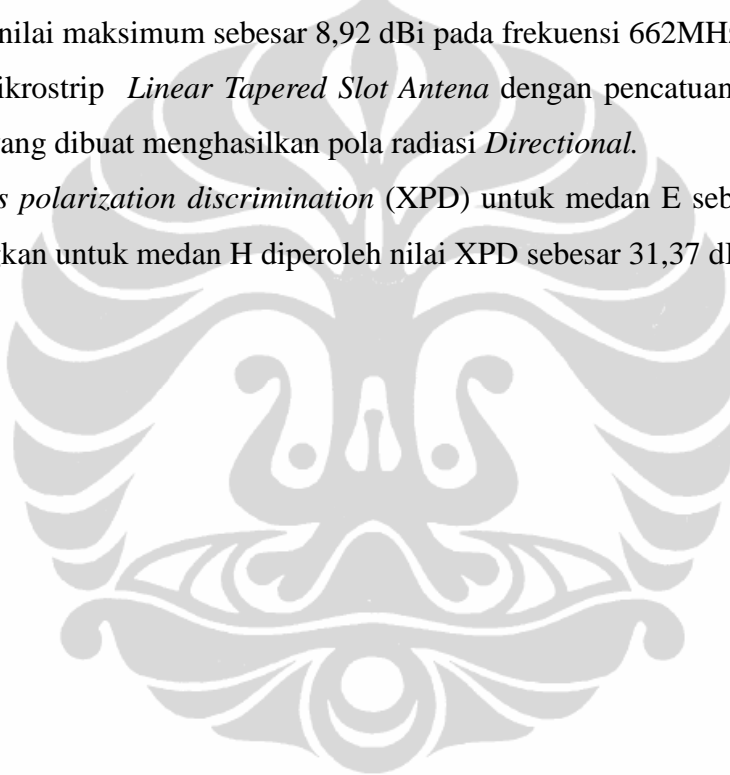
| Frek (MHz) | S21 (dB) | | (X-AUT)-(X-REF) (dBi) | Gain (dB) | |
|---------------------------|----------|---------|--------------------------|-----------|-------------|
| | X-REF | X-AUT | | REF | AUT |
| 494 | -27,912 | -24,273 | 3,639 | 2,15 | 5,79 |
| 500 | -27,939 | -24,245 | 3,694 | 2,15 | 5,84 |
| 506 | -27,961 | -24,317 | 3,644 | 2,15 | 5,79 |
| 512 | -27,993 | -24,211 | 3,782 | 2,15 | 5,93 |
| 518 | -28,026 | -24,361 | 3,665 | 2,15 | 5,81 |
| 524 | -28,047 | -24,383 | 3,664 | 2,15 | 5,81 |
| 530 | -28,074 | -24,405 | 3,669 | 2,15 | 5,82 |
| 536 | -28,401 | -24,427 | 3,974 | 2,15 | 6,12 |
| 542 | -28,128 | -24,449 | 3,679 | 2,15 | 5,83 |
| 548 | -28,155 | -24,471 | 3,684 | 2,15 | 5,83 |
| 554 | -28,182 | -24,493 | 3,689 | 2,15 | 5,84 |
| 560 | -28,309 | -24,415 | 3,894 | 2,15 | 6,04 |
| 566 | -28,236 | -24,517 | 3,719 | 2,15 | 5,87 |
| 572 | -28,263 | -24,559 | 3,704 | 2,15 | 5,85 |
| 578 | -28,295 | -24,581 | 3,714 | 2,15 | 5,86 |
| 584 | -28,317 | -24,603 | 3,714 | 2,15 | 5,86 |
| 590 | -28,344 | -24,725 | 3,619 | 2,15 | 5,77 |
| 596 | -28,371 | -24,647 | 3,724 | 2,15 | 5,87 |
| 602 | -28,398 | -24,659 | 3,739 | 2,15 | 5,89 |
| 608 | -28,425 | -24,691 | 3,734 | 2,15 | 5,88 |
| 614 | -28,452 | -24,713 | 3,739 | 2,15 | 5,89 |
| 620 | -28,875 | -24,632 | 4,243 | 2,15 | 6,39 |
| 626 | -28,472 | -24,592 | 3,88 | 2,15 | 6,03 |
| 632 | -28,745 | -24,713 | 4,032 | 2,15 | 6,18 |
| 638 | -29,385 | -24,643 | 4,742 | 2,15 | 6,89 |
| 644 | -29,914 | -24,415 | 5,499 | 2,15 | 7,65 |
| 650 | -30,282 | -24,472 | 5,81 | 2,15 | 7,96 |
| 656 | -31,421 | -24,658 | 6,763 | 2,15 | 8,91 |
| 662 | -31,832 | -25,047 | 6,785 | 2,15 | 8,94 |
| 668 | -31,352 | -25,668 | 5,684 | 2,15 | 7,83 |
| 674 | -30,695 | -26,173 | 4,522 | 2,15 | 6,67 |
| 680 | -30,745 | -26,656 | 4,089 | 2,15 | 6,24 |
| 686 | -30,732 | -26,815 | 3,917 | 2,15 | 6,07 |
| 692 | -31,655 | -27,376 | 4,279 | 2,15 | 6,43 |
| 698 | -31,634 | -27,745 | 3,889 | 2,15 | 6,04 |
| Penguatan Minimal | | | | | 5,77 |
| Penguatan Maksimal | | | | | 8,94 |

Dari Tabel 4.2 di atas terlihat bahwa nilai *gain* yang diperoleh antena LTSA pada range frekuensi 492 – 698 MHz sebesar 5,76 – 8,94 dBi dan mencapai nilai maksimum sebesar 8,94 dBi pada frekuensi 662 MHz.

BAB 5

KESIMPULAN

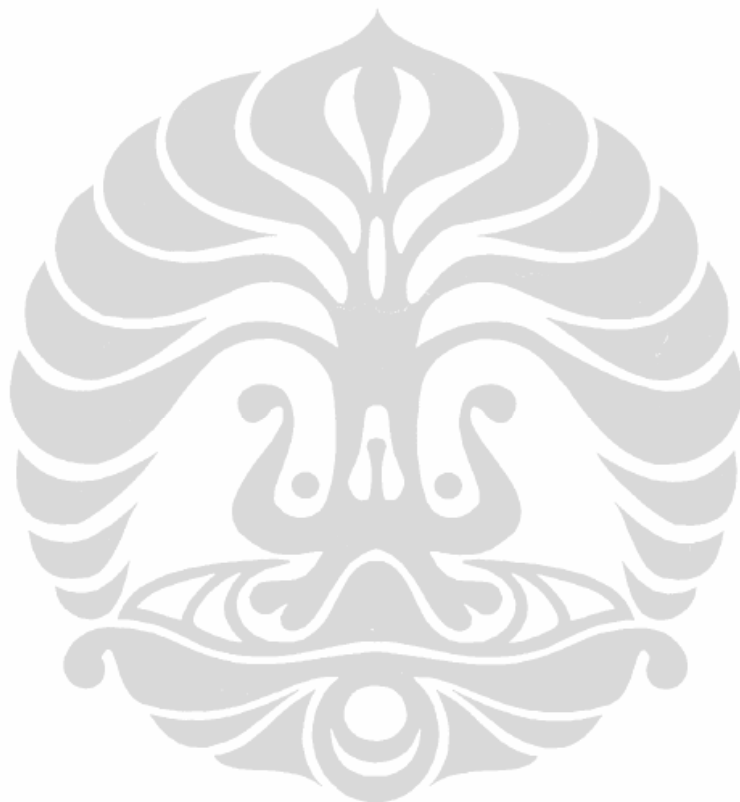
1. Antena mikrostrip *Linear Tapered Slot Antenna* dengan pencatuan *microstrip feed line* yang dibuat mampu bekerja pada range frekuensi 492 – 696MHz dengan *impedance bandwidth* pada $VSWR \leq 1,9$ sebesar 204 MHz (34,63%).
2. Gain yang didapat berdasarkan hasil pengukuran, nilai *gain Linear Tapered Slot Antenna* pada range frekuensi 492-696 MHz adalah 5,03-8,92 dBi dan mencapai nilai maksimum sebesar 8,92 dBi pada frekuensi 662MHz.
3. Antena mikrostrip *Linear Tapered Slot Antenna* dengan pencatuan *microstrip feed line* yang dibuat menghasilkan pola radiasi *Directional*.
4. Nilai *cross polarization discrimination* (XPD) untuk medan E sebesar ,27,17 dB sedangkan untuk medan H diperoleh nilai XPD sebesar 31,37 dB.



DAFTAR REFERENSI

- [1] U.S. FCC, ET Docket 04-186, “Notice of Proposed Rule Making, in the matter of Unlicensed Operation in the TV Broadcast Bands,” 25 Mei 2004.
- [2] U.S. FCC, ET Docket 08-260, “Second Report and Order and Memorandum Opinion and Order, in the Matter of Unlicensed Operation in the TV Broadcast Bands Additional Spectrum for Unlicensed Devices Below 900 MHz and in the 3 GHz Band,” 18 Oktober. , 2006.
- [3] Carl R. Stevenson, IEEE 802.22: The First Cognitive Radio Wireless Regional Area Network Standard”, IEEE Communication , Vol 47, no 1, Jan 2009.
- [4] Apurva N. Mody, Gerald Chouinard,”Enabling Rural Broadband Wireless Access Using Cognitive Radio Technology”, 20 Oktober 2010, <<http://www.ieee802.org/22>>
- [5] IEEE, Standard to Enhance Harmful Interference Protection for Low-Power Licensed Devices Operating in TV Broadcast Bands, 15 Nov 2010. <<http://www.ieee802.org/22>>
- [6] Garg, R., Bhartia, P, Bahl, I., dan Ittipiboon, A., “Microstrip Design Handbook”, Artech House Inc., Norwood, MA, 2001.
- [7] Yngvesson,K.S., Korzeniowski,T.L., Young Sik Kim, Kollberg, E.L., Johansson, J.F.,The Tapered Slot Antenna – A New Integrated Element for Millimeter-Wave Applications, IEEE Transactions on Antennas and Propagations, Vol 37,no 2, September 1989
- [8] K. S. Yngvesson, “Endfire tapered slot antennas on dielectric substrates”, IEEE Transactions on Antennas and Propagations., vol. 33, no. 12, pp. 1392–1400, Desember. 1985
- [9] Janaswamy,R.,Schaubert,DH., “Analysis of Tapered Slot Antenna “, IEEE Transactions on Antennas and Propagations, Vol 35,no 9, September 1987
- [10] Constantine A. Balanis, “Antenna Theory : Analysis and Design”, (USA: John Wiley and Sons,1997)
- [11] Stutzman, W.L., dan Gary, A.T., “Antenna Theory and Design”, 2nd edition, John Wiley & Sons, 1998.
- [12] Hirasawa, K. Dan Haneishi, M.,”Analisis, Design, and Measurement of small and Low Profile Antennas”, Artech House, Noorwood MA, 1992

- [13] A.s Abdallah,Liu Yuan,Y.E Mohammed, "Wide_Band Slot Microstrip Antena". IEEE 2004
- [14] Milligan, Thomas A," Modern antenna design 2nd edition", A JOHN WILEY & SONS, INC., PUBLICATION,2005
- [15] James J.R., Hall P.S., "Handbook of Microstrip Antenas", Vol. I and II,Peter Perginus. IEEE,1989
- [16] Davendra K.Misra, "Radio Frequecy and Microwave Comunication Circuit", Wiley Interscience, 2004





Tabel A.1. Hasil Simulasi n Return Loss & VSWR (1)

| Frek (Mhz) | Hasil Simulasi | |
|------------|----------------|--------|
| | Return Loss | VSWR |
| 400 | -1,684 | 10,351 |
| 402 | -1,757 | 9,921 |
| 404 | -1,834 | 9,507 |
| 406 | -1,915 | 9,106 |
| 408 | -2,001 | 8,721 |
| 410 | -2,091 | 8,349 |
| 412 | -2,185 | 7,991 |
| 414 | -2,285 | 7,646 |
| 416 | -2,390 | 7,315 |
| 418 | -2,500 | 6,997 |
| 420 | -2,616 | 6,691 |
| 422 | -2,738 | 6,398 |
| 424 | -2,866 | 6,117 |
| 426 | -3,000 | 5,847 |
| 428 | -3,142 | 5,589 |
| 430 | -3,291 | 5,342 |
| 432 | -3,447 | 5,106 |
| 434 | -3,611 | 4,880 |
| 436 | -3,783 | 4,664 |
| 438 | -3,964 | 4,458 |
| 440 | -4,154 | 4,261 |
| 442 | -4,353 | 4,074 |
| 444 | -4,562 | 3,895 |
| 446 | -4,781 | 3,725 |
| 448 | -5,011 | 3,563 |
| 450 | -5,251 | 3,408 |
| 452 | -5,503 | 3,261 |
| 454 | -5,768 | 3,122 |
| 456 | -6,044 | 2,989 |
| 458 | -6,334 | 2,863 |
| 460 | -6,637 | 2,744 |
| 462 | -6,954 | 2,630 |
| 464 | -7,286 | 2,523 |
| 466 | -7,633 | 2,421 |
| 468 | -7,995 | 2,324 |
| 470 | -8,375 | 2,233 |
| 472 | -8,772 | 2,146 |
| 474 | -9,187 | 2,064 |
| 476 | -9,620 | 1,987 |
| 478 | -10,074 | 1,914 |

Tabel A.1. Hasil Simulasi n Return Loss & VSWR (2)

| Frek (Mhz) | Hasil Simulasi | |
|------------|----------------|-------|
| | Return Loss | VSWR |
| 480 | -10,548 | 1,845 |
| 482 | -11,043 | 1,779 |
| 484 | -11,561 | 1,718 |
| 486 | -12,103 | 1,660 |
| 488 | -12,668 | 1,606 |
| 490 | -13,258 | 1,555 |
| 492 | -13,874 | 1,508 |
| 494 | -14,515 | 1,463 |
| 496 | -15,180 | 1,422 |
| 498 | -15,870 | 1,383 |
| 500 | -16,580 | 1,348 |
| 502 | -17,305 | 1,316 |
| 504 | -18,036 | 1,287 |
| 506 | -18,762 | 1,261 |
| 508 | -19,465 | 1,238 |
| 510 | -20,119 | 1,219 |
| 512 | -20,695 | 1,203 |
| 514 | -21,163 | 1,192 |
| 516 | -21,492 | 1,184 |
| 518 | -21,667 | 1,180 |
| 520 | -21,687 | 1,179 |
| 522 | -21,567 | 1,182 |
| 524 | -21,335 | 1,188 |
| 526 | -21,023 | 1,195 |
| 528 | -20,660 | 1,204 |
| 530 | -20,272 | 1,215 |
| 532 | -19,875 | 1,226 |
| 534 | -19,484 | 1,237 |
| 536 | -19,107 | 1,249 |
| 538 | -18,750 | 1,261 |
| 540 | -18,414 | 1,273 |
| 542 | -18,102 | 1,284 |
| 544 | -17,815 | 1,295 |
| 546 | -17,552 | 1,306 |
| 548 | -17,313 | 1,316 |
| 550 | -17,097 | 1,325 |
| 552 | -16,903 | 1,333 |
| 554 | -16,731 | 1,341 |
| 556 | -16,579 | 1,348 |
| 558 | -16,447 | 1,354 |

Tabel A.1. Hasil Simulasi n Return Loss & VSWR (3)

| Frek (Mhz) | Hasil Simulasi | |
|------------|----------------|-------|
| | Return Loss | VSWR |
| 560 | -16,335 | 1,360 |
| 562 | -16,240 | 1,365 |
| 564 | -16,164 | 1,368 |
| 566 | -16,104 | 1,371 |
| 568 | -16,062 | 1,374 |
| 570 | -16,035 | 1,375 |
| 572 | -16,025 | 1,375 |
| 574 | -16,030 | 1,375 |
| 576 | -16,050 | 1,374 |
| 578 | -16,086 | 1,372 |
| 580 | -16,136 | 1,370 |
| 582 | -16,202 | 1,366 |
| 584 | -16,283 | 1,362 |
| 586 | -16,378 | 1,358 |
| 588 | -16,489 | 1,352 |
| 590 | -16,615 | 1,346 |
| 592 | -16,756 | 1,340 |
| 594 | -16,913 | 1,333 |
| 596 | -17,085 | 1,325 |
| 598 | -17,273 | 1,317 |
| 600 | -17,478 | 1,309 |
| 602 | -17,699 | 1,300 |
| 604 | -17,936 | 1,291 |
| 606 | -18,189 | 1,281 |
| 608 | -18,458 | 1,271 |
| 610 | -18,744 | 1,261 |
| 612 | -19,044 | 1,251 |
| 614 | -19,358 | 1,241 |
| 616 | -19,684 | 1,231 |
| 618 | -20,018 | 1,222 |
| 620 | -20,357 | 1,212 |
| 622 | -20,696 | 1,203 |
| 624 | -21,026 | 1,195 |
| 626 | -21,338 | 1,188 |
| 628 | -21,621 | 1,181 |
| 630 | -21,861 | 1,176 |
| 632 | -22,043 | 1,172 |
| 634 | -22,152 | 1,169 |
| 636 | -22,178 | 1,169 |
| 638 | -22,112 | 1,170 |

Tabel A.1. Hasil Simulasi n Return Loss & VSWR (4)

| Frek (Mhz) | Hasil Simulasi | |
|------------|----------------|-------|
| | Return Loss | VSWR |
| 640 | -21,954 | 1,174 |
| 642 | -21,706 | 1,179 |
| 644 | -21,381 | 1,187 |
| 646 | -20,991 | 1,196 |
| 648 | -20,550 | 1,207 |
| 650 | -20,073 | 1,220 |
| 652 | -19,573 | 1,235 |
| 654 | -19,060 | 1,251 |
| 656 | -18,543 | 1,268 |
| 658 | -18,028 | 1,287 |
| 660 | -17,520 | 1,307 |
| 662 | -17,022 | 1,328 |
| 664 | -16,536 | 1,350 |
| 666 | -16,064 | 1,373 |
| 668 | -15,607 | 1,398 |
| 670 | -15,165 | 1,423 |
| 672 | -14,738 | 1,449 |
| 674 | -14,327 | 1,476 |
| 676 | -13,931 | 1,504 |
| 678 | -13,550 | 1,532 |
| 680 | -13,183 | 1,562 |
| 682 | -12,830 | 1,592 |
| 684 | -12,490 | 1,623 |
| 686 | -12,164 | 1,654 |
| 688 | -11,850 | 1,687 |
| 690 | -11,548 | 1,720 |
| 692 | -11,258 | 1,753 |
| 694 | -10,979 | 1,788 |
| 696 | -10,711 | 1,822 |
| 698 | -10,453 | 1,858 |
| 700 | -10,206 | 1,894 |
| 702 | -9,967 | 1,930 |
| 704 | -9,738 | 1,967 |
| 706 | -9,518 | 2,004 |
| 708 | -9,307 | 2,042 |
| 710 | -9,104 | 2,080 |
| 712 | -8,908 | 2,118 |
| 714 | -8,721 | 2,157 |
| 716 | -8,540 | 2,195 |
| 718 | -8,367 | 2,234 |

Tabel A.1. Hasil Simulasi n Return Loss & VSWR (5)

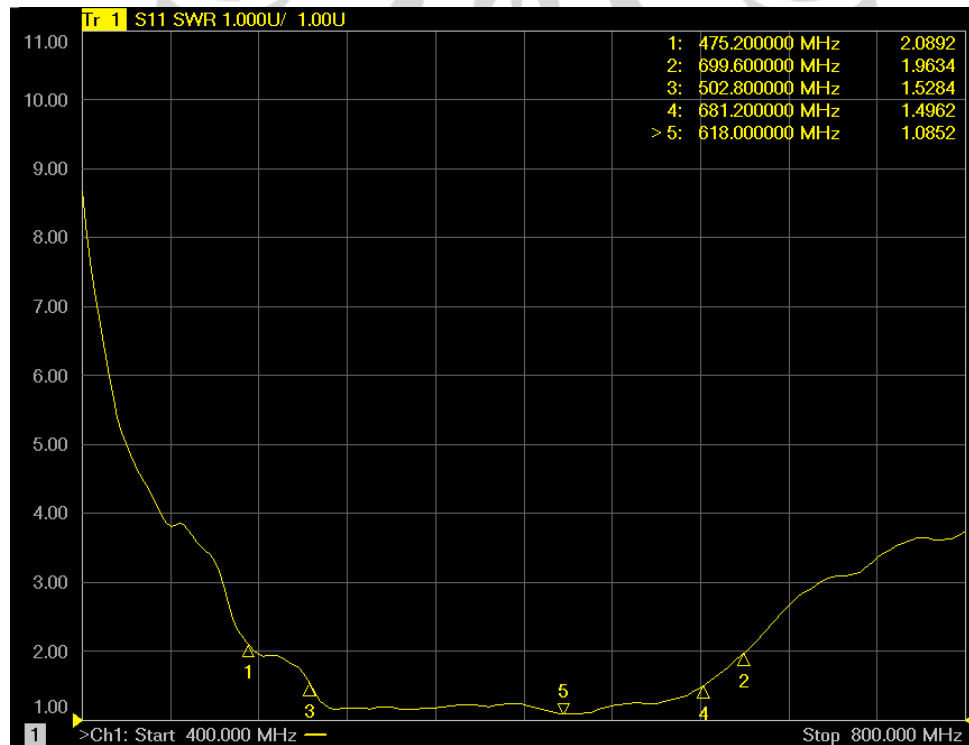
| Frek (Mhz) | Hasil Simulasi | |
|------------|----------------|-------|
| | Return Loss | VSWR |
| 720 | -8,200 | 2,274 |
| 722 | -8,040 | 2,313 |
| 724 | -7,886 | 2,352 |
| 726 | -7,738 | 2,391 |
| 728 | -7,596 | 2,431 |
| 730 | -7,460 | 2,470 |
| 732 | -7,328 | 2,509 |
| 734 | -7,202 | 2,549 |
| 736 | -7,081 | 2,588 |
| 738 | -6,965 | 2,626 |
| 740 | -6,853 | 2,665 |
| 742 | -6,745 | 2,704 |
| 744 | -6,642 | 2,742 |
| 746 | -6,543 | 2,780 |
| 748 | -6,447 | 2,817 |
| 750 | -6,355 | 2,854 |
| 752 | -6,267 | 2,891 |
| 754 | -6,182 | 2,928 |
| 756 | -6,100 | 2,964 |
| 758 | -6,021 | 3,000 |
| 760 | -5,945 | 3,035 |
| 762 | -5,873 | 3,070 |
| 764 | -5,802 | 3,104 |
| 766 | -5,735 | 3,139 |
| 768 | -5,669 | 3,172 |
| 770 | -5,606 | 3,205 |
| 772 | -5,546 | 3,238 |
| 774 | -5,487 | 3,270 |
| 776 | -5,431 | 3,302 |
| 778 | -5,376 | 3,334 |
| 780 | -5,324 | 3,365 |
| 782 | -5,273 | 3,395 |
| 784 | -5,224 | 3,425 |
| 786 | -5,176 | 3,455 |
| 788 | -5,130 | 3,484 |
| 790 | -5,086 | 3,513 |
| 792 | -5,043 | 3,541 |
| 794 | -5,001 | 3,569 |
| 796 | -4,961 | 3,596 |
| Minimum | -22,178 | 1,169 |



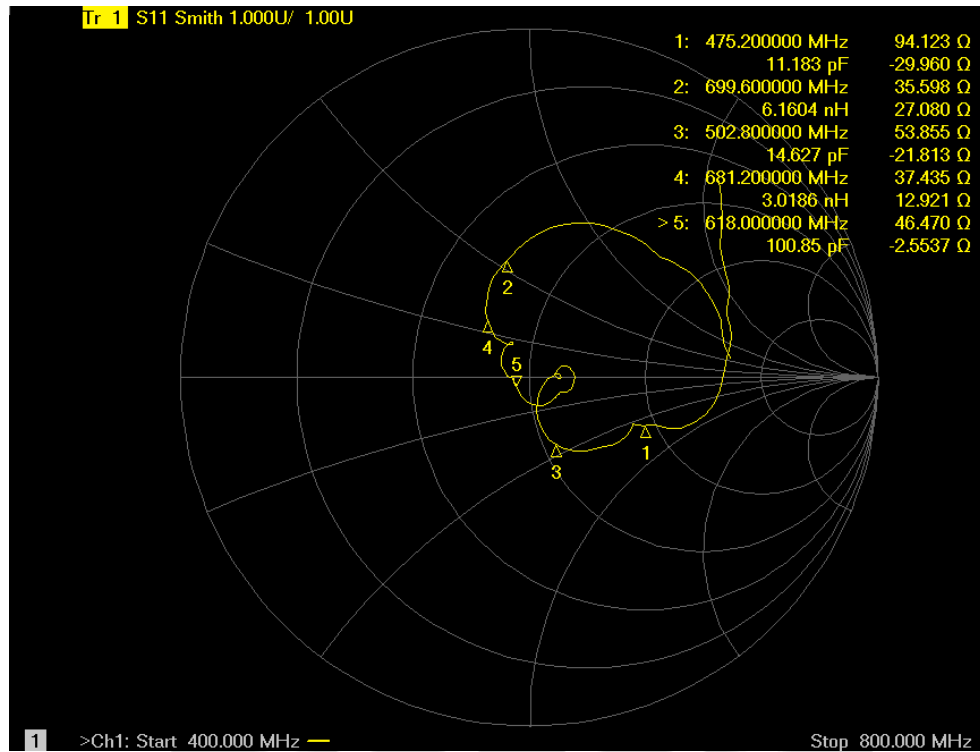
LAMPIRAN B
DATA HASIL PENGUKURAN



Gambar B.1 Tampilan *return loss* antena pada Network Analyzer



Gambar B.2 Tampilan VSWR antena pada Network Analyzer



Gambar B.3 Tampilan impedansi masukan antena pada Network Analyzer

Tabel B.1. Perbandingan Hasil Simulasi dan hasil Pengukuran Return Loss & VSWR (1)

| Frek (Mhz) | Return Loss | | Frek (Mhz) | VSWR | |
|------------|----------------|------------|------------|----------------|------------|
| | Hasil Simulasi | Hasil Ukur | | Hasil Simulasi | Hasil Ukur |
| 400 | -1,684 | -2,027 | 400 | 10,351 | 8,512 |
| 402 | -1,757 | -2,217 | 402 | 9,921 | 8,057 |
| 404 | -1,834 | -2,389 | 404 | 9,507 | 7,439 |
| 406 | -1,915 | -2,545 | 406 | 9,106 | 7,179 |
| 408 | -2,001 | -2,693 | 408 | 8,721 | 6,545 |
| 410 | -2,091 | -2,861 | 410 | 8,349 | 6,203 |
| 412 | -2,185 | -3,013 | 412 | 7,991 | 5,992 |
| 414 | -2,285 | -3,167 | 414 | 7,646 | 5,683 |
| 416 | -2,390 | -3,295 | 416 | 7,315 | 5,455 |
| 418 | -2,500 | -3,409 | 418 | 6,997 | 5,228 |
| 420 | -2,616 | -3,494 | 420 | 6,691 | 5,114 |
| 422 | -2,738 | -3,599 | 422 | 6,398 | 5,033 |
| 424 | -2,866 | -3,703 | 424 | 6,117 | 4,837 |
| 426 | -3,000 | -3,817 | 426 | 5,847 | 4,707 |
| 428 | -3,142 | -3,906 | 428 | 5,589 | 4,642 |
| 430 | -3,291 | -3,985 | 430 | 5,342 | 4,512 |
| 432 | -3,447 | -4,084 | 432 | 5,106 | 4,301 |
| 434 | -3,611 | -4,220 | 434 | 4,880 | 4,220 |
| 436 | -3,783 | -4,388 | 436 | 4,664 | 4,024 |
| 438 | -3,964 | -4,560 | 438 | 4,458 | 3,894 |
| 440 | -4,154 | -4,667 | 440 | 4,261 | 3,878 |
| 442 | -4,353 | -4,681 | 442 | 4,074 | 3,829 |
| 444 | -4,562 | -4,649 | 444 | 3,895 | 3,829 |
| 446 | -4,781 | -4,696 | 446 | 3,725 | 3,813 |
| 448 | -5,011 | -4,812 | 448 | 3,563 | 3,764 |
| 450 | -5,251 | -4,944 | 450 | 3,408 | 3,634 |
| 452 | -5,503 | -5,068 | 452 | 3,261 | 3,569 |
| 454 | -5,768 | -5,153 | 454 | 3,122 | 3,520 |
| 456 | -6,044 | -5,198 | 456 | 2,989 | 3,423 |
| 458 | -6,334 | -5,254 | 458 | 2,863 | 3,390 |
| 460 | -6,637 | -5,417 | 460 | 2,744 | 3,276 |
| 462 | -6,954 | -5,755 | 462 | 2,630 | 3,114 |
| 464 | -7,286 | -6,230 | 464 | 2,523 | 3,065 |
| 466 | -7,633 | -6,874 | 466 | 2,421 | 2,756 |
| 468 | -7,995 | -7,608 | 468 | 2,324 | 2,545 |
| 470 | -8,375 | -8,206 | 470 | 2,233 | 2,366 |
| 472 | -8,772 | -8,606 | 472 | 2,146 | 2,236 |
| 474 | -9,187 | -8,976 | 474 | 2,064 | 2,171 |
| 476 | -9,620 | -9,325 | 476 | 1,987 | 2,073 |
| 478 | -10,074 | -9,615 | 478 | 1,914 | 2,008 |

Tabel B.1. Perbandingan Hasil Simulasi dan hasil Pengukuran Return Loss & VSWR (2)

| Frek (Mhz) | Return Loss | | Frek (Mhz) | VSWR | |
|------------|----------------|------------|------------|----------------|------------|
| | Hasil Simulasi | Hasil Ukur | | Hasil Simulasi | Hasil Ukur |
| 480 | -10,548 | -9,857 | 480 | 1,845 | 1,943 |
| 482 | -11,043 | -10,001 | 482 | 1,779 | 1,943 |
| 484 | -11,561 | -10,010 | 484 | 1,718 | 1,943 |
| 486 | -12,103 | -10,087 | 486 | 1,660 | 1,943 |
| 488 | -12,668 | -10,087 | 488 | 1,606 | 1,959 |
| 490 | -13,258 | -10,278 | 490 | 1,555 | 1,911 |
| 492 | -13,874 | -10,591 | 492 | 1,508 | 1,862 |
| 494 | -14,515 | -10,945 | 494 | 1,463 | 1,829 |
| 496 | -15,180 | -11,211 | 496 | 1,422 | 1,797 |
| 498 | -15,870 | -11,542 | 498 | 1,383 | 1,764 |
| 500 | -16,580 | -12,145 | 500 | 1,348 | 1,699 |
| 502 | -17,305 | -13,098 | 502 | 1,316 | 1,569 |
| 504 | -18,036 | -14,562 | 504 | 1,287 | 1,504 |
| 506 | -18,762 | -16,341 | 506 | 1,261 | 1,390 |
| 508 | -19,465 | -18,122 | 508 | 1,238 | 1,260 |
| 510 | -20,119 | -19,826 | 510 | 1,219 | 1,228 |
| 512 | -20,695 | -21,538 | 512 | 1,203 | 1,195 |
| 514 | -21,163 | -22,756 | 514 | 1,192 | 1,163 |
| 516 | -21,492 | -23,744 | 516 | 1,184 | 1,146 |
| 518 | -21,667 | -24,475 | 518 | 1,180 | 1,146 |
| 520 | -21,687 | -24,597 | 520 | 1,179 | 1,146 |
| 522 | -21,567 | -24,361 | 522 | 1,182 | 1,179 |
| 524 | -21,335 | -23,663 | 524 | 1,188 | 1,179 |
| 526 | -21,023 | -23,270 | 526 | 1,195 | 1,179 |
| 528 | -20,660 | -23,314 | 528 | 1,204 | 1,179 |
| 530 | -20,272 | -23,318 | 530 | 1,215 | 1,163 |
| 532 | -19,875 | -22,874 | 532 | 1,226 | 1,179 |
| 534 | -19,484 | -22,181 | 534 | 1,237 | 1,195 |
| 536 | -19,107 | -21,757 | 536 | 1,249 | 1,195 |
| 538 | -18,750 | -21,425 | 538 | 1,261 | 1,195 |
| 540 | -18,414 | -21,156 | 540 | 1,273 | 1,195 |
| 542 | -18,102 | -21,159 | 542 | 1,284 | 1,179 |
| 544 | -17,815 | -21,389 | 544 | 1,295 | 1,163 |
| 546 | -17,552 | -21,582 | 546 | 1,306 | 1,163 |
| 548 | -17,313 | -21,820 | 548 | 1,316 | 1,163 |
| 550 | -17,097 | -21,876 | 550 | 1,325 | 1,146 |
| 552 | -16,903 | -21,691 | 552 | 1,333 | 1,146 |
| 554 | -16,731 | -21,469 | 554 | 1,341 | 1,179 |
| 556 | -16,579 | -21,440 | 556 | 1,348 | 1,179 |
| 558 | -16,447 | -21,481 | 558 | 1,354 | 1,179 |

Tabel B.1. Perbandingan Hasil Simulasi dan hasil Pengukuran Return Loss & VSWR (3)

| Frek (Mhz) | Return Loss | | Frek (Mhz) | VSWR | |
|------------|----------------|------------|------------|----------------|------------|
| | Hasil Simulasi | Hasil Ukur | | Hasil Simulasi | Hasil Ukur |
| 560 | -16,335 | -21,204 | 560 | 1,360 | 1,179 |
| 562 | -16,240 | -20,505 | 562 | 1,365 | 1,195 |
| 564 | -16,164 | -19,571 | 564 | 1,368 | 1,195 |
| 566 | -16,104 | -18,824 | 566 | 1,371 | 1,211 |
| 568 | -16,062 | -18,408 | 568 | 1,374 | 1,211 |
| 570 | -16,035 | -18,135 | 570 | 1,375 | 1,228 |
| 572 | -16,025 | -18,014 | 572 | 1,375 | 1,228 |
| 574 | -16,030 | -18,150 | 574 | 1,375 | 1,228 |
| 576 | -16,050 | -18,291 | 576 | 1,374 | 1,228 |
| 578 | -16,086 | -18,515 | 578 | 1,372 | 1,228 |
| 580 | -16,136 | -19,044 | 580 | 1,370 | 1,211 |
| 582 | -16,202 | -19,678 | 582 | 1,366 | 1,211 |
| 584 | -16,283 | -19,952 | 584 | 1,362 | 1,195 |
| 586 | -16,378 | -20,138 | 586 | 1,358 | 1,211 |
| 588 | -16,489 | -20,068 | 588 | 1,352 | 1,228 |
| 590 | -16,615 | -19,940 | 590 | 1,346 | 1,228 |
| 592 | -16,756 | -19,937 | 592 | 1,340 | 1,244 |
| 594 | -16,913 | -19,979 | 594 | 1,333 | 1,244 |
| 596 | -17,085 | -20,049 | 596 | 1,325 | 1,244 |
| 598 | -17,273 | -20,186 | 598 | 1,317 | 1,244 |
| 600 | -17,478 | -20,358 | 600 | 1,309 | 1,228 |
| 602 | -17,699 | -20,652 | 602 | 1,300 | 1,195 |
| 604 | -17,936 | -21,240 | 604 | 1,291 | 1,195 |
| 606 | -18,189 | -21,906 | 606 | 1,281 | 1,179 |
| 608 | -18,458 | -22,688 | 608 | 1,271 | 1,163 |
| 610 | -18,744 | -23,600 | 610 | 1,261 | 1,146 |
| 612 | -19,044 | -24,651 | 612 | 1,251 | 1,114 |
| 614 | -19,358 | -25,570 | 614 | 1,241 | 1,114 |
| 616 | -19,684 | -26,204 | 616 | 1,231 | 1,098 |
| 618 | -20,018 | -26,505 | 618 | 1,222 | 1,098 |
| 620 | -20,357 | -26,489 | 620 | 1,212 | 1,098 |
| 622 | -20,696 | -26,107 | 622 | 1,203 | 1,098 |
| 624 | -21,026 | -25,726 | 624 | 1,195 | 1,098 |
| 626 | -21,338 | -25,463 | 626 | 1,188 | 1,098 |
| 628 | -21,621 | -25,082 | 628 | 1,181 | 1,114 |
| 630 | -21,861 | -24,254 | 630 | 1,176 | 1,114 |
| 632 | -22,043 | -23,155 | 632 | 1,172 | 1,130 |
| 634 | -22,152 | -22,501 | 634 | 1,169 | 1,163 |
| 636 | -22,178 | -21,734 | 636 | 1,169 | 1,179 |
| 638 | -22,112 | -20,927 | 638 | 1,170 | 1,195 |

Tabel B.1. Perbandingan Hasil Simulasi dan hasil Pengukuran Return Loss & VSWR (4)

| Frek (Mhz) | Return Loss | | Frek (Mhz) | VSWR | |
|------------|----------------|------------|------------|----------------|------------|
| | Hasil Simulasi | Hasil Ukur | | Hasil Simulasi | Hasil Ukur |
| 640 | -21,954 | -20,347 | 640 | 1,174 | 1,195 |
| 642 | -21,706 | -19,903 | 642 | 1,179 | 1,211 |
| 644 | -21,381 | -19,526 | 644 | 1,187 | 1,228 |
| 646 | -20,991 | -19,222 | 646 | 1,196 | 1,244 |
| 648 | -20,550 | -18,923 | 648 | 1,207 | 1,244 |
| 650 | -20,073 | -18,877 | 650 | 1,220 | 1,260 |
| 652 | -19,573 | -18,931 | 652 | 1,235 | 1,260 |
| 654 | -19,060 | -19,084 | 654 | 1,251 | 1,244 |
| 656 | -18,543 | -19,325 | 656 | 1,268 | 1,244 |
| 658 | -18,028 | -19,442 | 658 | 1,287 | 1,244 |
| 660 | -17,520 | -19,423 | 660 | 1,307 | 1,244 |
| 662 | -17,022 | -19,302 | 662 | 1,328 | 1,260 |
| 664 | -16,536 | -19,255 | 664 | 1,350 | 1,276 |
| 666 | -16,064 | -19,091 | 666 | 1,373 | 1,293 |
| 668 | -15,607 | -18,680 | 668 | 1,398 | 1,309 |
| 670 | -15,165 | -18,220 | 670 | 1,423 | 1,325 |
| 672 | -14,738 | -17,726 | 672 | 1,449 | 1,341 |
| 674 | -14,327 | -17,052 | 674 | 1,476 | 1,358 |
| 676 | -13,931 | -16,162 | 676 | 1,504 | 1,390 |
| 678 | -13,550 | -15,244 | 678 | 1,532 | 1,439 |
| 680 | -13,183 | -14,342 | 680 | 1,562 | 1,488 |
| 682 | -12,830 | -13,542 | 682 | 1,592 | 1,520 |
| 684 | -12,490 | -12,809 | 684 | 1,623 | 1,537 |
| 686 | -12,164 | -12,149 | 686 | 1,654 | 1,602 |
| 688 | -11,850 | -11,585 | 688 | 1,687 | 1,667 |
| 690 | -11,548 | -11,114 | 690 | 1,720 | 1,715 |
| 692 | -11,258 | -10,657 | 692 | 1,753 | 1,748 |
| 694 | -10,979 | -10,245 | 694 | 1,788 | 1,813 |
| 696 | -10,711 | -10,165 | 696 | 1,822 | 1,862 |
| 698 | -10,453 | -9,514 | 698 | 1,858 | 1,943 |
| 700 | -10,206 | -9,195 | 700 | 1,894 | 1,976 |
| 702 | -9,967 | -8,850 | 702 | 1,930 | 2,041 |
| 704 | -9,738 | -8,486 | 704 | 1,967 | 2,122 |
| 706 | -9,518 | -8,142 | 706 | 2,004 | 2,171 |
| 708 | -9,307 | -7,819 | 708 | 2,042 | 2,252 |
| 710 | -9,104 | -7,531 | 710 | 2,080 | 2,317 |
| 712 | -8,908 | -7,260 | 712 | 2,118 | 2,382 |
| 714 | -8,721 | -7,016 | 714 | 2,157 | 2,447 |
| 716 | -8,540 | -6,801 | 716 | 2,195 | 2,512 |
| 718 | -8,367 | -6,624 | 718 | 2,234 | 2,593 |

Tabel B.1. Perbandingan Hasil Simulasi dan hasil Pengukuran Return Loss & VSWR (5)

| Frek (Mhz) | Return Loss | | Frek (Mhz) | VSWR | |
|------------|----------------|------------|------------|----------------|------------|
| | Hasil Simulasi | Hasil Ukur | | Hasil Simulasi | Hasil Ukur |
| 720 | -8,200 | -6,450 | 720 | 2,274 | 2,659 |
| 722 | -8,040 | -6,311 | 722 | 2,313 | 2,707 |
| 724 | -7,886 | -6,189 | 724 | 2,352 | 2,789 |
| 726 | -7,738 | -6,099 | 726 | 2,391 | 2,870 |
| 728 | -7,596 | -6,034 | 728 | 2,431 | 2,870 |
| 730 | -7,460 | -5,960 | 730 | 2,470 | 2,902 |
| 732 | -7,328 | -5,883 | 732 | 2,509 | 2,951 |
| 734 | -7,202 | -5,832 | 734 | 2,549 | 3,000 |
| 736 | -7,081 | -5,783 | 736 | 2,588 | 3,016 |
| 738 | -6,965 | -5,742 | 738 | 2,626 | 3,065 |
| 740 | -6,853 | -5,725 | 740 | 2,665 | 3,081 |
| 742 | -6,745 | -5,710 | 742 | 2,704 | 3,098 |
| 744 | -6,642 | -5,699 | 744 | 2,742 | 3,098 |
| 746 | -6,543 | -5,699 | 746 | 2,780 | 3,098 |
| 748 | -6,447 | -5,673 | 748 | 2,817 | 3,130 |
| 750 | -6,355 | -5,624 | 750 | 2,854 | 3,146 |
| 752 | -6,267 | -5,558 | 752 | 2,891 | 3,163 |
| 754 | -6,182 | -5,479 | 754 | 2,928 | 3,211 |
| 756 | -6,100 | -5,413 | 756 | 2,964 | 3,260 |
| 758 | -6,021 | -5,339 | 758 | 3,000 | 3,325 |
| 760 | -5,945 | -5,249 | 760 | 3,035 | 3,390 |
| 762 | -5,873 | -5,178 | 762 | 3,070 | 3,423 |
| 764 | -5,802 | -5,120 | 764 | 3,104 | 3,455 |
| 766 | -5,735 | -5,072 | 766 | 3,139 | 3,520 |
| 768 | -5,669 | -5,032 | 768 | 3,172 | 3,537 |
| 770 | -5,606 | -5,010 | 770 | 3,205 | 3,569 |
| 772 | -5,546 | -4,989 | 772 | 3,238 | 3,585 |
| 774 | -5,487 | -4,967 | 774 | 3,270 | 3,650 |
| 776 | -5,431 | -4,956 | 776 | 3,302 | 3,634 |
| 778 | -5,376 | -4,941 | 778 | 3,334 | 3,634 |
| 780 | -5,324 | -4,940 | 780 | 3,365 | 3,650 |
| 782 | -5,273 | -4,956 | 782 | 3,395 | 3,634 |
| 784 | -5,224 | -4,996 | 784 | 3,425 | 3,634 |
| 786 | -5,176 | -5,017 | 786 | 3,455 | 3,618 |
| 788 | -5,130 | -5,023 | 788 | 3,484 | 3,618 |
| 790 | -5,086 | -5,020 | 790 | 3,513 | 3,634 |
| 792 | -5,043 | -4,995 | 792 | 3,541 | 3,650 |
| 794 | -5,001 | -4,957 | 794 | 3,569 | 3,650 |
| 796 | -4,961 | -4,912 | 796 | 3,596 | 3,667 |
| Minimum | -22,178 | -26,505 | Minimum | 1,169 | 1,098 |

Tabel B.2. Hasil Pengukuran Intensitas Daya Relatif Antena Untuk **Bidang E**

| Sudut | E co | | E Cross | |
|----------|---------|-------------|---------|-------------|
| | E db | E normalize | E db | E normalize |
| 0 | -32.446 | -6.763 | -37.553 | -5.808 |
| 10 | -32.571 | -6.888 | -37.255 | -5.51 |
| 20 | -29.733 | -4.05 | -37.606 | -5.861 |
| 30 | -28.777 | -3.094 | -39.986 | -8.241 |
| 40 | -28.514 | -2.831 | -42.492 | -10.747 |
| 50 | -28.966 | -3.283 | -41.815 | -10.07 |
| 60 | -28.556 | -2.873 | -39.349 | -7.604 |
| 70 | -28.447 | -2.764 | -38.879 | -7.134 |
| 80 | -27.063 | -1.38 | -43.227 | -11.482 |
| 90 | -27.515 | -1.832 | -48.711 | -16.966 |
| 100 | -29.506 | -3.823 | -45.388 | -13.643 |
| 110 | -30.987 | -5.304 | -39.656 | -7.911 |
| 120 | -32.971 | -7.288 | -38.025 | -6.28 |
| 130 | -36.212 | -10.529 | -36.453 | -4.708 |
| 140 | -32.81 | -7.127 | -35.148 | -3.403 |
| 150 | -33.446 | -7.763 | -34.54 | -2.795 |
| 160 | -31.223 | -5.54 | -34.502 | -2.757 |
| 170 | -27.535 | -1.852 | -34.73 | -2.985 |
| 180 | -26.433 | -0.75 | -38.541 | -6.796 |
| 190 | -26.995 | -1.312 | -45.874 | -14.129 |
| 200 | -27.434 | -1.751 | -56.874 | -25.129 |
| 210 | -29.053 | -3.37 | -42.339 | -10.594 |
| 220 | -30.02 | -4.337 | -38.668 | -6.923 |
| 230 | -28.283 | -2.6 | -37.668 | -5.923 |
| 240 | -26.261 | -0.578 | -38.601 | -6.856 |
| 250 | -26.041 | -0.358 | -38.874 | -7.129 |
| 260 | -25.683 | 0 | -39.887 | -8.142 |
| 270 | -27.218 | -1.535 | -37.111 | -5.366 |
| 280 | -28.411 | -2.728 | -34.199 | -2.454 |
| 290 | -30.373 | -4.69 | -32.558 | -0.813 |
| 300 | -33.933 | -8.25 | -32.115 | -0.37 |
| 310 | -36.704 | -11.021 | -31.745 | 0 |
| 320 | -33.313 | -7.63 | -32.341 | -0.596 |
| 330 | -31.115 | -5.432 | -34.96 | -3.215 |
| 340 | -30.323 | -4.64 | -38.491 | -6.746 |
| 350 | -30.787 | -5.104 | -41.577 | -9.832 |
| Maksimum | -25.683 | | -31.745 | |
| Minimum | -36.704 | | -56.874 | |

Tabel B.3. Hasil Pengukuran Intensitas Daya Relatif Antena Untuk **Bidang H**

| Sudut | H co | | H Cross | |
|----------|---------|-------------|---------|-------------|
| | H db | H normalize | H db | H normalize |
| 0 | -40.856 | -10.479 | -43.645 | -6.903 |
| 10 | -39.491 | -9.114 | -43.511 | -6.769 |
| 20 | -35.941 | -5.564 | -45.175 | -8.433 |
| 30 | -33.775 | -3.398 | -49.554 | -12.812 |
| 40 | -33.411 | -3.034 | -47.017 | -10.275 |
| 50 | -33.697 | -3.32 | -41.83 | -5.088 |
| 60 | -33.287 | -2.91 | -40.675 | -3.933 |
| 70 | -33.597 | -3.22 | -41.251 | -4.509 |
| 80 | -33.958 | -3.581 | -41.017 | -4.275 |
| 90 | -33.018 | -2.641 | -39.605 | -2.863 |
| 100 | -33.312 | -2.935 | -39.072 | -2.33 |
| 110 | -31.37 | -0.993 | -38.266 | -1.524 |
| 120 | -30.831 | -0.454 | -38.442 | -1.7 |
| 130 | -30.377 | 0 | -40.256 | -3.514 |
| 140 | -30.444 | -0.067 | -42.067 | -5.325 |
| 150 | -30.877 | -0.5 | -43.178 | -6.436 |
| 160 | -31.71 | -1.333 | -41.608 | -4.866 |
| 170 | -32.822 | -2.445 | -39.478 | -2.736 |
| 180 | -33.742 | -3.365 | -36.742 | 0 |
| 190 | -36.41 | -6.033 | -36.888 | -0.146 |
| 200 | -37.822 | -7.445 | -37.715 | -0.973 |
| 210 | -39.997 | -9.62 | -38.635 | -1.893 |
| 220 | -44.972 | -14.595 | -41.818 | -5.076 |
| 230 | -47.154 | -16.777 | -45.356 | -8.614 |
| 240 | -40.222 | -9.845 | -47.176 | -10.434 |
| 250 | -35.161 | -4.784 | -42.731 | -5.989 |
| 260 | -31.432 | -1.055 | -39.444 | -2.702 |
| 270 | -33.445 | -3.068 | -39.478 | -2.736 |
| 280 | -34.632 | -4.255 | -39.644 | -2.902 |
| 290 | -35.185 | -4.808 | -40.571 | -3.829 |
| 300 | -35.215 | -4.838 | -40.701 | -3.959 |
| 310 | -35.542 | -5.165 | -42.782 | -6.04 |
| 320 | -35.999 | -5.622 | -46.945 | -10.203 |
| 330 | -36.965 | -6.588 | -58.321 | -21.579 |
| 340 | -39.322 | -8.945 | -47.198 | -10.456 |
| 350 | -41.465 | -11.088 | -44.565 | -7.823 |
| Maksimum | -30.377 | | -36.742 | |
| Minimum | -47.154 | | -58.321 | |

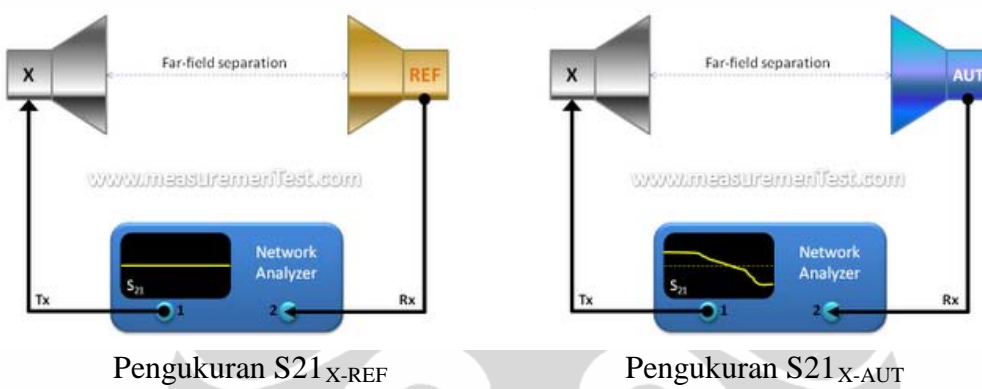
B4. DATA HASIL PENGUKURAN GAIN

Metode yang digunakan dalam pengukuran *gain* pada penelitian ini menggunakan 3 antena yang salah satunya sudah diketahui penguatannya. Antena-antena yang digunakan adalah sebagai berikut.:

Antena AUT = AUT (Antenna Under Test) yang akan dicari gainnya

Antena REF = Antenna referensi Dipole $\frac{1}{2} \lambda$ Gain 2,15 dB

Antena X = Antena bebas yang memiliki pola radiasi sama dengan AUT



$$G_{AUT} = G_{REF} + (S21_{X-AUT}) - (S21_{X-REF})$$

Tabel B.4. Data Hasil Pengukuran Gain (1)

| Frek (MHz) | S21 (dB) | | (X-AUT)-(X-REF) (dBi) | Gain (dB) | |
|------------|----------|---------|--------------------------|-----------|------|
| | X-REF | X-AUT | | REF | AUT |
| 494 | -27,912 | -24,273 | 3,639 | 2,15 | 5,79 |
| 500 | -27,939 | -24,245 | 3,694 | 2,15 | 5,84 |
| 506 | -27,961 | -24,317 | 3,644 | 2,15 | 5,79 |
| 512 | -27,993 | -24,211 | 3,782 | 2,15 | 5,93 |
| 518 | -28,026 | -24,361 | 3,665 | 2,15 | 5,81 |
| 524 | -28,047 | -24,383 | 3,664 | 2,15 | 5,81 |
| 530 | -28,074 | -24,405 | 3,669 | 2,15 | 5,82 |
| 536 | -28,401 | -24,427 | 3,974 | 2,15 | 6,12 |
| 542 | -28,128 | -24,449 | 3,679 | 2,15 | 5,83 |
| 548 | -28,155 | -24,471 | 3,684 | 2,15 | 5,83 |
| 554 | -28,182 | -24,493 | 3,689 | 2,15 | 5,84 |
| 560 | -28,309 | -24,415 | 3,894 | 2,15 | 6,04 |
| 566 | -28,236 | -24,517 | 3,719 | 2,15 | 5,87 |
| 572 | -28,263 | -24,559 | 3,704 | 2,15 | 5,85 |

Tabel B.4. Data Hasil Pengukuran Gain (2)

| Frek (MHz) | S21 (dB) | | (X-AUT)-(X-REF) | Gain (dB) | |
|---------------------------|----------|---------|-----------------|-----------|-------------|
| | X-REF | X-AUT | (dBi) | REF | AUT |
| 578 | -28,295 | -24,581 | 3,714 | 2,15 | 5,86 |
| 584 | -28,317 | -24,603 | 3,714 | 2,15 | 5,86 |
| 590 | -28,344 | -24,725 | 3,619 | 2,15 | 5,77 |
| 596 | -28,371 | -24,647 | 3,724 | 2,15 | 5,87 |
| 602 | -28,398 | -24,659 | 3,739 | 2,15 | 5,89 |
| 608 | -28,425 | -24,691 | 3,734 | 2,15 | 5,88 |
| 614 | -28,452 | -24,713 | 3,739 | 2,15 | 5,89 |
| 620 | -28,875 | -24,632 | 4,243 | 2,15 | 6,39 |
| 626 | -28,472 | -24,592 | 3,88 | 2,15 | 6,03 |
| 632 | -28,745 | -24,713 | 4,032 | 2,15 | 6,18 |
| 638 | -29,385 | -24,643 | 4,742 | 2,15 | 6,89 |
| 644 | -29,914 | -24,415 | 5,499 | 2,15 | 7,65 |
| 650 | -30,282 | -24,472 | 5,81 | 2,15 | 7,96 |
| 656 | -31,421 | -24,658 | 6,763 | 2,15 | 8,91 |
| 662 | -31,832 | -25,047 | 6,785 | 2,15 | 8,94 |
| 668 | -31,352 | -25,668 | 5,684 | 2,15 | 7,83 |
| 674 | -30,695 | -26,173 | 4,522 | 2,15 | 6,67 |
| 680 | -30,745 | -26,656 | 4,089 | 2,15 | 6,24 |
| 686 | -30,732 | -26,815 | 3,917 | 2,15 | 6,07 |
| 692 | -31,655 | -27,376 | 4,279 | 2,15 | 6,43 |
| 698 | -31,634 | -27,745 | 3,889 | 2,15 | 6,04 |
| Penguatan Minimal | | | | | 5,77 |
| Penguatan Maksimal | | | | | 8,94 |